

CHEMIE 2002***RUDOLF ZAHRADNÍK**

*Ústav fyzikální chemie Jaroslava Heyrovského, Akademie věd České republiky, Dolejškova 3, 182 23 Praha 8
e-mail: zahrad@jh-inst.cas.cz*

Věnováno prof. Dr. Petru Čárskemu u příležitosti jeho šedesátin

Došlo dne 25.IV.2002

Klíčová slova: rychlé a ultrarychlé procesy, nanosystémy, van der Waalsovy systémy, supramolekulové systémy, molekulové stroje, katalýza a asymetrická katalýza, kombinatoriální chemie, vodíkové a halogenové vazby, sloučeniny obsahující prvky vyšších řad periodického systému, pokusy s individuálními molekulami, teorém CPT, určování konstituce, kvantová chemie, molekulová mechanika.

Obsah

1. Úvod
2. Příprava nových molekul a materiálů
 - 2.1. Ultrarychlé procesy
 - 2.2. Rozsáhlé systémy
 - 2.3. Molekulové stroje
 - 2.4. Katalýza
 - 2.5. Asymetrické syntézy
 - 2.6. Kombinatoriální chemie
3. Speciální vazby
4. Expanze do vyšších řad periodického systému
5. Pokusy s jednotlivými molekulami
6. Další aktuální téma: ilustrace
7. Symetrie: Teorém CPT
8. Experimentální metody pro určování konstituce
9. Molekulová kvantová mechanika a příbuzné metody

1. Úvod

Ti, kteří prožili podstatnou část druhé poloviny 20. století v kontaktu s chemií, jsou svědky velikého rozmachu této disciplíny ve všech jejích oblastech. O růstu chemie svědčí, mimo jiné, odhad počtu známých species v průběhu posledních sta let: počátkem 20. století to byl milion, v osmdesátých letech okolo deseti milionů a odhad pro letošní rok činí dvacet milionů. Není sporu o tom, že něco podobného lze říci o mnoha oblastech lidské činnosti v mnoha vědách, ať už ve formě čisté či aplikované; o průmyslu ostatně platí totéž. Ve sledovaném údobí vznikly v oblasti chemie stovky nových časopisů. Rozsah mnoha časopisů roste: časopisy menší rozsahem dosahují

tisíců stránek ročně, časopisy větší desetitisíci. Zdá se, že se uplatňují ne vždy příznivě komerční hlediska. Ač dnešní situace nutí badatele k intenzivnímu publikování, růst počtu časopisů v nejedné oblasti byl tak velký, že některé redakce trpí nedostatkem příspěvků, přirozeně především těch dobrých. Jiný okruh potíží je spojen s růstem cen časopisů. Ceny rostou rychleji než částky, jež mají knihovny k dispozici; odříkání předplatného působí další růst ceny časopisů. Je možné, že v příštích 10–15 letech pomohou elektronická média přivést dnešní poněkud chaotickou situaci do stavu vhodného pro pář příštích desetiletí.

Rozvoj aktivit v chemii je stejně dobře patrný v oblasti knižní literatury. Ve více chemických disciplínách, které existovaly už před půl stoletím, nebyla k dispozici žádná monografie; dnes v mnoha z nich jsou k dispozici desítky děl, někdy celá knihovnička či knihovna.

Vybavení laboratoře z roku 1950 a 2000 se liší snad ještě pronikavěji: zkušený chemik-experimentátor r. 1950 by stál v dnešní laboratoři v mnoha souvislostech bezradně. Porovnat výpočtové možnosti nemá ani smysl. Ti, kdož měli možnost situaci pozorovat zblízka, měli ve smyslu intelektuálním opravdu vzrušující život. Z toho všeho ovšem vyplývají pro všeobecně i odborné školství rozsáhlé úkoly, někdy ne lehce zvládnutelné. Navíc (není to specifické jen pro chemii) celoživotní „doškolování“ se stalo naléhavější potřebou, než tomu bylo dříve.

Snad není třeba současně způsoby organizace v oblasti vědy příliš kritizovat (ač leccos si to zaslouží) a napadat např. některé rysy grantových systémů (ač některé jsou nedobré), které se uchytily v celém světě. To si myslím proto, že věda v tomto systému a uspořádání udělala ohromný krok vpřed. A přece by bylo nesprávné nepřipustit, že se leccos změnilo k horšímu. Jde o věci a jevy, jejichž popis není snadný. Týká se to především do hloubky jdoucí diskuse se zasvěcenými partnery domácími i ze světa. Jde o každodenní přemítavý vztah ke zkoumanému tématu s možností badatelského zkoušení, „pokoušení“ a „hraní“. Badatelská atmosféra pracovišť před pář desetiletími se dosti lišila od atmosféry dnešní. K tomu jen jediná konkrétní poznámka: zatímco před lety dílo dobrého laboratoře ovlivňovaly trvale návštěvy jejího vedoucího – často každodenní – u pracovních stolů, dnes tomu tak nebývá. V dnešním, poněkud napjatém klimatu (jež někdy připomíná atletické závody) nebývá čas na přemítání, na diskuse, opravdové diskuse (kde se nejen mluví, ale i poslouchá), na návštěvy šéfa v laboratoři atd. Šéf potřebuje mnoho času na přípravu nových výzkumných projektů a psaní zpráv o projektech probíhajících a končených. V dalším čase se zúčastní konferencí mezi Uppsalou, Palermem, Salt Lake City a Hong-Kongem. Nedopouštějme se však staromilské chyby: Není všechno bývalé hezké a pravé vědecké a naopak v současnosti není vše nesmyslně hektické. A dokonce dosud existují šéfové, kteří se na členy laboratoře obracejí s upřímným badatelským zájmem a stihnou dát kvalitní radu, a to i v případě, když

* Vybrané části této práce budou předneseny na konferenci „Chemistry and Life“, uspořádané u příležitosti 10. výročí obnovení Fakulty chemické Vysokého učení technického v Brně.

zrovna nežádají o pět nových fólií pro přednášku v Kapském Městě.

Další rys, který je pro badatelství v současné chemii příznačný, je mohutný růst složitosti současných aktuálních témat. Intelektuální náročnost je značná a trvale roste; totéž se týká požadavků na vzdělání, přičemž jejich růst je nejvýraznější v oblasti matematiky a fyziky. Samozřejmě lze říci „syntetizují supramolekulové systémy“ nebo „sekvenování, to je to, co mě zajímá“, a tudíž deje pokoj s matematikou a fyzikou. Něco ovšem na tom je: v mnoha oborech spjatých s chemií lze pracovat se zanedbatelnými znalostmi z exaktního půlu věd, avšak domnívám se, že takto uvažující badatel se dostává čím dál tím více do pozice badatele ne prvořídlního, badatele, který chystá podklady pro jiného, který má lepší vzdělání.

O tom, jak roste náročnost, pokud jde o téma studovaná v chemii, se lze přesvědčit tak, že otevřeme poslední číslo renomovaného chemického časopisu a čteme poctivě názvy článků. Hra spočívá v tom, že u každého názvu, v duchu kvalitně vysvětlíme virtuálnímu kolegovi, který název článku nerozumí, oč jde. Myslím, že i docista dobrý chemik bude rád, zvládne-li to, řekněme, u poloviny článků. Dovedu si ovšem představit, že někdo řekne „mne zajímají kavitandy vykazující schopnost štěpit peptidickou vazbu u cyklických peptidů“, a tím je dán můj obor zájmu v literatuře. Nebo řekne, v souvislosti třeba s nanoklastry „mne zajímají fyzikální vlastnosti klastrů 30 až 50 molekul benzenu při teplotách blízkých 0 K, a tím je dán můj zájem, a to, že více než 80 % názvů prací nerozumím, mě příliš nemrzí“. Mnozí ovšem cítíme, že tento přístup může udělat velkou škodu kvalitě badatelství obou zmíněných. Není však snadné říci, co dělat. Velmistři sledují literaturu často málo, vycházejíce z toho, že to rozhodující vědě od svých kolegů z oboru díky své účasti na 6 až 8 významných sympozích ročně. Mnozí ze zdatných mladých sledují různými cestami svůj uzounký obor zájmu a o tom ostatním soudí, že nevadí, když tam platí „hic sunt leones“.

Sbližování a pronikání oborů mírá za následek, že hledíte-li na obsahy časopisů (a vzorce v nich dnes běžně uváděné) spjatých v nadpisu s anorganickou či organickou chemií, vidíte v zásadě totéž. Vím, že pořád existují situace, kdy toto klasické dělení poslouží, ale často ztrácí smysl. V této souvislosti stojí za zmínek, že před pár lety založené evropské časopisy si vedou velmi dobře a velmi rychle získaly renomé. Tak se podařilo vytvořit jakousi symetrii mezi USA a Evropou. Je možné pozorovat růst zájmu respektovaných zámořských autorů o publikování v těchto časopisech; jejich úloha zřejmě poroste i nadále.

Tak jako se od počátku 20. století rozvíjená infračervená spektroskopie stala přirozenou součástí chemických studií (totéž platí ve 2. polovině 20. století o NMR a ESR), tak i kvantová chemie rozvíjená po desetiletí odborníky se na sklonku 20. století stala standardní složkou velmi mnoha chemických studií. Rozvoj výuky teorie chemické vazby, dostupnost kvalitních počítačových programů a láče počítačů způsobily, že účast kvantových chemiků při teoretickém zkoumání běžných chemických situací není nutná. Tento úspěch teorie je ovšem úspěchem chemie; o konkrétních výhodách a užitku dnes už netřeba hovořit.

Před nedávnem jsem poněkud pobouřil svého vzácného kolegu, když jsem napsal, že svého velkého triumfu dosáhla chemie v 19. století. Myslím jsem to takto: chemici 19. století dokázali v době, kdy v reálnou existenci atomů a molekul věřili

jen málokdo, pomocí odbourávacích reakcí s udivující trpělivostí určit správné strukturální vzorce složitých organických a anorganických systémů – správné z hlediska poznatků 20. století. Nejen to, oni rozvinuli umění syntézy tak, že tyto složité species dokázali připravit. Udivující byly také úspěchy analytické chemie. Totéž platí o uvedení chemického průmyslu do života lidské společnosti. Styk chemie s fyzikou a biologií byl chaby: chemie dosáhla triumfu lidského ducha, jakož i udivující zručnosti, sama o sobě. V tomto smyslu bylo, soudím, moje mínění zcela korektní. Dnešní situace chemie je pronikavějiná. Bariéry mezi přírodními vědami se trvale vytrácejí, struktury i velice složitých molekul se daří určit s ohromnou účinností a netušenou rychlosťí metodami experimentální fyziky (rentgenostrukturální analýza, NMR, ESR, hmotnostní spektrometrie, fyzikální separační metody). Molekuly představují společný jmenovatel ohromné oblasti, jež zahrnuje část fyziky, celou chemii, významnou část biodisciplín, velmi perspektivní partie lékařství: vznikly molekulové vědy. O fyzikálních vlastnostech lze – díky kvantové mechanice – získat informace výpočetní cestou. Pomocí prostředků matematiky, fyziky a chemie vyrazily biodisciplíny na tažení, jež směřuje k odkrytí mechanismů fungování živé hmoty. U toho všechno je chemie přítomna a hraje vynikající roli. Nemůže být vytlačena ani nahrazena jinou disciplínou, protože jsou to, alespoň zatím, pouze chemici, kteří ovládají umění syntézy. A právě nyní je její rozmach v oblasti obřích systémů udivující.

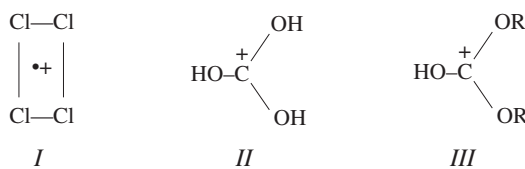
Závěrem této části se sluší říci slovo o komunikování v chemii. Jde o slovní a písemné sdělování dosažených výsledků. To, co bylo před lety řečeno¹ o svízelích v této oblasti, platí i nadále. Potíže spíše rostou: publikuje se víc a více a mnozí čtou méně a méně. Ani v oblasti odborných setkání, od minisympozií až po obří kongresy, se neudálo nic, co by usnadnilo život badatelů. Počet setkání už léta roste a vynikajících řečníků nepřibývá. Až na úroveň pohromy se někdy daří dotáhnout využití nových audiovizuálních technik: ve hře je plno světel, barev, tvarů, pláten, obrazců a proměn; jen věda někdy jakoby ustupovala do pozadí. Dosud (snad) nebylo využito pouze toho, co se neblaze uplatňuje v rozhlasovém vysílání, totiž podmalování mluvěného slova hudbou. Aby mi bylo dobré rozuměno: moje kritika směřuje primárně k nedostatku dobré připraveným přednášejícím, a nikoli k moderním způsobům prezentace.

2. Příprava nových molekul a materiálů

Každým rokem přibývá sloučenin, o jejichž strukturách mnozí soudí, že jsou udivující. Přísně vzato, ten údaj je často namísto jen z hlediska struktur, jež nabízely učebnice zhruba do padesátých let; někdy je též vyvolán přežívajícími konzervativními strukturálními teoriemi. Překonání bariér, jež ohrazenovaly oblast strukturálních typů klasické chemie, bylo umožněno velkým rozšířením reakčních podmínek: rozšíření oboru teplot (snadná dostupnost teplot blízkých 0 K) a tlaků, zavedení rozpouštědel jedinečných vlastností (např. dipolární aprotická rozpouštědla), časté využívání reaktivity molekul v elektronicky vzbuzených stavech a reaktivity radikálových iontů. Budiž řečeno, že porozumění reakčnímu mechanismu má pro syntézu velký význam. Tomu význačně napomohl rozmach rychlých a ultrarychlých spektroskopí. V poslední

době začínají hrát úlohu i možnosti manipulace s jednotlivými molekulami.

Pro ilustraci a pro potěšení zmíním jen několik případů. Modře je zabarvena sůl $\text{Cl}_4^+\text{IrF}_6^-$, jejíž kation² má cyklickou strukturu (*I*). Podarilo se připravit³ soli protonizované kyseliny uhličité (*II*) a jejího esteru (*III*); jako anion posloužil hexafluoroantimoničnan. Pomocí neutralizační hmotnostní spektrometrie se zdářilo připravit⁴ třetí allotrop kyslíku, a to O_4 . Slučovací energie této molekuly je dokladem toho, že nejde o už známý van der Waalsův dimer molekul kyslíku, $(\text{O}_2)_2$. Tyto nové částice mohou hrát úlohu ve fyzice atmosféry. Kupodivu struktura nových species O_4 zůstává neznámá – jaká příležitost pro kvantové chemiky!



2.1. Ultrarychlé procesy

Od padesátých let 20. století prošla chemická fyzika rychlých procesů od milisekundové oblasti do světa dějů sledovatelných femtosekundovou spektroskopii ($1 \text{ fs} = 10^{-15} \text{ s}$) a femtochemie se stala běžně používaným pojmem. Tento vývoj vyvrcholil udělením Nobelovy ceny za chemii A. H. Zewailovi v r. 1999. Femtochemie dovoluje zobrazit vskutku elementární děje chemických reakcí, vznik a zánik kovalentní vazby. Tyto děje se odehrávají v časové oblasti mezi femtosekundami a pikosekundami; pro ozřejmění doporučuje Chergui⁵ uvědomit si, že vibrační perioda u typické lehké a těžké dvouatomové molekuly (H_2 a I_2) činí 7,6 a 160 fs. Sluší se zdůraznit, že i v případě pikosekundové spektroskopie se studuje kinetika přeměn, a ne skutečná dynamika⁵. Teprve femtosekundová technika dovoluje sledovat molekulový pohyb v reálném čase. Časové rozlišení je totiž mnohem kratší než vibrační a rotační pohyby. Cílem je znát prostorové a časové souřadnice všech atomů v molekulách při přechodu reaktantů na produkty: můžeme se těšit, že uvidíme, jak se skutečně např. sbaluje molekula bílkoviny.

To převratné spočívá v tom, že nyní lze studovat mechanismy elementárních chemických dějů, a mnozí doufají, že toto úsilí vyústí v naši schopnost lépe než dosud ovládat průběh chemických a biologických reakcí⁶; k tomu může sloužit obratná volba laserových pulsů správné povahy.

Dvěma otázkám nelze odolat: za prvé se lze ptát, jak ovlivňují relace neurčitosti⁷ rozlišovací schopnost femtosekundové spektroskopie, a za druhé, jsme na cestě k attochemii? ($1 \text{ as} = 10^{-18} \text{ s}$). V literatuře byly vysloveny domněnky o omezené způsobilosti femtosekundové spektroskopie s ohledem na známé vztahy, $\Delta t \Delta E \geq h/2\pi$ a $\Delta x \Delta p \geq h/2\pi$. Zewail analyzoval tyto vztahy a došel k závěru, že fyzikální smysl výsledků měření není ohrožen⁷. Přesto mám pocit, že diskuse dosud k úplnému závěru nedospěla. Pokud jde o attosekundovou spektroskopii, zdá se, že naděje na realizaci jsou reálné; existuje úmysl studovat pohyb elektronu a přispět k samé podstatě kovalence.

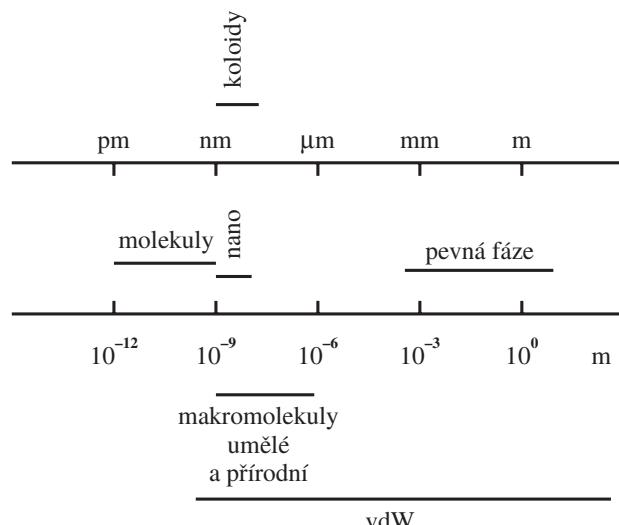
Této tematici věnuje značnou teoretickou pozornost M. Quack⁸ se spolupracovníky. Jde jim o studium toho, co ozna-

čují jako primární procesy a studují je u intramolekulových dějů pomocí IČ spektroskopie s vysokým frekvenčním rozlišením a interpretují je pomocí časově závislé Schrödingerovy rovnice: zkoumali např. dynamiku tunelování v dimeru fluorovodíku či stereomutaci chirálních látek tunelováním; jejich zájmy jsou už delší dobu spjaty s teoremem CPT (viz též staf 7.). Závěrem tohoto oddílu se svěřím s údivem, že se v oblasti femtochemie (vedle Quackovy laboratoře) nevyužívá daleko větší měrou řešení časově závislé Schrödingerovy rovnice.

2.2. Rozsahy systémů

Do této kategorie patří přirozené a umělé polymery a polylkondenzáty, iontové a kovalentní krystaly, amorfní látky různých typů a koloidní částice. V posledních letech chemie, fyzika a biologie obřích systémů nabyla velkého rozmachu: hovoří se o van der Waalsově chemii, o chemii klastrů, supramolekulové chemii a o nanochemii. Je možné, že poslední z uvedených pojmu by bylo často možné nahradit označením koloidní chemie.

Současný velký rozmach chemie a fyziky obřích systémů je spíše na začátku než na konci. Svět těchto částic je na jedné straně ohrazen čistěm molekul (rozměry často mezi 0,2–2 nm) a na straně druhé pevnou fází (od několika μm do libovolného rozmezí). Z obrázku 1 je zřejmé, že pokud jde o disperzi hmoty, představují molekuly a pevná fáze krajní případy; ostatní zmíněné útvary tvoří přechod mezi těmito případy. Jedním z důvodů velkého zájmu o tuto oblast přechodu od molekul k pevné fázi jsou specifické vlastnosti částic této oblasti, vlastnosti odlišné od vlastností molekul a od vlastností pevné fáze. To se ovšem vědělo už dlouho o koloidních částicích, avšak teprve v posledních letech si chemici a fyzici uvědomili, jak veliký význam mohou mít tyto částice (nanočástice) např. v různých oblastech elektronického průmyslu či v katalýze; odtud intenzivní pozornost věnovaná této oblasti.



Obr. 1. Rozměry molekul a pevné fáze a rozměry částic v oblasti mezi těmito případy: nanočástice, koloidní částice (1 až 500 nm), makromolekuly umělé a přírodní a van der Waalsovy (vdW) částice

Pokud jde o chemii současnosti a blízké budoucnosti, lze se domnívat, že obě zmíněné *klasické* oblasti obřích molekul (částic) prožijí renesanci. Dynamika koloidních soustav spolu s hydrodynamikou bude hrát významnou úlohu při popisu modelů reprezentujících části živé hmoty. O vývojových tendencích makromolekulové chemie a o jejím průniku s materiálovou vědou⁹ je podrobnější řeč ve statí 6.

Obří systémy jsou přístupné dvěma cestami. Bud jde o klasickou syntézu, nebo se využívá ochotného vzniku van der Waalsových vazeb mezi vhodnými monomery; často jde o vodíkové vazby. Prvá cesta je velice pracná, druhá už vedla v mnoha případech k přípravě obřích systémů pozoruhodné struktury. Vedle již zmíněné vhodné volby výchozí molekuly (jež je „surovinou“ pro přípravu obřího systému), je zpravidla ještě třeba správné volby primární iniciace. Proces, který po této iniciaci následuje, tedy vlastní tvorba obřího systému, probíhá spontánně; mluví se o „efektu domino“ či „efektu zipu“. Domnívám se, že se v přírodě uplatňují obdobné mechanismy při vytváření rozsáhlých supramolekulových útvarů.

Pokusně lze do světa nanočástic dospět nejen zmíněnou syntézou a spontánní samoorganizací (jde o tzv. „bottom-up“ proces), ale též miniaturizací („top-down“, fotolitografie)¹⁰.

Ze záplavy článků o této tematice ocitnu několik, z nichž lze vycítit šíři oblasti. Jde např. o samoorganizaci mřížek s motivem zahrnujícím čtyři atomy (ionty) kovu¹¹, o samoorganizaci cyklopeptidu do nanoroury¹², o tvorbě oligosupramolekul až supramolekulových polymerů pomocí vodíkových vazeb^{13,14} a o případ supramolekulové chemie na bázi cyklo-dextrinu¹⁵. V poslední citované práci¹⁵ autor doporučuje používat označení supramolekulová chemie pro případy, kdy se mezi interagujícími jednotkami netvoří kovalentní vazby. To se mi nezdá štastné, nevidím totiž důvody, proč oligomery, v nichž jsou subsystémy vázány vazbou libovolného typu, nezařazovat do supramolekulové chemie. Pro případy, u nichž se kovalentní vazba netvoří, se mi zdá označení van der Waalsova (vdW) chemie příhodnější. V přehledném článku o nanoelektromechanických systémech¹⁶ se uvádí, že litografickým postupem lze vytvářet objekty o rozmezích do 20 nm. Ukončeme tento odstavec zmínkou o nevšední práci ze světa klastrů aniontů anthracenu s kationty draslíku solvatovanými molekulami tetrahydrofuranu¹⁷. Teoretická předpověď triplettového základního stavu tohoto klastru byla později potvrzena pokusně teplotně závislou pulzní elektronovou spinovou rezonancí.

Mívám pocit, že užitečnost celé této oblasti v myslích chemiků poněkud předbíhá realitu. Přesto se domnívám, že velká očekávání o mnohostranné užitečnosti chemie a fyziky nanočástic budou naplněna. Pro povzbuzení uvádím případ velice aktivního a selektivního hydrogenačního katalyzátoru sestávajícího z nanočastic Ru₅Pt či Ru₁₀Pt₂ umístěných na vnitřních stěnách mezoporézního křemene¹⁸. Nanoklastrů (a především katalýzy) se týkají i přehledné články věnované jejich přípravě, charakterizaci a aplikaci^{19,20}.

Vráťme se ještě ke koloidním soustavám a připomeňme, že je-li mezičásticová vzdálenost malá vůči rozměru částice, vystupuje ve výrazu pro disperzní interakci úměrnost r^{-2} , a ne r^{-6} známá z Londonova výrazu. Pro porozumění fázovému chování koloidních suspenzí je třeba studovat silové působení mezi částicemi, k čemuž, podobně jako u velkých molekulových systémů, slouží efektivní párové potenciály. Fázové

chování koloidních soustav bylo také modelováno na počítači za využití teorie DFT (density functional theory)²¹.

2.3. Molekulové stroje

Poprvé jsem o vodivých molekulových drátech z plastic-kých hmot, jako součástech elektrických zařízení, slyšel od O. Wichterleho v padesátných letech. On byl také ten, kdo nás povzbudil ke kvantověchemickému studiu²² nekonečných konjugovaných systémů; z praktického hlediska nám šlo především o polovodiče s regulovatelnými vlastnostmi. Práce nevyvolala žádný ohlas a zdejší kolegové poukazovali na to, že není sance takové molekulové dráty napojit na elektrické zařízení.

Nejen touha po důsledné miniaturizaci počítačů, ale i prosté přání vyvinout molekulové stroje, vedla v posledním desetiletí k velikému rozmachu v této oblasti. Je s tím spjata rozsáhlá literatura často postižená neduhem současnosti, totiž ne dosti solidním citováním.

O molekulových strojích pracuje Michlova skupina od osmdesátých let. Stejně jako v dalších skupinách i oni věnují pozornost pokusům o konstrukci prvků známých z elektroniky²³. Rotor o molekulových dimenzích, poháněný proudem atomů vzácného plynu ze supersonické trysky, dosud čeká na realizaci. Simulace založené na molekulové dynamice však nasvědčují možnosti realizace. Lopatky modelového kola reprezentují oktaedrické komplexy rhenia se dvěma ligandy *o*-fenantrolinového typu – jeden je kladně a druhý záporně nabity²⁴. Studie pokračovala zkoumáním chování dipolárního rotoru v rotujícím elektrickém poli²⁵. O nedávných pokusních aktivitách v této oblasti se lze dočíst ve studii Stoddarta a spol.²⁶ a v dalších recentních pracích^{27,28}. Lze soudit, že v budoucnosti se dobré uplatní molekulové motory založené na principech známých z biologie.

Do této části lze jako konstrukční prvky zařadit i práce o uhlíkatých nanorourách (či spíše nanohadičkách). Jde o systémy poutající pozornost už delší dobu²⁹. Za pozoruhodné dílo materiálové vědy lze pokládat soustřednou uhlíkovou trubičku vně obalenou další trubičkou ze sulfidu wolframičitého. Autoři právem mluví o nanodrátu s izolací³⁰. Jiná pozoruhodná práce v této oblasti se týká uhlíkových nanotrubiček s navěšenými funkčními skupinami³¹.

Pokud jde o polovodivé „dráty“, jest věnovat pozornost práci o polymerních materiálech čtvrté generace (*Nobelovská přednáška*³²). Svažek 99 známé série „Structure and Bonding“ se týká molekulových strojů a motorů³³. Testování součástek pro molekulovou elektroniku je zasvěcen přehled³⁴.

Zdá se, že jeden z citlivých bodů této oblasti se v několika laboratořích blíží vyřešení: mám na mysli připojení „drátu“ k ostatním konstrukčním prvkům či k makroskopickým součástkám (viz stať 5).

Závěrem se sluší říci, že celá tato oblast je prolnutá sny a přání. Samozřejmě to nejen není nic špatného, dokonce sny zpravidla předchází významné objevy. Určitá hypertrofie snění a přání je, domnívám se, vyprovokována mimo jiné grantovou soutěží. Netajím se tím, že věřím, že snů bude ubývat a realizovaných přání přibývat. Extrapolace v této oblasti je ještě riskantnější než v oblastech jiných, ale nemohu nezmínit, že velikost konstrukčních prvků počítačů je už po desetiletí zhruba lineární funkcí času: supersuperpočítače s molekulovými konstrukčními prvky by mohly spatřit světlo světa za 20 let.

2.4. Katalýza

Toto je oblast chemie, o níž soudím, že přes všechn rozmach a pozornost jí věnovanou, si mnozí pořád neuvědomují její význam v celém rozsahu. Katalýza příštích let patrně významně změní situaci v průmyslu ve dvou směrech. Půjde o nové, šetrnější výrobní postupy, což bude nadmíru důležité s ohledem na očekávaný rozmach průmyslu v mnoha dosud méně rozvinutých částech světa. Nejen to. Udržení přijatelných podmínek na Zemi vyžaduje usilovat o mocný rozmach využívání katalýzy pro velmi důkladné čištění plynů, vod a všech odpadů opouštějících průmyslové podniky. A třetí oblast, kde právem lze čekat od katalýzy mnoho, je oblast syntézy a přeměn za fyziologických podmínek. To přispěje nepochybně porozumění procesům v živé hmotě. Navíc lze očekávat pozitivní důsledky průmyslové, a to nejen v oblasti biotechnologií.

Myslím, že doba je více než zralá na to, aby se alespoň v některých laboratořích upustilo od překonaného rozdělení katalýzy na homogenní, heterogenní a enzymatickou. Silnější kontakty mezi těmito oblastmi, spolu s obecným uvažováním o tom, jak učinit orbitálně, spinově, či entropicky zakázané procesy povolenými³⁵, přispějí rozvoji katalýzy.

Mám pocit, že na rozdíl od jiných oblastí chemie, jakoby v oblasti katalýzy vše divergovalo. Dílem to snad souvisí s enormním počtem publikací v oboru; dokonce i prací spjatých s kvantovou chemií vychází ročně téměř nepřehledné množství. Tako zaměřené práce v jiných částech chemie přispívají k rádu a určité konvergenci příslušné oblasti. Zdá se mi, že v katalýze tomu tak zatím není. Záplava poznatků roste, zobecnění je velmi málo. Po páru poznámkách o průmyslových aspektech katalýzy upozorním na pozoruhodné rysy enzymatické katalýzy.

Na počátku 21. století se s ohledem na poměrně rychlé vyčerpávání zásob ropy obrací pozornost k zemnímu plynu, jehož zásoby jsou větší. Jeho hlavní složka, methan, je a hojně bude katalyticky přeměňován na chemikálie klíčové důležitosti, jakož i na pohonné hmoty. Jde o procesy, jako je přímá přeměna methanu na methanol a formaldehyd, oxidativní spojení na ethylen, přímá přeměna na aromáty a vodík za nepřítomnosti kyslíku a reformování parou či CO₂ (spojené s výrazným snižováním koncentrace skleníkového plynu) s navazující Fischerovou-Tropschovou syntézou.

Hodně pozornosti poutá přímá přeměna relativně levných alkanů C₂ až C₄ na cenné produkty (jsou uvedeny v závorece): ethan (ethylen, kyselina octová), propan (propylen, kyselina akrylová), isobutan (kyselina metakrylová). Tyto procesy jsou navíc v souladu se snahou vyloučit krakování jako cestu k získávání olefinů proto, že moderní, výkonné krakovací zařízení je velice nákladné.

Za jedinečný příspěvek pro porozumění elementárním reakčním krokům průmyslově významných procesů lze pokládat studie v laboratoři H. Schwarze, týkající se ion-molekulových procesů, jichž se účastní atomy (ionty) přechodných kovů³⁶. Procesy probíhají ve zdroji hmotnostního spektrometru.

V oblasti homogenní katalýzy v organické chemii, pomocí komplexů kovů, roste touha volit ligandy racionálně, tedy na základě znalostí mechanismu. Vedle studia metateze se věnuje s úspěchem velká pozornost aktivaci vazeb³⁷ C–H a vazeb³⁸ C–C. Katalýza cykloadice přechodnými kovy patří už několik let k oblastem uspokojivě prozkoumaným.

Ještě jednou konstatuji, že objem literatury o katalýze je enormní, a proto zvolené monografie z oblasti heterogenní³⁹ a homogenní⁴⁰ katalýzy reflekují osobní zájem autora.

Enzymová katalýza byla původně spjata s biochemickými přeměnami probíhajícími za podmínek *in vivo* a *in vitro*. Význam této katalýzy je širší už léta, avšak v poslední době je průnik do laboratorní a průmyslové chemie pozoruhodný. Domnívám se, že to předznamenává novou éru.

Katalýza enzymy bývá svým způsobem katalýza kovem deponovaným v molekule bílkoviny. Není však pochyby o tom, že i bílkovina sama je schopna v rozmanitých souvislostech vykazovat efekt katalyzátoru. A navíc by bylo zcela falešné upírat podobné možnosti dalším biomakromolekulám, jakož i supramolekulovým strukturám od nich odvozeným. Substrát, tedy molekula, na níž má být vykonán zásah katalyzátoru, je vázán na uvedené makromolekuly či jejich klastry nekovalentní vazbou (vazba vdW). Substrát patrně je v kavítku makromolekul klubkovitého tvaru či na povrchu supramolekulové struktury vystaven silnému lokálnímu elektrickému poli, které má výrazný vliv na fyzikální vlastnosti i chemickou reaktivitu.

Prevratného pokroku bylo dosaženo v práci s krystalickými bílkovinami a s jejich stabilizací zavedením přičných vazeb. Dnes slouží krystalické bílkoviny jako průmyslové katalyzátory a jako nosiče v enantioselektivní chromatografii. Je dobré si uvědomit, že dosud byla určena struktura okolo 13 000 bílkovin a příbuzných molekul. Příprava vzorků pro RTG analýzu, ač namáhavá, se stala rutinní záležitostí. Tyto materiály nejsou tak citlivé a křehké, jak se často myslívá; stabilizované materiály mohou sloužit jako bioorganické zevity⁴¹. Dalšího zvýšení stability lze, alespoň v některých případech, dosáhnout uložením enzymu do hydrogelové matrice⁴². Z tohoto hlediska lze snadno nahlédnout velmi vážně míněné snahy dopracovat se k umělým enzymům⁴³.

Dalším pozoruhodným rysem současného vývoje je, vedle zvyšování stability enzymů, zvyšování selektivity a katalytické účinnosti enzymů pomocí toho, čemu se říká „usměrněná evoluce“ či evoluční inženýrství⁴⁴.

S ohledem na zmínku o důležitosti přímé oxidace methanu na methanol, podle celkové reakce



si zaslouží pozornost práce využívající ke katalýze methanovou monoxygenasu⁴⁵; jde o případ rozsáhlé mezioborové studie.

Expanze směrem k velkým systémům je patrná nejen v pokusné oblasti. Svědčí o ní i rostoucí počet teoretických studií, týkajících se enzymové katalýzy. Pro porozumění mechanismu enzymatické katalyzovaných reakcí jsou k dispozici nejen kvantověchemické výpočty energie, ale i údaje o Gibbsově energii⁴⁶.

2.5. Asymetrické syntézy

Od samého objevu optické aktivity molekul bylo známo, že optické antipody mají různé fyzikální vlastnosti, a tudíž i různou reaktivitu. Sluší se však poznamenat, že donedávna patřilo mezi skalní dogmata chemie přesvědčení o tom, že oba antipody mají identickou energii: nyní máme jistotu, že jejich energie je díky diskriminačnímu efektu slabých interakcí sice

málo, ale vždy rozdílná, viz tab. 7. Při přípravě opticky aktivních látek z inaktivních molekul vzniká vždy racemát. Zavádíme-li druhé chirální centrum do opticky aktivní látky, je vždy, často výrazným způsobem, jedna z chirálních forem preferována. Použijeme-li pro přípravu chirální látky z inaktivních molekul opticky aktivního katalyzátoru, vždy jedna z chirálních forem převažuje; v případě, že katalyzátorem je enzym, je výteček jedné formy téměř stoprocentní.

Neštěstí spjaté s léčivem Contergan zvýšilo enormně náležavost a poptávku po chirálně čistých látkách především v oblasti farmaceutické a agrochemické.

Pokud jde o přípravu čistých antipodů, je zřejmé, že cesta založená na katalýze, asymetrická katalýza, je nejefektivnější^{47,48}. Jako katalyzátory slouží komplexy kovu či iontu kovu s chirálními organickými sloučeninami. Tato oblast se intenzivně rozvíjí sice už několik desetiletí, její aktuálnost však neklesá. V roce 2001 byla třem pionýrům asymetrické katalýzy udělena Nobelova cena za chemii.

Je to nejen mocný rozvoj trhu chirálně čistých léčiv, ale též klíčová úloha optické aktivity v molekulové biologii a v rozpoznávacích procesech, které činí tuto oblast trvale aktuální. V poslední době přibývá opticky aktivních organických sloučenin, jež neobsahují kov, avšak vykazují dobrý katalytický efekt při asymetrické syntéze. V této souvislosti se uplatňují i různé kavitandy.

2.6. Kombinatoriální chemie

Chemik vytváří nejprve v mysli a potom v laboratoři připravuje nové strukturní typy, či nové deriváty látek známých, pro potěšení, pro ověření své fantazie, či nejčastěji z důvodu zvaných praktické. Pátrá po nových materiálech, katalyzátorech, léčích, barvivech atd. Zkušený chemik má rozsáhlé znalosti o souvislostech mezi strukturou a vlastnostmi; někdy navíc pomocí intuice či štěstí obohatí soubor připravovaných látek o takovou, jež má požadované vlastnosti v náležité míře. Připravené látky jsou podrobeny screeningu. To vše je ovšem časově i finančně velmi náročné.

Zcela nový přístup k této velice časté úloze ohlásila budešská skupina A. Furky na 14. mezinárodním biochemickém kongresu v Praze v roce 1988: kombinatoriální chemie byla na světě. Jde o proceduru, která dovoluje připravit velké množství nových, strukturně příbuzných látek způsobem dalesáhle automatizovaným a spráženým s robotem, jenž dovoluje provádět screening. Využívalo se při tom podobného postupu, jaký Merrifield zavedl pro syntézu peptidů v pevné fázi; dnes se však hojně využívá i fáze kapalné. Pro ty, kdož jsou zvyklí pracovat výlučně postupy klasické organické syntézy a usilují o přípravu definovaného chemického individua, jsou metody kombinatoriální chemie zprvu podivné, ne-li podezřelé. Reakce se totiž provádějí v pevné fázi v reakčních „mikronádobkách“ na podložce z polystyrenu. Molekuly, které potřebujeme k reakcím, vytvářejí „knihovny“ (srov. mínění R. Hoffmanna⁴⁹). Produktivita přípravy nových species a jejich testování je enormní a navíc trvale roste počet oblastí, v nichž se tyto postupy uplatňují. Jde např. o kombinatoriální výzkum materiálů, katalyzátorů a separačních médií pro enantioselektivní HPLC. Někteří soudí, že kombinatoriální chemie

by v příštích desetiletích mohla dospět k mnoha desítkám milionů nových species, jež budou podrobeny screeningu z různých hledisek. Vedle dobře čitelného referátu Lowa⁵⁰ byla této tematice věnována celá čísla předních časopisů publikujících přehledné referáty^{51,52}.

Prací v této oblasti přibývá, mám však pocit, že počáteční euforie mnohých oslabila a přehnaná očekávání se už objevují jen zřídka. Stejně důležité je, že množí z počátečních skeptiků nahlédli, že jde o postup, který v některých oblastech bude hrát vynikající úlohu. Zdá se, že se v nedaleké budoucnosti dočkáme prvních léků objevených kombinatoriální cestou. Je možné, že právě oblast farmaceutické chemie by mohla profitovat z nedávného rozšíření původního postupu zavedením dynamické kombinatoriální chemie⁵³. Původní verze kombinatoriální chemie je založena na knihovnách prefabrikovaných molekul. Dynamická verze využívá reverzibilního spojení souboru základních složek, a tak se vytváří to, čemu Lehn říká virtuální kombinatoriální knihovny.

Domnívám se, že kombinatoriální chemii netřeba omezovat na pokusný přístup. Soudím, že výpočtová kombinatoriální chemie přímo volá po zavedení. Ostatně pátrání po kineticky a termodynamický stabilních tetracyklických konjugovaných uhlovodíčků (obsahujících 5-, 6- a 7-členné cykly) bylo výpočtové kombinatoriální chemii blízké⁵⁴. Zbývá dodat, že všechny tetracykly, které v předpovědi obsadily čelná místa, byly v průběhu několika let syntetizovány.

3. Speciální vazby

V této části se chci zmínit především o vazbě nevšední důležitosti, o vodíkové vazbě; patří sem též halogenová vazba a vazby v elektronově deficitních molekulách.

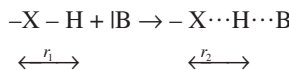
Zanedlouho, v roce 2006, bude namísto připomenout sté výročí objevení vodíkové vazby; neunikla tehdy bystrým pozorovatelům, kteří se zabývali *o-hydroxyazosloučeninami*. Autoři samozřejmě o pozorovaném jevu – o vodíkové vazbě – hovořili způsobem, který odpovídá počátku 20. století.

Role, kterou hrají vodíkové vazby při molekulovém rozpoznávání^{55,56}, jakož i při spontánně probíhající samoorganizaci^{57,58}, nejen u biochemických soustav, je významným důvodem pro zařazení poznámky o vodíkové vazbě do tohoto článku. Mezi skutečnostmi, které budí údiv, je vyhledání správných partnerů ve složitých reakčních soustavách, jaké představuje nepochybňně např. živá hmota. Jedinečnou úlohu přitom hrají nekovalentní interakce*: tyto jsou zodpovědné za vznik enormního počtu mezimolekulových komplexů; tyto komplexy však opět zhruba stejnou rychlosť zanikají. Ne však všechny: ty „pravé“ mají dobrou vyhlídku na zachování, ať jde o dvoušroubovici nukleových kyselin, jejich komplexy s bílkovinami, komplexy enzym–substrát a četné další. Mechanismy vedoucí ke vzniku „správných“ produktů nejsou zdaleka objasněny; jeden z možných může být zmíněn i zde. Formálně může jít o jakousi paralelu s fungováním zdrhovadla (zipu) toho typu, u něhož lze od sebe oddělit obě poloviny. Jejich spojení, tedy vytvoření „správné“ struktury, musí být zahájeno řádným vložením koncové části jedné poloviny do odpovídající části na druhé polovině a potom je maličkostí vytvořit

* Tyto interakce se nazývají též van der Waalsovy (vdW) či slabé; označení „slabé“ v této chemické souvislosti nesmí být zaměňeno se slabou interakcí, definovanou ve fyzice jako jeden ze čtyř druhů silového působení.

z obou polovin jeden správný celek. Ve světě biomolekul, či v případě přípravy (syntézy) supramolekuly, jejíž komponenty jsou drženy pohromadě velkým množstvím relativně slabých vodíkových vazeb, je proces spojení složek zahájen správným iniciačním krokem, např. vhodně orientovaných složek supramolekuly k iontu kovu: poté se uplatní „domino efekt“ či „efekt zipu“ a supramolekula je vytvořena⁵⁹.

Vodíková vazba vzniká mezi pozitivně nabitým vodíkem v polární vazbě ($-X-H$) a oblastí s dostatečně vysokou elektronovou hustotou ($|B|$). Prodloužení vazby $X-H$ (r_1) na vazbu

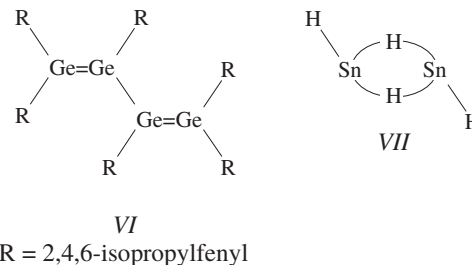
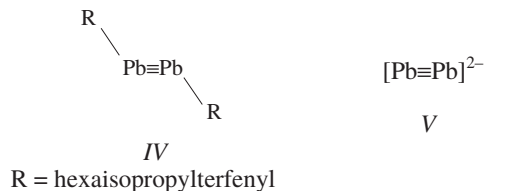


$X \cdots H$ (r_2), vodíkovou vazbu, je dobře patrné na červeném posunu valenční vibrace. Když rozšířené míňení připisovalo vznik vodíkové vazby výlučně coulombické interakci. Je to pohled zavádějící proto, že je výsledkem kompenzace ostatních příspěvků odpovídajících přitahování a odpuzování. Tuto učebnicovou informaci ukončím poznámkou o tom, že původní práce o této tematice čítají statisíce stránek a navíc existují desítky monografií. Z tohoto hlediska je udivující, že teprve na sklonku 20. století byl odhalen nový typ vodíkové vazby, v níž původní vazba $X-H$ vykazuje po vytvoření atypické vodíkové vazby zkrácení, a tudíž modrý posun její valenční vibrace v infračerveném spektru. Tento nový typ vodíkové vazby⁶⁰ byl analyzován pomocí kvalitních neempirických výpočtů. Autoři tuto vazbu označují jako nepravou vodíkovou vazbu vyvolávající modrý posun vibrace $-X-H$ ve vazbě $-X-H \cdots B$. Přesun elektronů z B do proton-donoru $-X-H$ hraje úlohu u obou typů vodíkových vazeb: u pravé jde o přesun elektronů do antivazebného orbitalu σ^* vazby $X-H$, zatímco u nepravé vodíkové vazby jde o přesun do vzdálenější části molekuly proton-donoru. Dosud byly zkoumány vazby typu $C-H \cdots B$, kde B značí benzen, fluorobenzen, dále kyslík a fluor obsahující sloučeniny a halogenový anion. Přirozeně není důvod očekávat, že by nepravá vodíková vazba mohla hrát podobně enormní úlohu jako pravá vodíková vazba. Dомнívám se však, že nejde o kuriozitu, ale o typ vazby, jež bude prokázána, mimo jiné, např. ve velmi mnoha krystalech.

V literatuře se objevuje pojem „halogen bonding“, tedy z analogie s pojmem vodíková vazba jde o halogenovou vazbu. V nedávné práci⁶¹ se tento termín spojuje s tendencí halogenových atomů interagovat s volným elektronovým párem sousedních atomů. Autoři připisují této vazbě významnou úlohu v „krystalovém inženýrství“ a ve vytváření supramolekulových struktur molekul obsahujících různě vázaný dusík a halogen. Sám přistupuji k tomuto pojmu s určitými rozpaky, maje pocit, že pozorované interakce lze interpretovat pomocí „klasických“ vazebních interakcí, pomocí přenosu náboje a pomocí disperzní interakce. Skutečný krok vpřed lze bez náležité kvantověchemické analýzy učinit stěží.

4. Expanze do vyšších řad periodického systému

Odhadem více než 90 % známých molekul sestává z méně než 10 % známých prvků, přičemž nejhojněji jsou zastoupeny atomy prvé řady periodického systému. O. Wichterle hovořil



o organické chemii jako o chemii prve řady periodického systému.

Pokud jde o komplexy přechodných kovů a vzácných zemin, začala expanze už před mnoha lety. Naproti tomu systematické studie molekul různých typů, v nichž klíčový prvek probíhá celou grupou (především u hlavních skupin), studie pokusné i teoretické, jsou novějšího data. Na straně pokusné nejde zpravidla o snadnou práci, a pokud jde o kvantověchemické výpočty, jsou kvalitní, soustavně vypracované pseudopotenciály zahrnující klíčové relativistické korekce k dispozici teprve v posledním desetiletí. Kompletní výpočty *ab initio* jsou u polyatomových molekul, obsahujících mnoha elektronové atomy, neúnosně náročné.

Ve snaze lépe porozumět pojmu chemické vazby byla studována – přinejmenším formální – obdoba acetylenu obsahujících olovo (IV). Délka vazby $Pb-Pb$ činí 319 pm, a proto autoři⁶² váhají, zda lze mluvit o trojně vazbě. Zatím nejkratší pokusně nalezená délka vazby⁶³ $Pb-Pb$ činí 281 pm a byla nalezena v Pb analogu dianiontu acetylenu (V).

Spektrální evidence nasvědčuje tomu, že v hexasubstituovaném tetragermabutadienu⁶⁴ (VI) jsou přítomny dvě konjugované vazby $Ge=Ge$. Pozoruhodná struktura (VII) přísluší hydridu dvojmocného cínu, Sn_2H_4 .

Pro ověřování spolehlivosti výpočtů založených na pseudopotenciálech byly vždy, v únosném rozsahu, také prováděny výpočty se všemi elektryny; tak tomu bylo v grupách vzácných plynů, halogenů a chalkogenů⁶⁶. U sloučenin halogenů je významné, že bývají k dispozici, obvykle s výjimkou astatu, i pokusná data^{67,68}.

V této oblasti je třeba mít na mysli, že chemie sloučenin obsahujících prvky prve řady periodického systému (Li až Ne) se liší v pronikavosti a závislostí a pravidelností pozorovaných pro sloučeniny prvků 2. až 5. řady.

Zájem o chemii v této oblasti patrně poroste ze tří důvodů. Za prvé otázky podobnosti a rozdílnosti chemie prvků prve řady a řad vyšších jsou zdaleka nedozkoumané; tato oblast slibuje nejedno překvapení. Za druhé se zdá dobré možným modifikovat vlastnosti a reaktivitu různých průmyslově zajímatavých sloučenin obměnou atomů patřících k jedné grupě. A konečně za třetí se zdá, že více než čtvrtstoletí stará teoretická předpověď o existenci ostrůvků stability v blízkosti

atomů s pořadovým číslem $Z = 114$ a $Z = 126$ je správná⁶⁹. V případě prvků se Z rovným 109 až 112 se podařilo připravit jen několik atomů s velmi krátkým poločasem života. U vyšších prvků vypadá situace příznivěji. V r. 1999 ohlásila laboratoř v Dubně izotopy atomů se $Z = 114$, 116 a 118, přičemž izotopy prvku se $Z = 114$ měly poločas rozpadu 5 s a 1,5 min. Zdá se, že se lze přečerpat jenom dočkat!

5. Pokusy s jednotlivými molekulami

Badatelé v oblasti molekulových věd vstoupili energicky do jedné z mezních oblastí. Počet studií fyzikálních a chemických vlastností u individuální, jediné molekuly vzrostl natolik, že nakladatelství Wiley Interscience začalo vydávat časopis nazvaný „Single Molecules“. Nakladatelství sděluje, že přehledný článek T. Yanagidy a Y. Ishii uveřejněný v prvním čísle tohoto časopisu v r. 2000 byl nejčtenějším přehledným článkem ze všech, jež vyšly ve 350 časopisech vydávaných nakladatelstvím. Byl nadepsán „Single Molecule Detection in Life Sciences“.

V převratné práci⁷⁰ byla souvislost mezi vloženou silou a vyvolanou distorzí studována prostředky klasické fyziky u jediné molekuly nukleové kyseliny (DNA). V posledních letech se daří definovaným způsobem protahovat či ohýbat individuální molekuly pomocí optických pinzet, ohebných mikrojehel či pomocí skanovacího silového mikroskopu (scanning force microscope – SFM), zvaného též atomový silový mikroskop⁷¹. Obecně jde o měření síly, kterou je nutno vynaložit k převedení zkoumané izolované molekuly z konformace výchozí na konečnou.

Z mnoha dalších studií zmíním alespoň dvě. Skanovací tunelovací mikroskopie (STM) umožnila zobrazovat atomové procesy na povrchu pevné fáze. Rušivě přitom dosti často působily interakce mezi hrotom mikroskopu a adsorbáty. Tyto rozlaďující poruchy se dočkaly velikého ocenění – bylo jich využito k manipulaci jednotlivých molekul či atomů na povrchu⁷². Důsledek je vpravdě velkolepý. Tyto procedury dosáhly takové úrovně, že jsme schopni vyvolávat a zkoumat rozmanité fyzikální a chemické procesy na úrovni jediné molekuly! Jsme na počátku éry, kdy bude možné studovat v jediné molekule základní chemické děje, tvorbu a zánik chemických vazeb. Tedy vlastně totéž, oč jde ve femtochemii, avšak prostředky zcela jinými.

Když se před 45 lety daly první pokusy o výzkum polovodivých a vodivých organických molekul, oponenti namítali (srov. stat. 2.3.), že neprekonatelnou svízel bude představovat navázání příslušné molekuly na součásti elektronického obvodu. Právě v tomto směru bylo dosaženo velkého pokroku. Dnes lze nejen měřit, ale i kvantověchemicky počítat vodivost jediné molekuly⁷³. Zmíněná svízel je nepochybňě dosud velkou překážkou při přechodu od nanochemie k nanotechnologi. Až ji bude možné rutinně překonávat, bude splněna významná podmínka pro nástup molekulové elektroniky. Zdá se, že první úspěšné kroky byly učiněny⁷⁴. Skanovací tunelovací mikroskopie sehraje v této fázi důležitou úlohu. Bude používáno zařízení mající dva hroty vzdálené zhruba jeden nm. Pro teoretické studium elektronové vodivosti v molekule



VIII

byly zkombinovány formalismy Greenových funkcí a funkcionálu hustoty (DFT) (cit.⁷³). Postup byl testován u 1,4-di-thiobenzenu, přičemž několikaatomové klastry zlata napojené na atomy síry (VIII), umožnily napojení na zlaté přívody.

Pár slov zasluhují i další dvě práce. Ukazuje se, že elementární kroky chemických reakcí lze iniciovat skanovacím tunelovacím mikroskopem. Např. příprava difenylu⁷⁵ z jodbenzenu probíhá tak, že tunelující elektrony nejprve vyvolají disociaci vazby C–I. Provádí se to nastavením hrotu nad vazbou C–I a aplikací potenciálu 1,5 V po dobu několika sekund. Je výhodné, že potenciál této hodnoty nestačí na štěpení pevnějších vazeb C–C a C–H. Další manipulace („laterální manipulace“) vzdálí uvolněný atom I a konečně poslední operaci se přiblíží k sobě dva fenyly, což vede ke vzniku difenylu.

Molekuly katenanů* sestávají ze dvou v určité míře nezávislých složek. Mohou na pevném povrchu zaujmout různé kvarterní struktury⁷⁶, přičemž přechodů mezi těmito strukturami lze využít při konstrukci zařízení fungujících na molekulové úrovni. STM studie se týkala katenanu, sestávajícího ze dvou cyklů o 87 atomech.

6. Další aktuální téma: ilustrace

Rozsah, atmosféra a úspěchy chemie 2002 nejsou samozřejmě spjaty toliko s tématy tvořícími body tohoto referátu, ale s desítkami dalších oblastí. Pro pouhou ilustraci jsem do této části vybral toliko dvě oblasti chemie, jež mají významné rozdílné i společné rysy. Prvá oblast má za sebou stoletou historii a pronikavé ovlivnila tvář 20. století: makromolekulová chemie. Druhá je mladá, má však za sebou už řadu výrazných úspěchů: materiálová věda. Leccos nasvědčuje tomu, že pronikavé ovlivnila tvář 21. století. Obě oblasti se vyznačují dalekosáhlou interdisciplinárítou. Materiálová věda byla taková od doby svého vzniku, kdežto makromolekulová chemie se výrazně interdisciplinární stala před několika lety, v době, kdy se v určitém smyslu vyčerpal její klasické téma, totiž umělé polymery a polykondenzáty. Dnešní partneři makromolekulové chemie představují obory, které jí byly kdysi vzdálené či prostě neexistovaly. Jde např. o rozsáhlé části biologie, lékařství, materiálového výzkumu a informační technologie. Kombinatorální materiálový výzkum přitahuje pozornost mnoha firem. Miniaturizace a automatizace přispívá k rychlému získání vzorků nových materiálů, jež se podrobují screeningu.

Existují snahy povznést chemoterapii pomocí vhodných makromolekulových nosičů na terapii cílenou, jež předchází zaplavení celého organismu léčivem. Na obratně zvolenou makromolekulou je vedle léčiva (chemoterapeutika) navázána antilátka specifická pro cílový orgán; teprve v tomto postiženém orgánu se uvolní vlastní léčivo^{77,78}. Přirozeně tento postup má šanci nalézt široké uplatnění v humánní medicíně.

Druhá ilustrace – vybraná z mnoha – se týká obou sledo-

* Katenany jsou sloučeniny tvořené dvěma (či několika) vzájemně pronikajícími cykly; jde o obdobnou situaci, jakou známe u článků řetězu.

vaných oblastí, konkrétně materiálu, v němž jsou nanočástice zlata (13 nm v průměru) vneseny do polyakrylamidového gelu zpevněného příčnými vazbami⁹. Polymer bobtná ve vodě a smršťuje se v acetolu. Právě tohoto mechanismu, jakého „dýchání“ vyvolaného střídavým působením zmíněných katalin, se používá k vestavění nanočastic zlata do gelu.

Existuje přesvědčivý doklad o mohutném rozmachu obou oblastí. V prospektu jediného nakladatelství (jistě důležitého), Wiley-VCH, v novinkách pro rok 2002 se uvádí pět časopisů spjatých s materiálovým výzkumem, přičemž nejúspěšnější z nich, „Advanced Materials“ dosáhl v r. 2000 impaktového faktoru 5,5. Makromolekulová chemie je předmětem sedmi časopisů, přičemž „Journal of Polymer Science“ vychází ve dvou řadách týkajících se chemie a fyziky. Vedle toho čtyři časopisy jsou spjaty s biopolymery. Stránkový rozsah, případně počet čísel u mnoha časopisů roste.

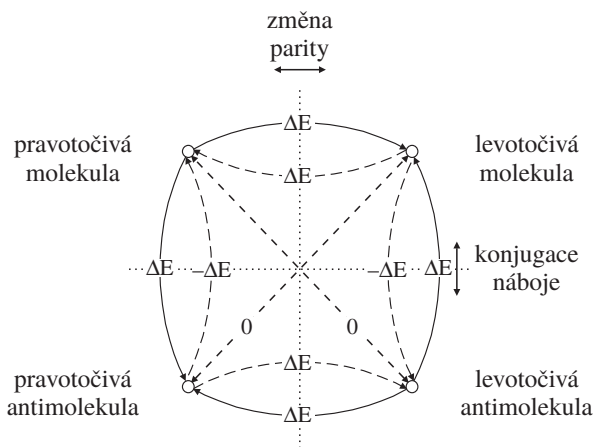
7. Symetrie: Teorém CPT

Pomocí úvah o geometrické symetrii molekul i pevné fáze lze často získat přímočáre a s minimálnimi náklady cenné informace o fyzikálních vlastnostech a reaktivitě zkoumaných systémů. Navíc je to krása teorie symetrie, jedinečné spojení matematiky, fyziky a chemie, jež činí její použití pro mnohé chemiky lákavým. Jako chemici máme tendenci ignorovat skutečnost, že omezíme-li se na pouhou prostorovou symetrii, můžeme dospat u vlastností molekul, které závisí na pohybu, k nesprávným výsledkům. V takovém případě je nutné doplnit standardní úvahu o symetrii argumenty založenými na změně znaménka časových souřadnic, na což v chemii nejsme zvyklí⁷⁹.

Invariance (neměnnost) fyzikálního zákona vůči rozmanitým operacím symetrie znamená zpravidla existenci *zákonu zachování*. Invariance kvantověmechanického hamiltoniánu vůči operátoru prostorové symetrie znamená, že symetrie představuje konstantu pohybu, a odtud plyne požadavek o zachování orbitalové či stavové symetrie v průběhu chemické reakce. To ovšem je přesně to, co vyjadřují Woodward-Hoffmannova pravidla.

Typy symetrie, jež vystupují v teorému CPT, dobře známém ve fyzice, především jaderné, jsou tři. Symboly C, P a T značí prvá písmena slov Charge, Parity a Time. Nábojová konjugace (reprezentovaná operátorem C) přeměňuje částice v antičástice, tedy atomy v antiatomy, elektrony v pozitrony atd. Operátor parity P je znám lépe: inverzí v počátku souřadného systému souřadnic čistic mění v prostorových souřadnic znaménka; x přechází v $-x$ atd. Molekuly přecházejí touto operací v molekuly nerozlišitelné od výchozích, pokud nejde o molekuly chirální. U nich jeden enantiomer přechází v enantiomer opačný. Zbývá dodat, že T je operátor obrácení času v tom smyslu, že časovou souřadnicí t mění v $-t$. Nezmění-li se rovnice popisující fyzikální zákon pod vlivem této operace, hovoří se o případu zachování invariance vůči obrácení času. Obrácení času si lze představit nejlépe jako obrácení pohybu; v žádném případě nejde o zpětný tok času⁷⁹.

Od časů Pasteurových víme, že chemická reaktivita optických antipodů je různá. Naproti tomu si byli chemici sto let absolutně jisti shodností energie optických antipodů. Z teorému CPT však jednoznačně plyne, že slabé interakce rozlišují, čili jsou diskriminativní, mezi chirální molekulou a jejím



Obr. 2. Změny energie provázející přechody jednak mezi pravotočivou a levotočivou molekulou a jednak mezi molekulou a antimolekulou

zrcadlovým obrazem a mezi molekulou a antimolekulou. Tato schopnost diskriminovat je výsadou slabých interakcí; silné, elektromagnetické a gravitační síly tuto způsobilost nemají. Teorém CPT říká, že i když je jedna či více invariancí (tedy C či P či T) porušena, invariance vůči kombinované operaci CPT vždy platí. Přesvědčili jsme se o tom u souboru trisubstituovaných chirálních derivátů methanu tím⁸⁰, že jsme ukázali, že energetický rozdíl mezi oběma enantiomery má stejnou absolutní hodnotu jako energetický rozdíl mezi chirální molekulou a její antimolekulou (obr. 2).

Lze se ptát, proč věnovat tolik pozornosti jevu tak speciálnímu. Důvody jsou dva. Za prvé jde o jev tak fundamentální, že by bylo neomluvitelné se o něj nezajímat⁸¹. Je navíc spojen s úsilím změřit rozdíl energie mezi enantiomery. Jde o rozdíl zhruba o tři rády menší, než je dnes možné pokusně určit⁸¹. Nepochybuj však o tom, že za pět či třeba za pár desítek let bude měřitelný. Navíc práce v této oblasti umožňuje přechod z obvyklé elektromagnetické kvantové chemie ke kvantové chemii elektroslabé⁸². Navíc operátor obrácení času T obrací momenty a spiny všech častic v systému⁷⁹ a rozlišuje vlastnosti „sudé“ při působení T (elektrický dipolový moment) a „liché“ (magnetický dipolový moment). Při studiu magnetických vlastností, tak důležitých u některých témat materiálové vědy, to je nutno brát v úvahu.

Konečně se zdá, že zatím nevyřešená otázka preference L-aminokyselin a D-cukrů v živých organismech možná bude – spolu s dalším mechanismem – interpretována pomocí jevů, o nichž byla řeč v této statí.

8. Experimentální metody pro určování konstituce

Široké je spektrum metod, které slouží pro určování konstituce; o volbě metody rozhoduje povaha řešené úlohy. A tak se i nadále budou objevovat situace, kdy elektronická spektroskopie (v UF a viditelné oblasti), vibrační spektroskopie (kombinace IČ a Ramanovy spektroskopie) či cirkulární dichroismus umožní nalézt řešení, či alespoň přispět k jeho dosažení. Současně je však pravda, že v této oblasti hrájí

ústřední roli tří metody a je s nimi spojeno odhadem přes 90 % zdánlivých určení konstituce. Jde o rentgenostrukturální analýzu, nukleární magnetickou rezonanci a o hmotnostní spektrometrii. Prvá z metod dosáhla v průběhu 90. let udivující dokonalosti a díky rozvoji počítačů veliké produktivity. Je použitelná u látek s molekulovou hmotností až několik set kDa. Příprava vyhovujících monokrystalů zkoumané látky představuje někdy svízelovou úlohu. Pokud jde o použití NMR k určování konstituce, znamenalo zavedení dvourozměrných metod krok směrem k rutinnímu využívání této rezonanční procedury k určování struktury peptidů a bílkovin o velikosti do 50 kDa (cit.⁸³). Významné rozšíření možností představuje využití vysokorozlišovací NMR u vzorků v pevné fázi. Nejen, že odpadají svízele s rozpustností, ale tato metoda dovoluje určovat strukturu např. bílkovin v jejich přirozeném prostředí⁸⁴. Jako příklad určení struktury může posloužit struktura enzymu (47 kDa), který hraje ústřední úlohu při syntéze riboflavinu a stanovení jeho vazebného místa.

V Německu probíhá instalace NMR spektrometru 900 MHz a v Japonsku je pokročilý vývoj zařízení 1 GHz. Léta trvající růst intenzity magnetického pole je spojen s růstem citlivosti a s vyšší rozlišovací schopnosti⁸⁵. Růst protonové rezonance z 800 na 900 MHz (růst intenzity pole o 12,5 % a přibližně 20 % růst citlivosti) je vykoupen růstem nákladů o 250 %; zařízení stojí asi 320 milionů Kč. Navíc provoz zařízení je mimořádně nákladný. Skutečný smysl této ohromné investice jest spřevádět v nových možnostech studia relaxačního chování molekul.

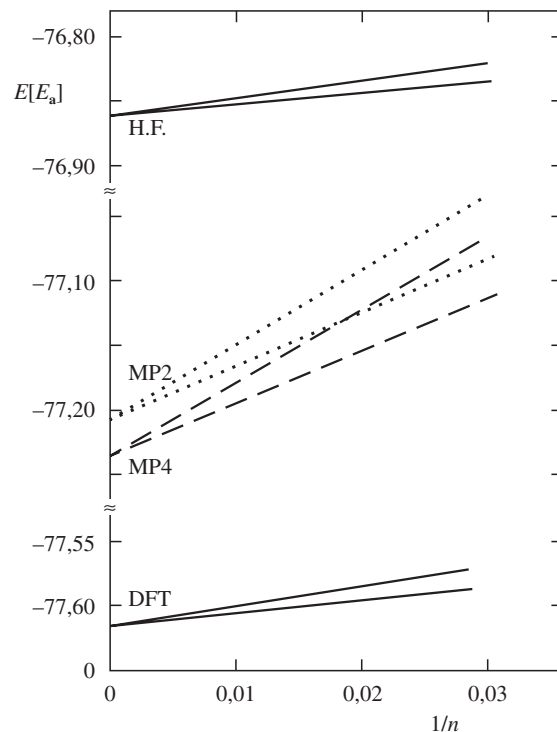
Oblast využití NMR je tak rozsáhlá a často tak speciální, že lze stěží nalézt přístupnou a širokou informaci o situaci v celé oblasti. Rozsáhlou informaci nabízí encyklopédie⁸⁶, která se týká mnoha oblastí a specializací. Organicičtí chemici patrně ocení dílo Claridge⁸⁷.

Pokud jde o současnou RTG krystalografii, její uskutečnění díla i ambice patně zapůsobí i na velmi rezervovaného pozorovatele. Věřím, že nezůstane u úmyslu a že se za pár let podaří nejen připravit většinu enzymů působících v lidském těle v krystalické formě, ale též určit jejich strukturu. Ostatně tak tomu bude i s mnoha dalšími složkami živé hmoty. Jedeničné informace o současném stavu a výhledkách jsou k dispozici na webových stránkách⁸⁸.

I v oblasti hmotnostní spektrometrie je orientace na extrémně složité biologické systémy velice rozsáhlá. Týká se to např. charakterizace intaktních mikroorganismů⁸⁹ či oblasti proteomiky^{90,91}. Byla by věru škoda nezmínit roli hmotnostní spektrometrie v kombinatoriální chemii ve výzkumu léčiv⁹² a využití kvantověchemických metod⁹³.

9. Molekulová kvantová mechanika a příbuzné metody

Před 50 lety začala kvantová chemie pronikat do chemické veřejnosti prostřednictvím jednoduché metody molekulových orbitalů (HMO). Na počátku významně převažovali skeptici nad podporovateli: po 10–15 letech dosáhla kvantová teorie chemické vazby, ve verzi kvalitativní i kvantitativní, určitého uznání. Průlom, lze-li to tak nazvat, byl dovršen v devadesátych letech, kdy chemici vzali výpočty do vlastních rukou. Šlo o obdobu přívlastnění si IČ spektroskopie před 50 lety a NMR před asi 40 lety. Pokud je základní stav studovaného systému



Obr. 3. Závislost celkové energie acetylenu (E) počítané na Hartreeho-Fockové (H.F.) úrovni a na úrovni se zahrnutím korelační energie (MP2, MP4) na reciprokové hodnotě celkového počtu funkcí v bázi (n). Extrapolací k hodnotě $1/n = 0$, tedy pro nekonečně velkou bázi, lze získat dobrý odhad pro hodnotu Hartreeho-Fockovy limity; v případě energie MP4 se získá odhad přesné nerelativistické energie. Energie získané pomocí teorie hustoty funkcionálu, označené DFT, (na obrázku dvě nejnižší ležící závislosti) splňují také lineární závislost, je však zřejmé, že jejich absolutní hodnoty, protože leží pod přesnou nerelativistickou hodnotou, nemají fyzikální smysl; jejich změny jsou však smysluplné a užitečné. U páru lineárních závislostí přísluší horní závislosti kvalitnějším bázím

popsatelný jedním determinantem, chemici díky přístupnosti počítačů a kvalitních programů asistenci specialistů nepotřebují. V takových případech lze dosáci u rozsahuem zajímavých molekul chemické přesnosti.

Zde přirozeně nejde o přehled současného stavu výpočetových metod kvantové chemie a molekulové dynamiky, jde totiž o určité rysy současných studií s přihlédnutím k vývojovým tendencím. Za tendenci z nejvýraznějších pokladám – stejně jako v oblasti experimentů – nástup do oblasti velkých molekul. Až na drobné výjimky budu mít tuto tendenci na zřeteli.

Je však vhodné začít zmínkou o tom, že dnešní extrapolaci metody dovolují s rozumnými náklady kvalitně odhadnout nejen u atomů a dvou- či tříatomových molekul Hartreeho-Fockovu limitu a přesnou nerelativistickou energii. Postupuje se tak, že se pro několik různě rozsáhlých bází atomových funkcí vypočítá celková energie jak Hartreeho-Fockovou metodou, tak na úrovni se zahrnutím elektronové korelace. V naší laboratoři se osvědčuje extrapolace celkové energie (E) k nule v souřadnicích E a $1/n$, kde n je počet atomových funkcí v bázi (obr. 3). Z analýzy výsledků je patrné, že pro kvalitní výpočty je báze „double-zeta“ nedostatečná a dále, že metoda „coup-

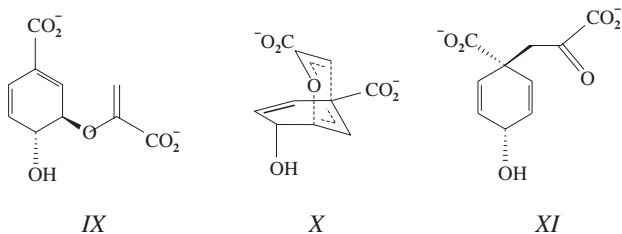
led-cluster“ (verze CCSD(T)) je velice kvalitní⁹⁴. U rozsáhlých systémů lze dosíci nejvýše úrovně MP2, což představuje v případě mezimolekulových komplexů úspěch zásadní důležitosti. Významný pokrok představuje nedávno zavedená approximace⁹⁵ k metodě MP2 („resolution of identity“ MP2), která je až řádově rychlejší než verze přesná⁹⁶. Je vhodné upozornit na to, že tato velice rozšířená poruchová metoda výpočtu korelační energie (původně označovaná zkratkou MB-RSPT, později MP) ne vždy dobře konverguje. Soudím však, že nalezená selhání představují spíše velmi speciální výjimky než nebezpečí pro naprostou většinu aplikací.

Metoda využívající funkcionálu hustoty (DFT) (pro velmi dobré poučení o DFT a pro zařazení do širšího kontextu viz práci⁹⁷) prodělala v průběhu posledního desetiletí pronikavá zdokonalení a je nepochyběně dobrým teoretickým prostředkem pro interpretaci pokusných dat ve velice mnoha oborech a oblastech, od fyziky pevné fáze (odkud vzešla) až po různé aspekty biodisciplín. Její empirický rys neoslabuje její užitečnost, i když dovoluje soudit, že v průběhu několika dalších let rozmachu počítaců její význam poklesne. Výpočtově jde o relativně málo nákladnou proceduru, protože spotřeba času je úměrná třetí mocnině počtu funkcí v bázi. Na rozdíl od Hartree-Fockovy metody zahrnuje něco elektronové korelace. Na velikost podílu této složky celkové energie v DFT celkové energii nelze v žádném případě usuzovat ze závislosti uvedené na obr. 3; ne absolutní hodnoty, ale toliko změny DFT energie mají smysl. Praktický závěr je jednoznačný: kdekoliv je ΔE v podstatě dánou korelační energií, je tato metoda zásadně nepoužitelná⁹⁸; tudíž v oblasti vdW systémů je třeba velké opatrnosti. Správný funkcionál a náležitá báze (Becke 3 LYP a Becke 3P 86; DZ+P) však vedou u klasických vodíkových vazeb a iontových klastrů k uspokojivým výsledkům; použití u komplexů Londonova typu postrádá smysl⁹⁸. Je proto rozladující, že se takové práce mohou objevit i v renomovaných časopisech.

Kombinace metod kvantové chemie (QM) pro oblast centra, kde se odehrává chemická přeměna, s metodami molekulové mechaniky (či jinými slovy empirického potenciálu) (MM) pro popis rozsáhlého okolí centra je to nejlepší, co je v současné době k dispozici pro studium reakcí rozsáhlých systémů jako enzym–substrát, reakcí zahrnujících bílkoviny či katalytické přeměny v kavitách zeolitů. Přes různé výhrady, které lze mít k takové metodické mezalianci, se sluší ráci, že vypracování těchto postupů zasluluje uznaní. Ústřední překážku představuje popis na rozhraní aplikace metod QM a MM. Na rozhraní (na straně QM) lze např. použít bázi kvality DZ, kdežto v reakčním centru jde o úroveň zřetelně vyšší. Tyto metody dovolují lokalizovat stacionární body energetické hyperlochy QM/MM, přičemž k relaxaci geometrie dochází v obou jejich oblastech.

Jako ilustrace může posloužit enzymaticky katalyzovaný Claisenův přesmyk (IX) přes aktivovaný komplex (X) na produkt (XI)⁹⁹.

Výpočty byly provedeny spřaženým programem pro QM (Gaussian) a MM (AMBER) výpočty. Výpočty QM byly provedeny sice na skromné, ale v tomto případě zřejmě na dostačující úrovni B3 LYP/6-31G*. Eyringova aktivační energie procesu (IX) → (X) činí v plynné fázi 22 kcal/mol⁻¹, kdežto pro enzymaticky katalyzovaný proces obnáší pouze 1,4 kcal/mol⁻¹. Je to v souladu s tím, že enzym mutasa zvýší rychlosť reakce faktorem 3.10⁶.



Tato kombinovaná procedura dozna jistě v průběhu času růst úrovně ve vnitřní i vnější části modelu a může udělat dobré služby např. v rozsáhlé oblasti biochemické reaktivity a v celé sféře katalýzy. V budoucnosti patrně dosáhne zcela neempirické úrovně.

Tuto část ukončeme upozorněním na QM výpočty biomolekul majících 20 až 200 atomů¹⁰⁰. Pro sledování průběhu reakcí autoři doporučují vyspělé verze metody DFT a pro případy, jež vyžadují zahrnutí korelační energie, použití teorie MP2 na bázi lokalizovaných orbitalů; úspora strojního času je veliká.

Počítacové pokusy (simulace) mají historii starou zhruba čtvrt století. Molekulová dynamika (MD) má dnes vůči metodě Monte Carlo (MC) dominantní postavení. Zdá se, že verze MD založená na výrazu pro potenciální energii plynoucí z programu GROMOS (cit. ^{fol1}) je dobrě prověřená. Interpretace i předpovědi, pokud jde o chování biomolekul (včetně struktury membrán a bílkovin), jsou relativně spolehlivé, postup je však nepoužitelný v případě, kdy vznikají a zanikají chemické vazby. Nepřekvapuje, že u procesů, jako je vznik terciární struktury bílkovin, hraje entropický příspěvek zásadní úlohu. Působivý a instruktivní je již citovaný²⁴ případ využití MD pro předpověď, zda má výhledku na realizaci „větrná růžice“ na molekulové úrovni, poháněná proudem atomů vzácného plynu.

Nedávno zesnulý P. A. Kollman byl v čele týmu, který se po léta zúčastnil rozvoje používání MD pro výpočet Gibbsovy energie velkých biomolekul. V recentní práci¹⁰² byly popsány metody založené na spojení molekulové mechaniky s kontinuálním modelem pro popis úlohy rozpouštědla. Autoři na použitém postupu vítají, že je na rozdíl od dříve používaného poruchového výpočtu Gibbsovy energie mnohem pružnější. Poslední dvě věty statí II v práci¹⁰² však optimismus výrazně redukují. Praví se v nich: „Nonetheless it is clear that applications of eq 1 will have intrinsically much larger errors than free energy perturbation/thermodynamic integration calculations. What is surprising is that, despite these larger uncertainties, we can often calculate ΔG in respectable agreement with experiment“.

LITERATURA

- Herman Z., Zahradník R.: Chem. Listy 79, 522 (1985).
- Seidl S., Seppelt K.: Angew. Chem. 112, 4072 (2000).
- Minkwitz R., Neikes F.: Eur. J. Inorg. Chem. 2000, 1261.
- Cacace F., de Petris G., Troiani A.: Angew. Chem., Int. Ed. Engl. 40, 4062 (2001).
- Chergui M.: Chimia 54, 83 (2000).
- Chergui M. (ed.): *Femtochemistry*. World Scientific, Singapore 1996.
- Zewail A. H.: Angew. Chem., Int. Ed. Engl. 40, 4371 (2001).

8. Quack M.: Chimia 55, 753 (2001).
9. Pardo-Yissar V., Gabai R., Shipway A. N., Bourenko T., Willner I.: Adv. Mater. 13, 1320 (2001).
10. Niemeyer C. M.: Angew. Chem., Int. Ed. Engl. 40, 4128 (2001).
11. Breuning E., Ziener U., Lehn J.-M., Wegelius E., Rissanen K.: Eur. J. Inorg. Chem. 2001, 1515.
12. Gauthier D., Baillargeon P., Drouin M., Dory Y. L.: Angew. Chem., Int. Ed. Engl. 40, 4635 (2001).
13. Schmuck C., Wienand W.: Angew. Chem., Int. Ed. Engl. 40, 4363 (2001).
14. El-ghayoury A., Schenning A. P. H. J., van Hal P. A., van Duren J. K. J., Janssen R. A. J., Meijer E. W.: Angew. Chem., Int. Ed. Engl. 40, 3660 (2001).
15. Szejtli J.: Chem. Rev. (Washington, D.C.) 98, 1743 (1998).
16. Craighead H. G.: Science (Washington, D.C.) 290, 1532 (2000).
17. Bock H., Gharagozloo-Hubmann K., Sievert M., Priesner T., Havlas Z.: Nature 404, 267 (2000).
18. Raja R., Khimyak T., Thomas J. M., Hermans S., Johnson B. F. G.: Angew. Chem., Int. Ed. Engl. 40, 4638 (2001).
19. Aiken, III J. D., Finke R. G.: J. Mol. Catal. A: Chemical 145, 1 (1999).
20. Crooks R. M., Zhao M., Sun L., Chechik V., Yeung L. K.: Acc. Chem. Res. 34, 181 (2001).
21. Löwen H., Watzlawek M., Likos C. N., Schmidt M., Jusufi A., Denton A. R.: J. Phys.: Condens. Matter 12, 465 (2000).
22. Koutecký J., Zahradník R.: Collect. Czech. Chem. Commun. 25, 811 (1960).
23. Rouhi A. M.: Chem. Eng. News 2001 (July 30), 46 (článek o práci a výsledcích skupiny J. Michla (Univ. of Boulder, CO)).
24. Vacek J., Michl J.: New J. Chem. 21, 1259 (1997).
25. Vacek J., Michl J.: Proc. Natl. Acad. Sci. U.S.A. 98, 5481 (2001).
26. Chia S., Cao J., Stoddart J. F., Zink J. I.: Angew. Chem., Int. Ed. Engl. 40, 2447 (2001).
27. Jutzi P., Lenze N., Neumann B., Stammiller H.-G.: Angew. Chem., Int. Ed. Engl. 40, 1424 (2001).
28. Chang C.-H., Hwang K. C., Liu C.-S., Chi Y., Carty A. J., Scoles L., Peng S.-M., Lee G.-H., Reedijk J.: Angew. Chem., Int. Ed. Engl. 40, 4651 (2001).
29. Kavan L.: Chem. Rev. (Washington, D.C.) 97, 3061 (1997).
30. Whitby R. L. D., Hsu W. K., Boothroyd C. B., Fearon P. K., Kroto H. W., Walton D. R. M.: CHEMPHYSCHM. 2001, 620.
31. Holzinger M., Vostrowsky O., Hirsch A., Hennrich F., Kappes M., Weiss R., Jellen F.: Angew. Chem., Int. Ed. Engl. 40, 4002 (2001).
32. Heeger A. J.: Angew. Chem., Int. Ed. Engl. 40, 2591 (2001).
33. Sauvage J.-P. (ed.): Structure and Bonding 99: *Molecular Machines and Motors*, 2001.
34. Tour J. M.: Acc. Chem. Res. 33, 791 (2000).
35. Polák R., Zahradník R.: *Kvantová chemie*, str. 411. SNTL, Praha 1985.
36. Schwarz H., Schröder D.: Pure Appl. Chem. 72, 2319 (2000).
37. Rybtchinski B.: Angew. Chem. 111, 919 (1999).
38. Dyker G.: Angew. Chem. 111, 1808 (1999).
39. Centi G., Wichterlová B., Bell A. T. (ed.): *Catalysis by Unique Metal Ion Structures in Solid Matrices*. Kluwer, Dordrecht 2001.
40. Cornils B., Herrmann W. A.: *Applied Homogeneous Catalysis with Organometallic Compounds*, sv. 1 a 2. Wiley-VCH, Weinheim 1996.
41. Margolin A. L., Navia M. A.: Angew. Chem., Int. Ed. Engl. 40, 2205 (2001).
42. Merlau M. L., del Pilar Mejia M., Nguyen S. T., Hupp J. T.: Angew. Chem., Int. Ed. Engl. 40, 4239 (2001).
43. Brakmann S.: CHEMBIOCHEM 2, 865 (2001).
44. Citováno podle Nachr. Chem. 49, 1012 (2001).
45. Merkx M., Kopp D. A., Sazinsky M. H., Blazyk J. L., Müller J., Lippard S. J.: Angew. Chem., Int. Ed. Engl. 40, 2783 (2001).
46. Kollman P. A., Kuhn B., Donini O., Perakyla M., Stanton R., Bakowies D.: Acc. Chem. Res. 34, 72 (2001).
47. Pfaltz A.: Chimia 55, 708 (2001).
48. Dalko P. I., Moisan L.: Angew. Chem., Int. Ed. Engl. 40, 3727 (2001).
49. Hoffmann R.: Angew. Chem., Int. Ed. Engl. 40, 3337 (2001).
50. Lowe G.: Chem. Soc. Rev. 24, 309 (1995).
51. Chem. Rev. (Washington, D.C.) 97 (2) 1997.
52. Acc. Chem. Res. 29 (3) 1996.
53. Lehn J.-M.: Chem. Eur. J. 5, 2455 (1999).
54. Zahradník R., Michl J., Pancíř J.: Tetrahedron 22, 1355 (1966).
55. Rudkevich D. M., Rebek, Jr. J.: Eur. J. Org. Chem. 1999, 1991.
56. Ashton P. R., Baldoni V., Balyani V., Credi A., Hoffmann H. D. A., Martínez-Díaz M.-V., Raymo F. M., Stoddart J. F., Venteri F.: Chem. Eur. J. 7, 3482 (2001).
57. Nguyen V. T., Ahn P. D., Bishop R., Scudder M. L., Craig D. C.: Eur. J. Org. Chem. 2001, 4489.
58. Berl V., Huc I., Khouri R. G., Lehn J.-M.: Chem. Eur. J. 7, 2810 (2001).
59. Archer E. A., Sochia A. E., Krische M. J.: Chem. Eur. J. 7, 2059 (2001).
60. Hobza P., Havlas Z.: Chem. Rev. (Washington, D.C.) 100, 4253 (2000).
61. Metrangolo P., Resnati G.: Chem. Eur. J. 7, 2511 (2001).
62. Pu L., Twamley B., Power P. P.: J. Am. Chem. Soc. 122, 3524 (2000).
63. Rutsch P., Huttner G.: Angew. Chem. 112, 3852 (2000).
64. Schäfer H., Saak W., Weidenbruch M.: Angew. Chem. 112, 3847 (2000).
65. Eichler B. E., Power P. P.: J. Am. Chem. Soc. 112, 8785 (2000).
66. Hobza P., Burda J. V., Zahradník R.: Polish J. Chem. 72, 1497 (1998).
67. Burda J. V., Hobza P., Zahradník R.: Chem. Phys. Lett. 288, 20 (1998).
68. Burda J. V., Hobza P., Zahradník R.: Chem. Phys. Lett. 303, 248 (1999).
69. Gelletly B.: Chem. Br. 2000 (March), 40.
70. Smith S. B., Finzi L., Bustamante C.: Science (Washington, D.C.) 258, 1122 (1992).
71. Samori B.: Chem. Eur. J. 6, 4249 (2000).

72. Hla S.-W., Meyer G., Rieder K.-H.: CHEMPHYScheme 2, 361 (2001).
73. Derosa P. A., Seminario J. M.: J. Phys. Chem., B 105, 471 (2001).
74. Reed M. A., Zhou C., Muller C. J., Burgin T. P., Tour J. M.: Science (Washington, D.C.) 278, 252 (1997).
75. Hla S.-W., Bartels L., Mezer G., Rieder K.-H.: Phys. Rev. Lett. 85, 2777 (2000).
76. Samorí P., Jäckel F., Ünsal Ö., Godt A., Rabe J. P.: CHEMPHYScheme 2001, 461.
77. Ulbrich K., Šubr V., Strohalm J., Plocová D., Jelínková M., Říhová B.: J. Controlled Release 64, 63 (2000).
78. Garnett M. C.: Adv. Drug Delivery Rev. 53, 171 (2001).
79. Barron L. D., Buckingham A. D.: Acc. Chem. Res. 34, 781 (2001).
80. Jungwirth P., Skála L., Zahradník R.: Chem. Phys. Lett. 161, 502 (1989).
81. Quack M.: Nova Acta Leopoldina 81, 137 (1999).
82. Berger R., Quack M.: J. Chem. Phys. 112, 3148 (2000).
83. Detken A., Ernst M., Meier B. H.: Chimia 55, 844 (2001).
84. Kelly M. J. S., Ball L. J., Krieger C., Yu Y., Fischer M., Schiffmann S., Schmieder P., Kühne R., Bermel W., Bacher A., Richter G., Oschkinat H.: Proc. Natl. Acad. Sci. U.S.A. 98, 13025 (2001).
85. Kessler H.: Nachr. Chem. 49, 138 (2001).
86. *Encyclopedia of Nuclear Magnetic Resonance* (Grant D. M., Harris R. K., ed.), sv. 1–8. Wiley, Chichester 1996.
87. Claridge T. D. W.: *High-Resolution NMR Techniques in Organic Chemistry*. Elsevier Science, Oxford 1999.
88. http://www.hwi.buffalo.edu/iucr/IUCr-News/iucrnews_letters.html
89. Fenselan C., Demirev P. A.: Mass Spectrom. Rev. 20, 157 (2001).
90. Peng G., Gygi S. P.: J. Mass Spectrom. 36, 1083 (2001).
91. Aebersold R., Goodlett D. R.: Chem. Rev. (Washington, D.C.) 101, 269 (2001).
92. Kassel D. B.: Chem. Rev. (Washington, D.C.) 101, 255 (2001).
93. Alcami M., Yanez M.: Mass Spectrom. Rev. 20, 195 (2001).
94. Šroubková L., Zahradník R.: Helv. Chim. Acta 84, 1328 (2001).
95. Feyereisen M., Fitzgerald G., Komornicki A.: Chem. Phys. Lett. 208, 359 (1993).
96. Jurečka P., Nachtigall P., Hobza P.: Phys. Chem. Chem. Phys. 3, 4578 (2001).
97. Gill P. M. W., Schleyer P. v. R. (ed.): *Encyclopedia of Computational Chemistry*, sv. 1, str. 678. Wiley, Chichester 1998.
98. Hobza P., Šponer J., Reschel T.: J. Comput. Chem. 16, 1315 (1995).
99. Hall R. J., Hindle S. A., Burton N. A., Hillier I. H.: J. Comput. Chem. 21, 1433 (2000).
100. Friesner R. A., Dunietz B. D.: Acc. Chem. Res. 34, 351 (2001).
101. van Gunsteren W., Bakowies D., Bürgi R., Chandrasekhar I., Christen M., Daura X., Gee P., Glättli A., Hansson T., Oostenbrink C., Peter C., Pitera J., Schuler L., Soares T., Yu H.: Chimia 55, 856 (2001).
102. Kollman P. A., Massova I., Rezes C., Kuhn B., Huo S., Chong L., Lee M., Lee T., Duan Y., Wang W., Donini O., Cieplak P., Srinivasan J., Case D. A., Cheatham, III T. E.: Acc. Chem. Res. 33, 889 (2000).

R. Zahradník (*J. Heyrovský Institute of Physical Chemistry, Academy of Sciences of the Czech Republic, Prague*): **Chemistry 2002**

An attempt was made to describe essential features of the fields of chemistry that appear to be of immediate interest at the beginning of the 21st century. Attention was paid to preparation of new molecules and materials, particularly to ultra-rapid processes, extensive systems, molecular machines, catalysis, asymmetric syntheses, and combinatorial chemistry. Moreover, the following subjects were briefly outlined: expansion to higher periods of the periodic system of elements, experiments with individual molecules, symmetry and the CPT theorem, experimental techniques for structure elucidation, molecular quantum mechanics and other methods of computational chemistry.

Poznámka při korektuře

Pár řádek o molekulách udivujících struktur bych rád doplnil odkazem na práci nadepsanou *On Molecular Gyroscopes, Matroshka Dolls, and Other „Nano“-Toys*, Angew. Chem., Int. Ed. Engl. 41, 1513 (2002), jejímž autorem je C. A. Schalley.

Dr. B. Friedrich (Harvard Univ., Cambridge, MA) po přečtení rukopisu této práce navrhl zmínit ve statí 7 pokusy pátrající po narušení symetrie časové inverze, jakožto i experimenty testující narušení symetrikačního postulátu. To se nepodařilo, ale zájemci mohou ode mne dostat kopii dopisu Dr. Friedricha, kterému patří můj dík.

Velice aktuální kvantové molekulové biologii je věnováno celé první číslo časopisu Int. J. Quantum Chem. 88 (2002).

PREHĽAD ANALÝZY PYRETHROIDOV METÓDOU VYSOKOÚČINNEJ KVAPALINOVEJ CHROMATOGRAFIE

KRISTÍNA ROMÁNOVÁ a MILAN HUTTA

*Katedra analytickej chémie, Prírodovedecká fakulta, Univerzita Komenského, Mlynská dolina CH-2, 842 15 Bratislava, Slovenská republika
e-mail: romanova@fns.uniba.sk, hutta@fns.uniba.sk*

Došlo dňa 21.VIII.2001

Kľúčové slová: HPLC, pyrethroidy, pesticídy, achirálna separácia, chirálna separácia

Obsah

1. Úvod
2. Analýza pyrethroidov
 - 2.1. Achirálna separácia na reverzných fázach
 - 2.2. Achirálna separácia na normálnych fázach
 - 2.3. Chirálne separácie s využitím polárnych mobilných fáz
 - 2.4. Chirálne separácie s využitím nepolárnych a stredne polárnych mobilných fáz
3. Záver

1. Úvod

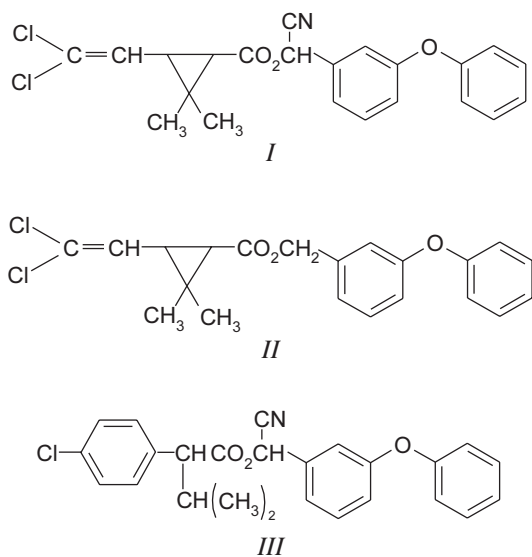
Človek sa snaží zlepšovať svoje životné podmienky, ale jeho úsiliu zabezpečiť si dostatočné zásoby potravy sa stavajú do cesty rôzny škodcovia a choroby napádajúce poľnohospodárske plodiny, hospodárske zvieratá a aj človeka samotného¹. Proti týmto vplyvom sa neustále bojuje používaním pesticídov. Posledné roky rastie spotreba rôznych pesticídov, ktoré vzbudzujú stále väčšie problémy a obavy zo znečistenia životného prostredia, ktorému dochádza ich aplikáciou. Pesticídy sa najčastejšie delia podľa použitia proti škodlivým činiteľom. Najrozšírenejšími skupinami sú i) insekticídy – pôsobiaci na hmyz, ii) fungicídy – ničiace škodlivé parazitické huby a pliesne, iii) herbicídy – používané proti burinám, ktoré sa vyskytujú v porastoch kultúrnych rastlín^{1,2}. Ostatné skupiny sú menej významné.

Medzi najpoužívanejšie insekticídy patria pyrethroidy, s ktorými sa bežne dostaváme do kontaktu vo forme rozprášovačov, posypov, elektroodpudzovačov pri ničení hmyzu, alebo impregnačných roztokov pri penetrvaní stavebného materiálu, papiera či textília. Po nečakanom objave pyrethroidov tieto rýchlo dosiahli komerčnú dôležitosť a v súčasnosti zaberajú viac ako 20 % svetového trhu s insekticídmami³. Pyrethroidy sú syntetické insekticídy odvodnené od účinných látok vyskytujúcich sa v *Chrysanthemum cinerariaefolium* ako prírodné pyrethríny¹. Pyrethríny sú biologické produkty s nižšou toxicitou pre cicavce ako syntetické pyrethroidy. Pyrethríny sú často

používané ako repellenty, ich nevýhodou je však nedostatočná perzistencia, a preto sa musia zmiešať so synergickými látkami. Práve tento dôvod vedol k výrobe vysoko aktívnych a na svetle stabilných syntetických pyrethroidov. Pyrethroidy sa zaraďujú do triedy neuroaktívnych insekticídov^{4,5} s krátkou životnosťou a s nízkou toxicitou pre cicavce^{6,7}. Napriek tomu sa objavili informácie o ich nepriaznivom vplyve na zdravie človeka, pričom niektoré syntetické pyrethroidy sú už podozrivé z karcinogenity⁸. O toxicite pyrethroidných insekticídov pre cicavce bolo popísaných niekoľko prác^{9–11}. O syndrónoch otravy, prejavoch a terapii pojednáva práca Raya¹².

Z hľadiska chemickej štruktúry sa syntetické pyrethroidy rozdeľujú do troch skupín (obr. 1): a) s α -CN skupinou (napr. cypermethrin, cyfluthrin, deltamethrin), b) bez skupiny CN (napr. permethrin, allethrin), c) bez cyklopropánového kruhu (napr. fenvalerat, τ -fluvalinat)⁵. Pyrethroidy sú syntetizované, testované, označované a používané ako jednoduché, veľmi aktívne izoméry, alebo ako izomérna zmes obsahujúca dva alebo viac rôznych stereoizomérov závislých od počtu chirálnych centier v molekulách a spôsobu syntézy¹³. Používanie pyrethroidov je nevyhnutné pre zabezpečenie kvality životnej úrovne, a preto sa v dnešnej dobe vynakladá úsilie na redukciu rizík spojených s ich aplikáciou v životnom prostredí.

Jednou z možností, ako znížiť záťaženie životného prostredia, je objav, vývoj a zavedenie na trh takých biologicky účinných látok, ktoré pôsobia selektívne na určité biochemické procesy v cieľových organizmoch. Hlavným prostriedkom na dosiahnutie tohto cieľa sa javí práve chirala. So stereoizomérmi, vrátane optických izomérov, sa stretávame aj u pyrethroidov. Väčšina vyrábaných pyrethroidov je produko-



Obr. 1. Príklady štruktúrnych vzorcov pyrethroidov z troch základných skupín: cypermethrin (I), permethrin (II), fenvalerat (III)

vaných vo forme racemických zmesí a zmesí s rôznou enantiomérnu čistotou, a to napriek skutočnosti, že len jeden enantiomér je biologicky aktívny, kým druhý sa môže prejavíť ako nečistota. Nahrádzanie racemických zmesí čistými enantiomérmi umožňuje významnú redukciu množstva pyrethroidov aplikovaných do životného prostredia. Zníženie koncentrácie a počtu balastných látok zafazujúcich životné prostredie vede aj k zníženiu pravdepodobnosti nepriaznivého účinku týchto látok a ich degradačných produktov na zdravie človeka. Pri porovnaní biologických aktivít stereoizomérov syntetických pyrethroidov obsahujúcich zvyšok kyseliny chryzantémovej sa zistilo, že deriváty kyseliny chryzantémovej, ktoré obsahujú (1*R*)-(+)-kyslú zložku, majú vyššiu insekticídnu aktivitu ako tie, ktoré majú (S)-(–)-kyslý ester¹⁴. (1*R*)-izomér kyseliny chryzantémovej je časťou pyrethrín, a preto nie je prekvapujúce, že komerčné produkty sú odvodnené od štruktúry (1*R*)-chryzantémovej kyseliny. Napriek tomu, že (R)-izoméru predelujú vyššiu insekticídnu aktivitu, sú rozdiely medzi (1*R*)- a (1*S*)- (a *trans*- a *cis*)- izomérmi v ich toxicite pre cicavce male¹⁵.

Pre vývoj a testovanie nových preparátov vo vyššie spomínaných oblastiach je potrebné mať k dispozícii nástroje pre analýzu chirálnych látok. V súčasnosti je rovnaných viac metód pre analýzu chirálnych látok a vysokoúčinná kvapalinná chromatografia (HPLC) je jednou z efektívne využívaných metód. HPLC je používaná samostatne, ale aj v multidimenziólnych separáciách. Z uvedeného vyplýva, že problematica analýzy pyrethroidných látok v životnom prostredí je aktuálnou tému pre vedecký výskum.

2. Analýza pyrethroidov

Pre stanovenie pyrethroidov a pyrethrínov boli použité rôzne analytické metódy uvedené aj v práci Dombeka¹⁶. Metódy pre analýzu pyrethroidov v rôznych matriciach zahŕňajú extrakciu polárnym rozpúšťadlom alebo extrakciu tuhou fázou, vycistenie adsorpčnou alebo gélovou permeačnou chromatografiou. Stanovenie sa uskutočňuje plynovou chromatografiou (GC) s detektorem elektrónového záchrty (ECD) (cit.^{17–25}), s plameňovo ionizačným detektorm (FID) (cit.^{25–28}), alebo hmotnostným spektrometrickým detektorm (MS) (cit.^{29,30}), alebo HPLC so spektrofotometrickou detekciou v ultrafialovej oblasti spektra (UV) (cit.³¹), infračervenou spektroskopiou (IC) (cit.³²), rádiometrickým detektorm³³, rádiometrickým detektorm s kvapalným scintilátorom³⁴ alebo polarimetrom³⁵. Tie-to dve metódy (GC a HPLC) sú najpoužívanejšie, ale okrem nich sa používajú aj iné aplikácie, ako je superkritická fluidná extrakcia^{36–38}, micelárna elektrokinetická chromatografia (MECC) (cit.³⁹), polarografia⁴⁰, voltametria^{41,42}, spektrofotometria⁴³, kapilárna elektroforéza (CE) s UV detektorem a fluorescenčným detektorem laserom indukované fluorescencie (LIF) (cit.^{44,45}), izotachoforéza (ITP) (cit.^{46,47}) a imunoassay^{48,49} metódy. Di Muccio a spol.⁵⁰ študovali metódu využívajúcu delenie na základe dispergovania pevnnej matrice (sorbentu) do tekutých vzoriek (SMDP) a následnom oddelení tohto sorbentu filtráciou v kombinácii s gélovou chromatografiou na minikolóne pre analýzu pyrethroidných rezidui v mastných matriciach (oleje a pod.). Výtažnosť fluvalinatu a permethrinu nemohla byť vypočítaná kvôli interferencii látok zo sójového oleja, kym λ-cyhalothrin, esfenvalerat a tra-

lomethrin dávajú nízke výtažnosti. Metódou HPLC boli stanovené aj pyrethrín v extrakte pyrethra⁵¹ a v biologickom materiáli, ktorým bola ľudská plazma⁵².

Podľa spôsobu separácie môžeme metódy HPLC rozdeliť do týchto skupín:

- achirálna separácia na reverzných fázach (RP),
- achirálna separácia na normálnych fázach (NP),
- chirálne separácie s využitím polárnych mobilných fáz,
- chirálne separácie s využitím nepolárnych a stredne polárnych mobilných fáz.

Stručné charakteristiky týchto metód sú uvedené v tabuľke I a II.

2.1. Achirálna separácia na reverzných fázach

Táto metóda umožňuje stanoviť pyrethroidy a ich diastereoizoméry v rôznych matriciach, resp. ich čistotu v technologických vzorkách.

Niektoré syntetické pyrethroidy⁵³ a synergikum piperonyl butoxid, zlúčeniny ktoré sa bežne používajú ako ochrana pre skladované obilie, boli stanovené ako reziduá v ryži RP HPLC s UV detekciou pri 225 nm. Extrakcia pesticídov a interferujúceho materiálu z obilia bola robená tromi rôznymi extrahujúcimi rozpúšťadlami: acetónom, metanolom a hexánom. Acetón bol z nich najvhodnejší, pretože poskytuje kvantitatívnu extrakciu (48-hodinová extrakcia) a neposkytuje vysokú úroveň balastného materiálu. Koncentrácia pyrethroidov v extrakte dosahuje úroveň 5 µg.ml^{–1}, čo umožňuje ich stanovenie priamym dávkovaním. Pri nižších koncentráciách je potrebné dodatočné čistenie extraktu a zakoncentrovanie analytov. Dokonalé vyčistenie acetónových extraktov bolo uskutočnené na predkolónoch phénach oxidom hlinitým, resp. kremičitanom horečnatým a desaňásobné zakoncentrovanie bolo dosiahnuté sorpciou pesticídov na predkolóne C18 alebo zahustením extraktu prostredníctvom odparenia rozpúšťadla.

Na rozlíšenie prekrývajúcich sa chromatografických píkov boli využité rôzne chemometrické metódy^{54,55} ich dekonvolúciu a aplikované na stanovenie pyrethroidov – zmesi cypermethrinu, fenvalerate a *cis*-, *trans*-permethrinu HPLC.

Reziduá⁵⁶ fluvalinatu v mede boli analyzované po superkritickej fluidnej extrakcii (SFE) oxidom uhličitým s následnou HPLC analýzou na kolóne C18. Táto metóda je podľa autorov jednoduchšia ako extrakcia organickými rozpúšťadlami, čistenie extraktov tenkovrstvou chromatografiou a analýza plynovou chromatografiou.

Kutter a Class⁵⁷ pozorovali na kolóne C18 RP poradie elúcie izomérov *cis*- a *trans*-allethrinu v mobilnej fáze metanol:voda (4:1). V prípade cypermethrinu boli detegované len tri píky miesto štyroch píkov diastereoizomérov.

Brouwer a spol.⁵⁸ stanovovali pyrethroidné insekticídy v povrchovej vode kvapalinovou chromatografiou so spektrofotometrickou detekciou detektorm s diódovým poľom (DAD) použitím priamej úpravy vzorky technikou prepájania kolón. Procedúra zahŕňa automatické on-line zakoncentrovanie na predkolónoch obsahujúcich oktadecylsilikagél. Adsorpčia na vnútorné steny a povrchy bola potlačená príďavkom neutrálneho surfaktantu Brij-35 do vodnej vzorky. Pri spracovaní 100 ml vzorky sú detekčné limity na úrovni 0,4 µg.l^{–1} pri 235 nm.

Cyfluthrin⁵⁹ bol stanovený RP LC v kvapalných a pevných

Tabuľka I
Achirálna HPLC analýza pyrethroidov

Stacionárna fáza	Mobilná fáza	Separovanie pyrethroidy	Detekcia a detektívny limit	Matrica a úprava vzorky	Lit.
<i>Achirálna separácia na reverzných fázach</i>					
Waters Novapak C18 (150×3,9 mm)	ACN-H ₂ O (75:25)	bioesmethrin, deltamethrin, fenvalerat, permethrin, phenothrin	UV 225 nm 0,05 µg·ml ⁻¹	ryža, extrakcia	53
Hypersil C18 (150×4,6 mm, 5 µm)	ACN-H ₂ O (85:15)	cypermethrin, fenvalerat, permethrin	UV 210 nm	podzemná voda, pôda, extrakcia	54
Hypersil C18 (150×4,6 mm, 5 µm)	ACN-H ₂ O (95:5, 90:10, 85:15, 80:20, 75:25)	cypermethrin, fenvalerat, permethrin	DAD	–	55
Novapak C18 (150×4,6 mm)	ACN-H ₂ O s 14 ml·l ⁻¹ 0,01M-AcOH (80:20)	fluvalinat	UV 254 nm 0,06 mg·l ⁻¹	med, SFE	56
Lichrosorb RP18 (120×4 mm, 5 µm)	CH ₃ OH-H ₂ O (4:1)	allethrin	UV 220 nm	–	57
Supelcosil LC-PAH (250×4,6 mm, 5 µg)	gradient A = H ₂ O, B = ACN 35 % A-65 % B po čas 12,5 min., lineárna zmena na 20 % A-80 % B (20 min)	allethrin, cypermethrin, tetramethrin, permethrin, fenpropathrin, fenvalerat, bifenthrin	UV 235 nm 0,4 µg·l ⁻¹	povrchová voda	58
Nucleosil C18 (1250+40)×4 mm, 5 µm)	ACN-H ₂ O (80:20)	deltamethrin	UV 275 nm 0,2 mg·l ⁻¹	voda z bázena, pre očistu hov. dobylinky, filtrace	62
Kyanopropyl modifikovaný silikagél (250×4,6 mm, 5 µm)	ACN-H ₂ O (55:45)	cyfluthrin	UV 230 nm	kvapalné a pevné pesticídne formy	59
Nucleosil 120-5 C18 (250×4,6 mm)	ACN-H ₂ O (80:20)	flumethrin, deltamethrin, cypermethrin, cyhalothrin	UV 266 nm 0,001 mg·kg ⁻¹	mlieko a krv dojnych krav, extrakcia	60,61
µBondpak C18 (300×3,9 mm, 10 µm)	ACN-H ₂ O (75:25)	bifenthrin, cypermethrin, fenpropathrin, fenvalerat, fluicythrinat, methotrin, permethrin, tetramethrin py-115	UV 206 nm 0,05 mg·kg ⁻¹ pre py-115 0,1 mg·kg ⁻¹	plodiny ovocia a zeleniny, extrakcia	63
Separaton SIX C18 (150×3,2 mm, 5 µm)	CH ₃ OH-H ₂ O (80:20)	kadethrin, cypermethrin, permethrin	UV 272 nm 7,8-13,5 µg·ml ⁻¹ (20 µl)	ovzdusie, extrakcia z PUF	64

Tabuľka I – pokračovanie

Stacionárna fáza	Mobilná fáza	Separované pyrethroidy	Deteckia a detekčný limit	Matrica a úprava vzorky	Lit.
Purospher RP-18e (125×4 mm, 5 µm)	rôzny gradient CH ₃ OH-H ₂ O	kadethrin, cypermethrin, permethrin	UV 270 nm	aerosolové spraye	65
Separon SGX C18 (150×3 mm, 5 µm)	CH ₃ OH-H ₂ O (75:25)	kadethrin, cypermethrin, permethrin	UV 225 a 245 nm		65
Separon SIX CN (150×3 mm, 5 µm)	CH ₃ OH-H ₂ O (60:40)	kadethrin, cypermethrin, permethrin	UV 225 nm		65
Chromolith RP-18e Performance (100×4,6 mm)	gradient CH ₃ OH-H ₂ O	kadethrin, cypermethrin, permethrin	UV 220 nm		65
<i>Achirálne separácia na normálnych fázach</i>					
Partisil (250×4,6 mm, 10 µm)	hexán-chloroform-IPA (200:0,2:0,1) hexán-THF-dietylér (200:0,5:6) hexán-chloroform-dietylér (200:1:6) hexán-chloroform-IPA (200:1:6)	cypermethrin cypermethrin cypermethrin, permethrin cypermethrin	UV 281 nm	–	67
LiChrospher Si 100 (120×4 mm, 5 µm)	3% THF-hexán	allethrin, cypermethrin	UV 220 nm	–	57
Nucleosil 5 NO ₂ (120×4 mm, 5 µm)	0,5% THF-hexán	allethrin, cypermethrin	UV 220 nm	–	57
LiChrospher Si 60 (250×4 mm, 10 µm)	hexán-benzén (50:50)	deltamethrin, cypermethrin, permethrin	UV 280 nm, polarimeter	–	66
Sphnerisorb S5W (250×4,6 mm, 5 µm)	0,7% etylacetát-izooktán	α-cypermethrin, fenvalerat, deltamethrin, fenpropathrin, esfenvalerat, cypermethrin, permethrin	UV 275 nm	pesticídne formy, extrakcia	68
Partisil 10 Si (250×4,6 mm, 10 µm)	7% IPA-hexán	alphamethrin, cypermethrin, phenothrin, deltamethrin, fenpropothrin, tetramethrin, fenvalerat, permethrin	UV 235 nm 0,4–1,5 ppm	pitná voda	69
Separon SIX-CN (150×3,3 mm, 5 µm)	7% IPA-heptán	alphamethrin, cypermethrin, phenothrin, deltamethrin, fenpropothrin, tetramethrin, fenvalerat, permethrin	UV 235 nm 0,75–5 ppm	pitná voda	69
Silasorb 600 (5 µm)	0,4% THF-heptán hexán-acetón (30:1)	cypermethrin, deltamethrin, λ-cyhalothrin	UV 240 nm	–	70

Tabuľka II
Chirálna HPLC analýza pyrethroidov

Stacionárna fáza	Mobilná fáza	Separované pyrethroidy	Detekcia a detektívny limit	Matrica a úprava vzorky	Lit.
<i>Chirálne separácie s využitím polárných mobilných fáz</i>					
ChiraDex (250×4 mm, 5 µm)	150 mM trietylamin s H_2SO_4 v H_2O (pH 3,5): CH_3OH (45:55) 150 mM trietylamin s H_2SO_4 v H_2O (pH 3,5):ACN (60:40)	α -cypermethrin cypermethrin permethrin	UV 210 nm –	–	39 71 39
<i>Chirálne separácie s využitím nepolárných mobilných fáz</i>					
Cyclobond I 2000 (250×4,6 mm, 5 µm)	150 mM trietylamin s H_3PO_4 v H_2O (pH 3,5): CH_3OH (50:50)	α -cypermethrin, cypermethrin	UV 210 nm –	–	71
(+)-(5R,8S,OR1)- <i>3</i> - Aminopropyl-terguride (150×4,6 mm)	20 mM octanový tlmiivý roztok (pH 4)-ACN (6:4) 20 mM octanový tlmiivý roztok (pH 4)-ACN (4:6) 20 mM octanový tlmiivý roztok (pH 3,7)-ACN (7:3)	resmethrin, permethrin, cyfluthrin, bifenthrin, phenothrin deltamethrin cyfluthrin	UV 230 nm –	pôda, extrakcia	72
Cyclobond I β -Cyklodextrín (250×4,6 mm, 5 mm)	ACN- H_2O (25:75) ACN- H_2O (22:78)	cypermethrin allethrin	UV 220 nm –	–	57
<i>Chirálne separácie s využitím nepolárnych a stredne polárných mobilných fáz</i>					
Pirklova iónová kolóna 1-A (250×4,6 mm)	0,15% IPA-hexán 0,05% IPA-hexán	dl-allethrin, d-allethrin, α -cypermethrin, cypermethrin, fenpropatrin, fenvalerat, tetramethrin permethrin, d-phenothrin, resmethrin	UV 230 nm –	–	73
Pirklova kovalentná kolóna (250×4,6 mm)	0,15% IPA-hexán 0,05% IPA-hexán	λ -cyhalothrin, cyhalothrin, α -cypermethrin, fenvalerat cyfluthrin, flucythrin, flumethrin	UV 230 nm –	–	73
I ^a (250×4 mm)	hexán-1,2-dichlóretán-ethanol (500:30:0,15)	terallethrin	UV 230 nm –	–	74

Tabuľka II – pokračovanie

Stacionárna fáza	Mobilná fáza	Separované pyrethroidy	Deteckia a detekčný limit	Matrica a úprava vzorky	Lit.
II ^b	hexán-1,2-dichlóretán-ethanol (500:30:0,15)	allethrin, bioallethrin			74
	hexán-1,2-dichlóretán-ethanol (500:30:0,05)	fenvalerat			
	hexán-1,2-dichlóretán-ethanol (500:10:0,05)	cypromethrin, fenpropathrin			
III ^c	hexán-1,2-dichlóretán-ethanol (500:30:0,15)	fenvalerat, tetramethrin			74
	hexán-1,2-dichlóretán-ethanol (500:1:1) resmethrin	permethrin, phenothrin,			
OA-2000	hexán-1,2-dichlóretán-ethanol (500:30:0,15)	fenvalerat			74
	hexán-1,2-dichlóretán-ethanol (500:10:0,05)	cypromethrin			
OA-4700	hexán-1,2-dichlóretán-ethanol (500:10:0,05)	cypromethrin			74
	hexán-1,2-dichlóretán-ethanol hexán-IPA (250:5)	cypromethrin, α -cypromethrin, permethrin	UV 280 nm	–	
II+OA-4700	hexán-ethanol (99:5:0,5)	bifenthrin, fenpropathrin	UV 230 nm, polarimeter	–	76
	Whelk-O (250×4 mm, 5 μ m)	resmethrin tetramethrin permethrin	UV 254 nm	–	
Dacel Chiralcel OD (250×4,6 mm, 10 μ m)	hexán 2% IPA-hexán 0,2% IPA-hexán	cypermethrin	UV 220 nm	–	57
	Chiral-2 (250×4 mm, 5 μ m)	0,05% trifluoroctová kyselina a 0,05% IPA-hexán	UV 240 nm	–	64
Whelk-O1 (250×4mm, 5 μ m)	1% IPA-heptán	cypermethrin, permethrin			

^a Typ I odvodený od derivátu (S)-1-(α -nafthy)etylaminu s (S)-valínom chemicky viazaný na 3-aminopropyl silikagél, ^b typ II odvodený od derivátu (S)-1-(α -nafthy)etylaminu s (S)-terc.leúcinnom chemicky viazaný na 3-aminopropyl silikagél, ^c typ III (R)-A-(3,5-dinitrobenzoyl)-1-nafthyglycin iónovo viazaný na 3-aminopropyl silikagél

formách. Plochy píkov pre testovaciu vzorku a štandard cyfluthrinu boli porovnané použitím dekanofenónu ako vnútorného štandardu.

Na stanovenie reziduí syntetických pyrethroidov v mlieku a krvi dojných kráv bola vyvinutá citlivá metóda^{60,61}. Extrakcia bola uskutočnená acetonitrilom, rozdeľovanie *n*-hexánom a silikagélová kolóna bola vyčistená *n*-hexánom a dietyléterom. Výtažnosť pyrethroidov bola 78–91 % s minimálne detegovateľnou koncentráciou 0,001 mg.kg⁻¹.

Pavan a spol. v práci⁶² navrhli postup, kde vzorka dezinkenčného roztoku z bazéna pre očistu hovädzieho dobytka bola odstredovaním a filtráciou rozdelená na kvapalný a pevný podiel. Tieto podiely vzorky boli analyzované HPLC so spektrofotometrickým detektorom pri 275 nm, pričom detekčný limit bol 0,2 mg.l⁻¹. Autori deklarujú celkovú výtažnosť 81,2–84,95 %, pričom 20 % deltamethrinu bolo distribuované do kvapalného podielu vzorky a v pevnom podiely vzorky sa nachádzalo zvyšných 61,2–64,95 %.

Reziduá⁶³ deviatich pyrethroidov z ovocia a zeleniny boli extrahované metanolom, reextrahované toluénom a vyčistené na kolóne obsahujúcej zmes Florisilu a aktívneho uhlia. Výtažnosti celého postupu sa pohybovali pre jednotlivé pyrethroidy v rozmedzí 62,7–129,2 %.

V práci⁶⁴ bolo študované retenčné správanie sa zvolenej skupiny pyrethroidov RP HPLC. V mobilnej fáze metanol/voda (80:20) na oktadecylsilikagélovej kolóne sa dosiahla úplná skupinová separácia kadethrinu, cypermethrinu, ako aj čiastočná separácia diastereoizomérov cypermethrinu a úplná separácia diastereoizomérov permethrinu. Modelové zmesi a aplikačné formy (komerčné prípravky) pyrethroidov sa analyzovali v ovzduší, využitím sorpcie pyrethroidov na polyuretanovú penu (PUF) umiestnenú vo vzorkovači ovzdušia.

Problematika zlepšenia separácie diastereoizomérov pyrethroidov metódou RP HPLC bola riešená⁶⁵ na rôznych štyroch typoch kolón s a bez prídavku kovových katiónov Zn²⁺ a Ag⁺. Výrazné rozlíšenie diastereoizomérov bolo dosiahnuté na dvoch oktadecylových kolónach zapojených za seba s mobilnou fázou metanol/voda s 21,2 mmol.l⁻¹ prídavkom katiónov Ag⁺. Bol použitý aj nový druh chromatografickej kolóny (Chromolith RP-18e Performance). Na tejto kolóne rozlíšenie jednotlivých pyrethroidov ako aj ich diastereoizomérov dosahovalo hodnoty väčšie ako 1,3 v čase do desať minút. Jediným nedostatkom bola koelúcia dvoch diastereoizomérov cypermethrinu.

2.2. A chirálne separácia na normálnych fázach

Normálnefázový mód umožňuje separáciu diastereoizomérov alebo pyrethroidov, poprípade ich oddelenie od interferentov. Výhodou tohto módu je, že ide o adsorpčnú chromatografiu, kde tvarová selektivita je všeobecne lepšia ako v rozdeľovacej chromatografii.

Diaz a spol.⁶⁶ delili stereoizoméry deltamethrinu, cypermethrinu a permethrinu na kolóne Lichrospher Si 60 v mobilnej fáze hexán–benzén použitím dvoch detektorov: UV spektrofotometra a polarimetra s diódovým laserom. Využitím stereošpecifického polarimetrického detektora boli schopní analyzovať jednotlivé enantioméry rozseparovaných diastereoizomérov pyrethroidov.

Relatívne rýchla (<30 minút), robustná a nie príliš drahá

metóda bola vyvinutá pre separáciu diastereoizomérov cypermethrinu⁶⁷. Silikagélová kolóna Partisol a mobilná fáza hexán–chloroform–dietyléter (200:1:6) boli použité pre analýzu a prípravu každého diastereoizoméru zberom frakcií. Táto metóda sa použila aj pri separácii geometrických izomérov permethrina za elučný čas kratší ako desať minút. Pre cypermethrin dávajú štyri rôzne druhy mobilných fáz rôznu selektivitu separácie izomérov, ale nie je dostatočná pre zmenu elučného poradia. Tieto metódy poskytujú užitočné alternatívy, ak sa v extraktoch biologických materiálov nachádzajú koelujúce píky.

NP HPLC (cit.⁵⁷) sa separoval cypermethrin a cyfluthrin (4-fluorobenzyllový analog cypermethrinu) na silikagéli a na silikagéli modifikovanom NO₂ na štyri páry enantiomérov. Elučné poradie alleluthrinu na silikagéli (3% tetrahydrofurán (THF) v hexáne) je také, že *cis*- eluuje pred *trans*-alleluthrinom a na silikagéli modifikovanom NO₂ (0,5% THF v hexáne) *cis*-alleluthrin izoméry eluuju pred *trans*-izomérmi – predstavujúce bioalleluthrin. Sú separované v elučnom poradí [1*R*, *trans*, α S]-alleluthrin pred [1*R*, *trans*, α R]-alleluthrinom.

Metóda uvedená v práci Koppena⁶⁸ bola využitá pre sedem pyrethroidov prítomných ako jednoduché pyrethroidy aktívnych ingrediencií v jednej z troch foriem: emulzia, suspenzia alebo vo vode dispergovateľné granule. Predbežné experimenty poukázali na separáciu λ -cyhalothrinu a štyroch diastereoizomérov cyfluthrinu pod 20 minút.

Rieger⁶⁹ vo svojej práci popísal separáciu a stanovenie niektorých pyrethroidov vo vode na silikagélovej kolóne a na kolóne s viazaným nitrilom použitím IPA v hexáne alebo heptáne ako mobilných fáz. Pre úplnú separáciu štyroch enantiomérnych párov cypermethrinu na kolóne s polárnoch –CN viazanou fázou bola ako optimum vybraná mobilná fáza 0,4% THF v heptáne.

Zmes pyrethroidov sa v práci Davida a spol.⁷⁰ mobilnou fázou *n*-hexán–acetón (40:1 a 6:1) na kolóne Silasorb 600 neseparovala. Tvar chromatografických píkov detegovaných pri 240 nm bol pri mobilných fázach *n*-hexán–acetón (10:1 a 20:1) skreslený, čo komplikuje kvantitatívne vyhodnotenie. Selektívna separácia bola dosiahnutá pri mobilnej fáze (30:1). Bolo zistené, že použitie mobilnej fázy je najlepšie pri teplote pod 20 °C. Pokles teploty pod 20 °C mal za následok zvýšenie retencie syntetických pyrethroidov.

2.3. Chirálne separácie s využitím polárnych mobilných fáz

Chirálne separácie sa využívajú na delenie racemických alebo enantiomérne obohatených zmesí na ich enantioméry.

Ševčík a spol.³⁹ separovali pyrethroidy s využitím cyklodextrínov ako chirálnych selektorov metódou HPLC a MECC. V porovnaní s HPLC, MECC umožňuje enantioseparáciu fenpropriathrinu a lepšiu separáciu cypermethrinu. Na druhej strane HPLC ponúka lepšie možnosti pri analýze permethrinu. Pri nižšej teplote sa lepšie separuje prvý enantiomerný párs permethrinu. Pri vyššej teplote táto separácia nie je vyhovujúca z pohľadu separácie všetkých enantiomérov, ale dáva dobré možnosti pre separáciu druhého enantiomérneho páru.

V práci Lemra a spol.⁷¹ bol študovaný vplyv rôznych experimentálnych parametrov (zloženie mobilnej fázy, priečok, teplota a dávkované množstvo) na chirálnu separáciu použitím dvoch stacionárnych fáz β -cyklodextrínov viazaných na silikagéli. Skonštatovalo sa, že každý parameter pri-

spieva k finálnemu výsledku. Pyrethroidy sú neutrálne látky, a toto je dôvod, prečo vplyv pH nie je očakávaný. Napriek tomu u α -cypermethrinu zvýšenie pH viedlo k zníženiu relatívnej retencie pre jeho enantioméry z 1,53 na 1,43 na kolóne ChiraDex. Kolóna Cyclobond I umožňuje delenie oboch enantiomérov, ale stanovenie jedného v nadbytku toho druhého nie je možné. Použitím kolóny Cyclobond I bolo rozlíšených viacerých píkov v porovnaní s kolónou plnenou fázou ChiraDex.

Priame⁷² enantioseparácie kyseliny chryzantémovej [2,2-dimetyl-3-(2-metylpropenyl)-cyklopropánkarboxylová kyselina] a jej halogén-substituovaných analógov boli systematicky študované HPLC použitím chirálnej stacionárnej fázy s naviazaným alkaloidom – derivátom terguridu v kombinácii s DAD a chiroptickým detektorm. Izoméry s konfiguráciou (1R) vždy eluujú pred izomérmi s konfiguráciou (1S). Selektivita separácie *cis*- a *trans*-izomérov bola silne ovplyvnená pH mobilnej fázy, kym enantioselektivita zostala bez zmeny. Táto metóda bola použitá pre monitorovanie hydrolytických degrađačných produktov cyfluthrinu v pôde pri laboratórnych podmienkach.

Všetky štyri⁵⁷ *trans*-izoméry allethrinu boli separované na chirálnej kolóne Cyclobond I. *Cis*-izoméry koeluovali v jednom píku. Na cyklodextrínovej chirálnej kolóne Cyclobond I bolo pozorovaných päť píkov, ak boli dávkované roztoky cypermethrinu v metanole alebo acetonitrile.

2.4. Chirálne separácie s využitím nepolárnych a stredne polárnych mobilných fáz

Normálnefázový mód sa pre chirálne separácie používa častejšie pre lepšiu enantioselektivitu pre jednotlivé enantioméry. Je výhodný pre prípravu čistých enantiomérov.

Použitím Pirklových kolón iónového typu 1-A ((*R*)-*N*-(3,5-dinitrobenzoyl)fenylglycinová chirálna stacionárna fáza viazaná iónovou väzbou na aminopropylsilikagél) a novšieho kovalentného viazaného typu ((*R*)-*N*-(3,5-dinitrobenzoyl)fenylglycinová chirálna stacionárna fáza viazaná kovalentnou väzbou na aminopropylsilikagél ako amid) bolo skúmaných päťnásť syntetických pyrethroidov. Úplné rozdelenie píkov enantiomérov bolo dosiahnuté takmer vo všetkých prípadoch⁷³.

Vyvinuté boli tiež chirálne stacionárne fázy (CSP) klasifikované ako deriváty močoviny (typ I a II) (cit.⁷⁴). Typ I je odvodnený od derivátu (*S*)-1-(α -nafty)etylaminu s (*S*)-valínom a typ II od derivátov (*S*)-1-(α -nafty)etylaminu s (*S*)-terc.leucínom. V obidvoch typoch stacionárnych fáz sú funkčné skupiny chemicky viazané na 3-aminopropyl silikagél. Tieto typy CSP sú účinné pre separáciu racemických zlúčenín. Taktiež bol vyvinutý modifikovaný typ Pirklovej kolóny: (*R*)-*N*-(3,5-dinitrobenzoyl)-1-naftyglycin iónovo viazaný na 3-aminopropyl silikagél (III). Chirálne stacionárne fázy I–III sú účinné pre enantiomérnu separáciu insekticídov. Zlepšenie rozlíšenia bolo dosiahnuté pre rôzne substituované pyrethroidy obsahujúce jedno až tri chirálne centrá.

Enantioméry⁷⁵ niektorých agrochemikálií obsahujúcich π -aromatický systém s akceptorom vodíkovej väzby blízko stereogénneho centra boli separované na chirálnej stacionárnej fáze Whelk-O. Na tejto fáze boli delené *trans*-diastereozoméry resmethrinu a tetramethrinu. Permethrin s dvoma chirálnymi centrami bol rozdelený na štyri enantioméry.

Sánchez⁷⁶ separoval enantioméry bifenthinu a fenpropo-

thrinu na kolóne Chiraspher a analyty detegoval UV fotometrickým detektorom a polarimetrom s diódovým laserom. Rozlíšenie enantiomérov týchto dvoch pyrethroidov sa pochybovalo v rozmedzí 0,66–1,04 a najlepší polarimetrický signál bol získaný pri zmesi hexán–etanol (95,5:0,5).

Tri diastereozoméry⁶⁷ cypermethrinu boli separované na základnú líniu na ich enantiomérne páry s časom analýzy pod 50 minút. Jeden diastereozomér neboli rozlíšený na enantioméry. Izoméry boli úplne separované pri mobilnej fáze hexán–2-propanol (IPA) (250:1), ale s podstatne dlhším elučným časom (cca 70 min). Táto metóda je vhodná pre prípravu enantiomérov cypermethrinu frakčným zberom. Použitá chirálna kolóna bola nevhodná pre analýzu štyroch enantiomérov permethrinu, ale výborná pre separáciu α -cypermethrinu.

Diastereozomérna⁵⁶ a enantiomérna selektivita bola porovnaná pre cypermethrin na chirálnej stacionárnej fáze Pirkllovho typu, avšak pre allethrin separácia nebola pozorovaná. Dôvodom sú veľmi silné interakcie so stacionárnou fázou, majúce za následok dlhé retenčné časy a ireverzibilnú adsorpciu.

Boli optimalizované podmienky⁶³ separácie cypermethrinu a permethrinu na chirálnej kolóne Whelk-01 (*R,R*) v 1% IPA v *n*-heptáne. Z výsledkov vyplynulo, že *trans*-diastereozomér permethrinu bol rozseparovaný, kym *cis*- neboli. Cypermethrin bol rozseparovaný len na diastereozoméry bez enantioseparácie.

3. Záver

Rozsiahle aplikácie insekticídnych pyrethroidov a ich štruktúrne črty si pri vývoji validovaných metód HPLC pre ich analýzu vyžadujú riešiť viacero okruhov problémov. Separácia diastereozomérov pyrethroidov sa uskutočňuje metódami achirálnej HPLC v NP a RP systémoch, pričom za NP podmienok sú diastereozoméry pyrethroidov ľahšie separovateľné^{77,78}. Separácia enantiomérov sa robí v systémoch chirálnej chromatografie využívajúcich rôznorodé chirálne stacionárne fázy, pričom väčšina sa uskutočňuje v nepolárnych a stredne polárnych mobilných fázach.

Úspešnosť NP systémov vyplýva priamo zo štruktúrnych črty pyrethroidov, kde NP systémy HPLC sú využívané hlavne pre analýzu modelových zmesí pyrethroidov a analýzu pyrethroidov v technologických vzorkách a produktoch.

Naproti tomu pre analýzu pyrethroidov v komplexných reálnych vzorkách (potraviny, pôda, voda, ovzdušie) sa viac využíva RP systém, čo pravdepodobne súvisí s jeho väčšou robustnosťou a odolnosťou voči vzorkou zapríčineným zmenám systému. Schopnosť polárnych mobilných fáz rozrušovať interakcie pyrethroidov s matricovými zložkami hrá významnú úlohu nielen pri analýze diastereozomérov, ale aj enantiomérov pyrethroidov. Najčastejšie používanou detekčnou technikou je spektrofotometria v UV oblasti (220–281 nm), prípadne sa využíva polarimetrický detektor. Pretože pyrethroidy v kommerčných produktoch pozostávajú zo zmesi oboch optických (1*R*; 1*S* alebo +; –) a geometrických (*cis*, *trans*) izomérov, súčasný trend smeruje k potrebe enantiomérnych stanovení, a tým k zvýšenému počtu chirálnych separácií. Z uvedených článkov vyplýva, že väčšina separácií je zamieraná na optimalizáciu separácie štandardných látok, len niekoľko prác sa zaobera stanovením rezíduí pyrethroidov, dôvo-

dom čoho môže byť značná obtiažnosť spracovania matíc. Preto je táto problematika pre analytických chemikov neustále aktuálna.

Zoznam skratiek

ECD	detektor s elektrónovým záchytom
FID	plameňovoionizačný detektor
MECC	micelárna elektrokinetická chromatografia
CE	kapilárna elektroforéza
LIF	laserom indukovaná fluorescencia
RP	reverznefázový
NP	normálnefázový
DAD	detektor s diódovým poľom
SFE	superkritická fluidná extrakcia
IPA	2-propanol
ACN	acetonitril
THF	tetrahydrofuran

Táto práca vznikla za podpory VEGA projektu č. 1/6222/99 a grantu UK č. 66/2001/UK.

LITERATÚRA

1. Cremlin R.: *Pesticidy*. SNTL, Praha 1985.
2. Pacák J.: *Úvod do studia organické chemie*. SNTL, Praha 1982.
3. Williams A.: *Agrochemical Chirality*. Agrow Reports DS70, str. 41. PJB Publications, Richmond 1992.
4. Matsumura F.: *6th IUPAC Congress of Pesticide Chemistry, Ottawa, 10–15 August 1986* (Greenhalgh R., Roberts T. R., ed.), str. 155. Blackwell Scientific Publications, Oxford 1987.
5. Buser H. P., Francotte E., v knihe: *Chiral Separations: Applications and Technology* (Ahuja S., ed.), str. 119. American Chemical Society, Washington, D.C. 1997.
6. Casida J. E., Ruzo L. O.: *Pestic. Sci.* **11**, 257 (1980).
7. Demoute J. P.: *Pestic. Sci.* **27**, 375 (1989).
8. Tvendten S.: *The Best Control*, 2. vyd. na CD ROM; www.safe2use.com/pests/lice/poisons.htm; 10.2.2001.
9. Vijverberg H. P. M., Vandenbergcken J.: *Crit. Rev. Toxicol.* **21**, 105 (1990).
10. Aldridge W. N.: *Crit. Rev. Toxicol.* **21**, 89 (1990).
11. Ray D. E., v knihe: *Handbook of Pesticide Toxicology* (Hayes W. J., Laws E. R., ed.), str. 585. Academic Press, San Diego 1991.
12. Ray D. E., Forshaw P. J.: *Clinical Toxicology* **38**, 95 (2000).
13. Papadopoulou-Mourkidou E.: *Anal. Methods Pestic. Plant Growth Regul.* **16**, 179 (1988).
14. Yoshioka H., Miyamoto J.: *Kagaku-to-Seibutu (Chemistry and Biology)* **14**, 427 (1976).
15. Miyamoto J., Yoshioka H.: *Kagaku-to-Seibutsu (Chemistry and Biology)* **14**, 549 (1976).
16. Dombek V.: *Chem. Listy* **82**, 1163 (1982).
17. Wan H. B., Wong M. K., Lim P. Y., Mok C. Y.: *J. Chromatogr.*, A **662**, 147 (1994).
18. Navickiene S., Kato M. H., Polese L., Minelli E. V., Riberio M. L.: *Fresenius' J. Anal. Chem.* **360**, 252 (1998).
19. Jin H., Webster G. R. B.: *Fresenius' J. Anal. Chem.* **360**, 573 (1998).
20. Hadfield T., Sadler J. K., Bolygo E., Hill I. R.: *Pestic. Sci.* **34**, 207 (1992).
21. Nakamura Y., Tonogai Y., Tsumura Y., Ito Y.: *J. Assoc. Off. Anal. Chem.* **76**, 1348 (1993).
22. Woin P.: *Sci. Total. Environ.* **156**, 67 (1994).
23. Pang G. F., Fan C. L., Chao Y. Z., Zhao T. S.: *J. Assoc. Off. Anal. Chem.* **77**, 738 (1994).
24. Pang G. F., Chao Y. Z., Fan C. L., Zhang J. J., Li X. M.: *J. Assoc. Off. Anal. Chem.* **78**, 1481 (1995).
25. Class T. J., Kintrup J.: *Fresenius' J. Anal. Chem.* **340**, 446 (1991).
26. Simonaitas R. A., Cail R. S.: *Chromatographia* **18**, 556 (1984).
27. Bland P. D.: *J. Assoc. Off. Anal. Chem.* **68**, 592 (1985).
28. Ogierman L., Sobocik A.: *Chem. Anal. (Warsaw)* **36**, 97 (1991).
29. Gutiérrez A. F., Vidal J. L. M., Liébanas F. J. A., Casado A. G., Vilchez J. L.: *Fresenius' J. Anal. Chem.* **360**, 568 (1998).
30. Vilchez J. L., Espinosa P., Arrebola F. J., Casado A. G.: *Anal. Sci.* **13**, 817 (1997).
31. Cayley G. R., Simpson B. W.: *J. Chromatogr.*, A **356**, 123 (1986).
32. Papadopoulou-Mourkidou E., Iwata Y., Gunter F.: *J. Agric. Food Chem.* **31**, 629 (1983).
33. Mao J., Erstfeld K. M., Fackler P. H.: *J. Agric. Food Chem.* **41**, 596 (1993).
34. Meinard C., Bruneau P., Roche M.: *J. Chromatogr.*, A **349**, 105 (1985).
35. Meinard C., Bruneau P., Perronnet J.: *J. Chromatogr.*, A **349**, 109 (1985).
36. Ashraf S., Bartle K. D., Clifford A. A., Davies I. L., Moulder R.: *Chromatographia* **30**, 618 (1990).
37. Nishikawa Y.: *Anal. Sci.* **7**, 637 (1991).
38. Nishikawa Y.: *Anal. Sci.* **8**, 817 (1992).
39. Ševčík J., Lemr K., Stránský Z., Večeřa T., Hlaváč J.: *Chirality* **9**, 162 (1997).
40. Corbini G., Biondi C., Proietti D., Dreassi E., Corti P.: *Analyst* **118**, 183 (1993).
41. Hernández P., Vicente J., Hernández L.: *Fresenius' J. Anal. Chem.* **334**, 550 (1989).
42. Coomber D. C., Tucker D. J., Bond A. M.: *Anal. Chem.* **68**, 1267 (1996).
43. Raju R. V. P., Naidu R. R.: *J. Assoc. Off. Anal. Chem.* **77**, 748 (1994).
44. Karcher A., El Rassi Z.: *Electrophoresis* **18**, 1173 (1997).
45. Karcher A., El Rassi Z.: *Electrophoresis* **21**, 2043 (2000).
46. Dombek V.: *J. Chromatogr.* **545**, 427 (1991).
47. Coly A., Aaron J. J.: *Analyst* **119**, 1205 (1994).
48. Hill A. S., McAdam D. P., Edward S. L., Skerritt J. H.: *J. Assoc. Off. Anal. Chem.* **41**, 2011 (1993).
49. Wengatz I., Stoutamire D. W., Gee S. J., Hammock B. D.: *J. Agric. Food Chem.* **46**, 2211 (1998).
50. Di Muccio A., Pelosi P., Barbini D. A.: *J. Chromatogr.*, A **833**, 19 (1999).
51. Wang I.-H., Subramanian V., Moorman R., Burleson J., Ko J.: *J. Chromatogr.*, A **766**, 277 (1997).
52. Wintersteiger R., Ofner B., Juan H., Windisch M.: *J. Chromatogr.*, A **660**, 205 (1994).

53. Haddad P. R., Brayan J. G., Sharp G. J., Dilli S.: *J. Chromatogr.*, A 461, 337 (1989).
54. Frenich A. G., Galera M. M., Vidal J. L. M., García M. D. G.: *J. Chromatogr.*, A 727, 27 (1996).
55. Galera M. M., Vidal J. L. M., Frenich A. G., García M. D. G.: *J. Chromatogr.*, A 727, 39 (1996).
56. Atienza J., Jiménez J. J., Bernal J. L., Martín M. T.: *J. Chromatogr.*, A 655, 95 (1993).
57. Kutter J. P., Class T. J.: *Chromatographia* 33, 103 (1992).
58. Brouwer E. R., Struys E. A., Vreuls J. J., Brinkman U. A. T.: *Fresenius' J. Anal. Chem.* 350, 487 (1994).
59. Harbin D. N.: *J. Assoc. Off. Anal. Chem.* 78, 1335 (1995).
60. Bissacot D. Z., Vassilieff I.: *Vet. Human. Toxicol.* 39, 6 (1997).
61. Bissacot D. Z., Vassilieff I.: *J. Anal. Toxicol.* 21, 397 (1997).
62. Pavan F. A., Dallago R. M., Zanella R., Martins A. F.: *J. Agric. Food Chem.* 47, 174 (1999).
63. Pang G. F., Chao Y. Z., Liu X. S., Fan C. L.: *J. Assoc. Off. Anal. Chem.* 78, 1474 (1995).
64. Románová K.: *Diplomová práca*. PriF UK, Bratislava 2000.
65. Košická M.: *Diplomová práca*. PriF UK, Bratislava 2001.
66. Díaz A. N., Sánchez F. G., Pareja A. G.: *J. Chromatogr. Sci.* 36, 210 (1998).
67. Edwards D. P., Ford M. G.: *J. Chromatogr.*, A 777, 363 (1997).
68. Koppen B.: *J. Assoc. Off. Anal. Chem.* 77, 810 (1994).
69. Rieger S.: *Acta Univ. Palacki, Olomouc, Fac. Rerum Nat., Chem.* 29, 111 (1990).
70. Davidyuk E. I., Demchenko V. F., Klisenko M. A.: *J. Anal. Chem. (Moscow)* 52, 1058 (1997).
71. Lemr K., Ševčík J., Friedecký D., Jonaková A., Jirovský D.: *Acta Univ. Palacki, Olomouc, Fac. Rerum Nat., Chem.* 38, 41 (1999).
72. Dondi M., Flieger M., Olšovská J.: *J. Chromatogr.*, A 859, 133 (1999).
73. Lissetter S. G., Hambling S. G.: *J. Chromatogr.*, A 539, 207 (1991).
74. Ói N., Kitahara H., Kira R.: *J. Chromatogr.*, 515, 441 (1990).
75. Welch Ch. J., Szczerba T.: *Enantiomer* 3, 37 (1998).
76. Sánchez F. G., Díaz A. N., Pareja A. G.: *J. Chromatogr.* 754, 97 (1996).
77. Mourot D., Delépine B., Boisseau J., Gayot G.: *J. Chromatogr.*, A 168, 277 (1979).
78. Sapiets A., Swaine H., Tandy M. J., v knihe: *Analytical Methods for Pesticides and Plant Growth Regulators XIII: Synthetic Pyrethroids and Other Pesticides* (Yweig G., Sherma J., ed.), str. 33. Academic Press, Orlando 1984.

K. Románová and M. Hutta (*Department of Analytical Chemistry, Faculty of Natural Sciences, Comenius University, Bratislava, Slovak Republic*): **HPLC Analysis of Pyrethroids**

Applications of HPLC and determination of pyrethroids in different matrices (soil, water, air, fruits, vegetables and others) are reviewed. Their analysis still attracts attention due to their wide use as both household and industrial insecticides on one hand and controversial nature of their use on the other. From the analytical point of view, the problems lie in difficult separation of enantiomers and diastereoisomers because almost all pyrethroids are chiral compounds with 1–4 chirality centers.

Zavedená farmaceutická firma hledá do výzkumného oddělení

absolventy VŠ–specialisty

na vývoj a validace analytických metod (HPLC, GC, titrace). Praxe v oboru a znalost AJ nutná.

Žádosti s profesním životopisem zašlete na
Interpharma Praha, a.s., Komorská 955, 143 10 Praha 12,
fax 02/41 77 32 35, e-mail: interpharma@interpharma-praha.cz,
www.interpharma-praha.com

LABORATORNÍ PŘÍSTROJE A POSTUPY

CHEMILUMINISCENČNÍ PRŮTOKOVÉ STANOVENÍ DUSIČNANŮ VE VODĚ

PAVEL MIKUŠKA a ZBYNĚK VEČEŘA

*Ústav analytické chemie, Akademie věd České republiky, Veverí 97, 611 42 Brno
e-mail: mikuska@iach.cz*

Došlo dne 26.IX.2001

Klíčová slova: dusičnan, fotolýza, FIA, chemiluminiscence, voda

Úvod

Dusičnany jsou důležitou součástí dusíkového cyklu ve spodních a povrchových vodách¹ a společně se sírany tvoří i dominantní anorganickou složku tzv. kyselých srážek². Vzhledem k potenciálnímu škodlivému dopadu dusičnanů na lidské zdraví se stanovují zejména v pitné vodě a potravinách. U lidí je toxicita dusičnanů důsledkem redukce na dusitanы *in vivo*; dusitanы reakcí s hemoglobinem tvoří methemoglobin, jehož obsah v krvi je limitující pro schopnost krve transportovat kyslík³. Kromě toho mohou být v lidském těle dusitanы konvertovány na karcinogenní nitrosaminy^{3,4}.

V současné době se pro stanovení dusičnanů ve vodě používají spektrofotometrické^{5,6}, elektrochemické^{7,8}, separační^{9–11} nebo průtokové metody^{12–19}. Pro rutinní analýzy velkých sérií vzorků se používá nejčastěji tzv. průtoková injekční analýza (FIA), metoda, která je instrumentačně jednoduchá, značně flexibilní, vyznačuje se vysokou rychlostí, spolehlivostí a reprodukovatelností analýz²⁰. Metody FIA používané pro stanovení dusičnanů jsou založeny převážně na konverzi

dusičnanu na dusitan, který se stanovuje spektrofotometricky jako produkt diazotačně-kopulační reakce^{13–17}. Dusičnan lze redukovat na dusitan hydrazinem v přítomnosti měďnatých iontů¹⁹, většinou se však k redukci využívá poměděné kadmiu^{13–18}. V reduktoru s takto upraveným kadmiem lze dosáhnout téměř 100 % konverze dusičnanu na dusitan, avšak k dlouhodobému zajištění vysoké účinnosti reduktoru je nutné kadmiu pravidelně promývat a kondicionovat. Problematická je i likvidace toxického odpadu. Výše zmíněné nevýhody byly řešeny fotolytickou konverzí dusičnanu na dusitan^{10,21–23}. Omezením dosud popsaných fotokonvertorů je nízký stupeň konverze dusičnanu na dusitan ve vodě. Ke zvýšení účinnosti konverze je nutné používat speciální pufry a aktivátory.

V tomto příspěvku je popsáno průtokové stanovení dusičnanu ve vodě, které využívá fotolytickou konverzi dusičnanu na dusitan bez přítomnosti aktivátorů, přičemž vzniklý dusitan je stanoven chemiluminiscenčně²⁴.

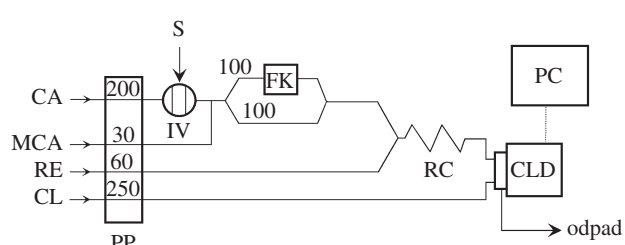
Experimentální část

Aparatura a postup

Schéma systému FIA je na obrázku 1. Reakční roztoky a nosná kapalina (deionizovaná voda) jsou transportovány peristaltickými pumpami. Vzorek je nasáván přes iontoměnič (katex) do šesticevného dávkovačního ventilu a je dávkováno 100 µl do proudu deionizované vody. Nosná kapalina s dávkovaným vzorkem je po smíchání s modifikátorem (alkalický roztok siřičitanu) rozdělena do dvou proudů. První proud prochází fotokonvertorem, kde je dusičnan redukován on-line na dusitan a druhý je veden krátkou kapilárou (by-pass) do T-kusu, v němž se oba proudy spojují. Výsledný roztok je smícháván s kyselým roztokem peroxidu vodíku, který oxiduje dusitan na kyselinu peroxodusitou. Uvnitř chemiluminiscenčního (CL) detektoru kyselina peroxodusitá reaguje s alkalickým roztokem luminolu a emitované chemiluminiscenční záření je detegováno fotonásobičem²⁴. Při průchodu vzorku detektorem jsou registrovány dva páky, první odpovídá dusitanu původně přítomnému ve vzorku a druhý sumě původního dusitanu a dusitanu vzniklého redukcí dusičnanu. Koncentrace dusičnanu ve vzorku je vypočítána z rozdílu obou signálů.

Konvertor dusičnanu

Fotolytický konvertor dusičnanu obsahuje nízkotlakou rtuťovou lampu (3 W, 8 mm vnější průměr × 60 mm délka, typ NRV 2-I, Teslamp Praha), která ozařuje 4 kapiláry z křemenitého skla umístěné symetricky kolem podélné osy lampy. Do série propojené kapiláry (tavený křemen po odstranění ochranné polyimidové vrstvy, vnitřní průměr 750 µm, délka jedné kapiláry 55 mm) jsou fixovány ve vzdálenosti 2 mm od křemenné baňky lampy. Účinnost konverze byla zvýšena použitím reflexních hliníkových fólií umístěných za křemennými kapilárami ve směru od zdroje UV záření.



Obr. 1. Schéma FIA systému pro stanovení dusičnanů ve vodě; CA – nosná kapalina (deionizovaná voda), MCA – modifikátor nosné kapaliny (alkalický roztok siřičitanu), CL – chemiluminiscenční roztok (alkalický roztok luminolu), RE – roztok činidla (kyselý roztok H₂O₂), S – vzorek, IV – injekční ventil, RC – reakční smyčka, CLD – chemiluminiscenční detektor, FK – fotolytický konvertor; PC – počítač, PP – peristaltická pumpa; průtoky jednotlivých kapalin jsou uvedeny v µl·min⁻¹

Referenční metoda

Jako referenční metoda při analýze dusičnanů v reálných vzorcích vod byla použita nízkotlaká kapalinová chromatografie. Dusičnany byly separovány od dusitanů na koloně s anexem (Dowex 2-X-8, 400 mesh, 1,6 mm × 13 mm), separované ionty byly stanoveny spektrofotometricky v UV oblasti při 210 nm. Jako eluent byl použit 0,08 M-B₄O₇²⁻ (pH 7,1), průtoková rychlosť eluentu byla 0,10 ml·min⁻¹.

R e a g e n c i e

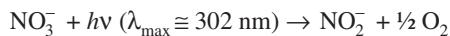
Roztoky byly připravovány z destilované-deionizované vody. Všechny chemikálie s výjimkou luminolu (čistý; Serva Heidelberg, Německo) byly analyticky čisté (Lachema, Brno).

Kolona s katem (vrstva 1,6 mm × 1 mm) byla naplněna Dowexem^R 50W-X₂ (200–400 mesh) v H⁺ formě (Bio-Rad, Richmond, USA).

Výsledky a diskuse

R e d u k c e d u s i č n a n u

Fotoredukce dusičnanu indukovaná absorpcí UV záření umožňuje elegantní způsob konverze dusičnanu na dusitan²⁵. Přestože je fotolýza dusičnanu poměrně komplikovaný proces zahrnující mnoho reakcí, výslednou reakci lze popsat jednoduchou stechiometrickou rovnici^{26,27}.



Při hledání optimálních podmínek pro UV redukci dusičnanu byla zpočátku používána teflonová kapilára (vnitřní průměr 0,75 mm, vnější průměr 1,10 mm, délka 18–50 cm) obtočená ve tvaru spirály kolem rtuťové lampy. Při použití deionizované vody jako nosné kapaliny nebyla pozorována žádná konverze dusičnanu. V přítomnosti fosfátového pufru (0,1 M, pH 6,8) bylo konvertováno 28 % dusičnanu na dusitan (PTFE hadička o délce 30 cm). Po přídavku aktivátoru (0,001 M-EDTA) do fosfátového pufru účinnost konverze dusičnanu (poměr signálů ekvimolárních koncentrací dusičnanu po průchodu přes UV konvertor a dusitanu bez průchodu přes UV) vzrostla na 52 %. Ačkoliv účinnost konverze dusičnan–dusitan je relativně vysoká, přítomnost aktivátoru a pufru není kompatibilní s použitým chemiluminiscenčním způsobem detekce dusitanu a omezuje detekční limit metody na 1.10⁻⁶ M (3 S/N).

V další fázi byl pro fotoredukci dusičnanu vyvinut a studován systém obsahující křemenné kapiláry (popsaný v experimentální části). Účinnost konverze dusičnanu na dusitan závisí především na intenzitě UV záření a době ozařování vzorku. Doba ozařování je funkcí průtokové rychlosti vzorku přes reduktor a použité křemenné kapiláry (délka, vnitřní průměr kapiláry, počet kapilár). Na obr. 2 je znázorněna konverze dusičnanu na dusitan v závislosti na počtu křemenných kapilár o vnitřním průměru 750 μm pro průtokovou rychlosť vzorku přes fotoreduktoru 60 a 100 μl·min⁻¹. Pro další experimenty byly pro redukci dusičnanu zvoleny 4 kapiláry a průtoková rychlosť vzorku přes reduktoru 100 μl·min⁻¹. Bylo

zjištěno, že konverze dusičnanu závisí významně také na pH roztoku. Při pH 7 (deionizovaná voda) je konvertováno pouze 10 % dusičnanu na dusitan, s rostoucím pH roztoku účinnost konverze roste a při pH 12,5 je konvertováno na dusitan 35 % dusičnanu. Předpokládá se, že tato poměrně nízká účinnost konverze dusičnanu na dusitan je způsobena zpětnou rekomplikací fotolýzou vzniklého dusitanu a rozpuštěného kyslíku pod UV lampou²². Přídavkem siřičitanu do nosné kapaliny, který reaguje s rozpuštěným kyslíkem, se zvýšil výše konverze ve prospěch dusitanu. Optimální koncentrace siřičitanu je 0,002 mol·l⁻¹, účinnost konverze dusičnanu na dusitan vzrostla na 63 %.

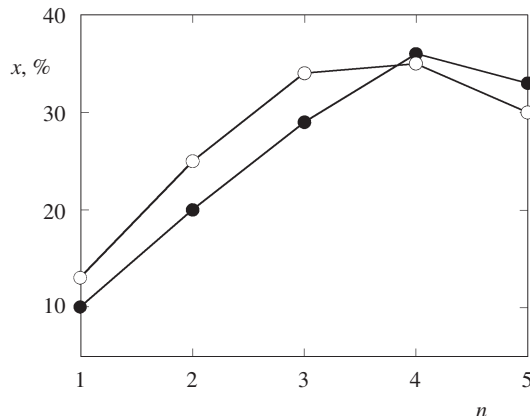
I n t e r f e r e n c e

Při stanovení dusitanu na základě chemiluminiscenční reakce peroxodusitanu s luminolem interferují různé kationty a anionty²⁴. Interference kationtů je eliminována prosáváním vzorku přes kolonu s katem umístěnou na vstupu vzorku do dávkovačho ventilu. Běžné anionty, jako jsou chloridy, hydrogenuhličitan, fosforečnan, sírany, hydrogensíratan a bromidy v koncentraci 10⁻⁷–10⁻⁴ M stanovení dusičnanu na vrženým postupem neovlivňují. Pozitivní interferenci (20 %) vykazoval pouze chlornanový anion; to je důsledkem přímé reakce chlornanu s luminolem.

A n a l y t i c k á c h a r a k t e r i z a c e m e t o d y

Detekční limit stanovení dusičnanu je 2. 10⁻⁷ M (0,013 mg·l⁻¹ NO₃⁻) pro poměr signál/šum = 3. Citlivost metody tedy zcela vyhovuje pro stanovení dusičnanu v pitné vodě, ale i v dalších vzorcích povrchových vod (dle čs. normy je max. obsah dusičnanu v pitné vodě 50 mg NaNO₃, tj. ≈ 5.10⁻⁴ M). Kalibrační graf dusičnanu byl měřen v rozmezí 2.10⁻⁷–1.10⁻⁵ M, graf je lineární v celém studovaném rozsahu.

Stupeň konverze dusičnanu (63 %) je konstantní v celém studovaném rozsahu. Relativní standardní odchylka (*n* = 10), počítaná z výšky píků, je 2,3 % pro 1.10⁻⁶ M roztok dusičnanu a 1,6 % pro 5.10⁻⁶ M-NO₃⁻. Doba analýzy je 5 min.



Obr. 2. Závislost konverze dusičnanu *x* (%) na dusitan na počtu *n* křemenných kapilár a průtoku nosné kapaliny; 1.10⁻⁶ M-NO₃⁻; kapilára: vnitřní průměr 750 μm, délka 55 mm; průtok nosné kapaliny: ● 60 μl·min⁻¹, ○ 100 μl·min⁻¹

Tabulka I
Analýza dusičnanů v různých vodách

Vzorek vody	Koncentrace dusičnanů [mg.l ⁻¹] ^a	
	A	B
Pitná voda I	24,6	21,1
Pitná voda II	39,3	34,8
Studna I	105,8	107,2
Studna II	63,1	61,5
Minerální voda Mattoni	0,71	0,22
„Dobrá voda“	0,07	0,09
Stolní voda JASO	9,8	10,3
Dešťová voda	0,65	0,69
Spodní voda	95,2	91,5
Říční voda (Svratka)	23,2	21,8

^a A – navržená metoda, B – referenční metoda (LC)

Analýza reálných vzorků

Navržená metoda byla použita při stanovení dusičnanů v různých vzorcích vod. Vzorky byly paralelně analyzovány i referenční chromatografickou metodou. Výsledky uvedené v tabulce I ilustrují dobrou shodu výsledků mezi navrženou a referenční metodou.

Závěr

Je popsána jednoduchá a rychlá metoda FIA umožňující automatizované a citlivé stanovení dusičnanu v pitné, podzemní i povrchové vodě. Metoda je založena na kombinaci fotolytické on-line konverze dusičnanu v krémenné kapiláře a následného chemiluminiscenčního stanovení vzniklého dusitanu. Fotolytická konverze nabízí ekologický způsob stanovení dusičnanu ve srovnání s metodou založenou na redukci dusičnanu na koloně s poměrněm kadmium.

Detectní limit dusičnanu je 2×10^{-7} M, kalibrační křivka je lineární do 1×10^{-5} M. Účinnost konverze dusičnanu na dusitan je 63 %. Metodu lze použít pro současné stanovení dusičnanu a dusitanu ve vodě.

Tato práce byla podporována Grantovou agenturou Akademie věd ČR v rámci projektu IAA4031105, grantem 203/98/0943 Grantové agentury ČR a grantem č. EVK2-CT-1999-0052 SUB-AERO of 5th Framework Program Commission of the European Communities.

LITERATURA

- Puckett L. J.: Environ. Sci. Technol. 29, 408A (1995).
- Radojević M.: Atmos. Environ. 20, 1309 (1986).
- Knotek Z., Schmidt P.: *Dusičnanová alimentární méthémoglobinémie*. Statní zdravotnické nakladatelství, Praha 1965.
- Bruning-Fann C. S., Kaneene J. B.: Vet. Hum. Toxicol. 35, 521 (1993).
- Scheiner D.: Water Res. 8, 835 (1974).
- West P. W., Ramachandran T. P.: Anal. Chim. Acta 35, 317 (1966).
- Langmaier J.: Chem. Listy 84, 697 (1989).
- Nygaard D. D.: Anal. Chim. Acta 130, 391 (1981).
- Mou S., Wang H., Sun Q.: J. Chromatogr. 640, 161 (1993).
- Lookabaugh M., Krull I. S.: J. Chromatogr. 452, 295 (1988).
- Okembo A. A., Hill H. H., Siems W. F., Metcalf S. G.: Anal. Chem. 71, 2725 (1999).
- Elliot C. L., Snyder G. H., Cisar J. L.: Commun. Soil Sci. Plant Anal. 20, 1873 (1989).
- Anderson L.: Anal. Chim. Acta 110, 123 (1979).
- Oms M. T., Cerdà A., Cerdà V.: Anal. Chim. Acta 315, 321 (1995).
- Giné M. F., Bergamin H. F., Zagatto E. A. G., Reis B. F.: Anal. Chim. Acta 114, 191 (1980).
- van Staden J. F.: Anal. Chim. Acta 138, 403 (1982).
- Maimó J., Cladera A., Mas F., Forteza R., Estela J. M., Cerdà V.: Int. J. Environ. Anal. Chem. 35, 161 (1989).
- Pai S. C., Riley J. P.: Int. J. Environ. Anal. Chem. 57, 263 (1994).
- Kamphake L. J., Hannah S. A., Cohen J. M.: Water. Res. 1, 204 (1967).
- Růžička J., Hansen E. H.: Anal. Chim. Acta 114, 19 (1980).
- Takeda K., Fujiwara K.: Anal. Chim. Acta 276, 25 (1993).
- Motomizu S., Sanada M.: Anal. Chim. Acta 308, 406 (1995).
- Martínez Calatayud J. M., García Mateo J. V. G., David V.: Analyst 123, 429 (1998).
- Mikuška P., Zdráhal Z., Večeřa Z.: Anal. Chim. Acta 316, 261 (1995).
- Daniels M., Meyers R. V., Belardo E. V.: J. Phys. Chem. 72, 389 (1968).
- Mack J., Bolton J. R.: J. Photochem. Photobiol., A 128, 1 (1999).
- Mark G., Korth H. G., Schuchmann H. P., von Sonntag C.: J. Photochem. Photobiol., A 101, 89 (1996).

P. Mikuška and Z. Večeřa (*Institute of Analytical Chemistry, Academy of Sciences of the Czech Republic, Brno*): **Chemiluminescent Flow Determination of Nitrates in Water**

A fast and simple flow-injection method for sensitive automated determination of nitrates in various water samples is described. The method is based on the on-line photolytic conversion of nitrate in a quartz capillary to nitrite, which is determined by a chemiluminescent reaction. The photolytic conversion provides ecological detection of nitrate as compared with nitrate reduction at copperized cadmium.

The detection limit is 2×10^{-7} M nitrate, the calibration curve is linear to 1×10^{-5} mol.l⁻¹. The efficiency of conversion of nitrate to nitrite is 63 %. The method is usable for the simultaneous determination of nitrate and nitrite in water.

OPTIMALIZACE METODY HPLC PRO STANOVENÍ AMPROLIA V KRMIVECH PRO OBSAHY MENŠÍ NEŽ 5 mg.kg⁻¹ S POSTKOLONOVOU DERIVATIZACÍ

LÝDIE DUDÍKOVÁ^a, DANUŠE NENÁHLOVÁ^a,
ALENA BREBURDOVÁ^a a MICHAL DOUŠA^b

^aÚstřední kontrolní a zkušební ústav zemědělský Brno, ^aRegionální laboratorní oddělení Praha, Za opravnou 4, 150 06 Praha, ^bRegionální laboratorní oddělení Plzeň, Slovenská alej 20, 317 60 Plzeň
e-mail: lydie.dudikova@lo.zeus.cz, michal.dousa@lo.zeus.cz

Došlo dne 4.III.2002

Klíčová slova: HPLC, amprolium, krmivo, optimalizace metody

Úvod

Amprolium (obr. 1, I), 1-[4-amino-2-propylpyrimidin-5-yl]-methyl]-2-methylpyridinium-chlorid, se používá jako účinné antikokcidikum ve výkrmu kuřat a krůt a odchovu kuřic a bažantů řádově v obsazích 62,5–125 mg.kg⁻¹ finálního krmiva¹; ochranná lhůta je 3 dny.

Stanovení amprolia v krmivech, které bylo také zapracováno do metod sdržených Association of Official Analytical Chemists (AOAC), bylo založeno na práci Szalkowského^{2,3}. Kritické zhodnocení této práce v roce 1970 bylo publikováno Brügemannem⁴, který později použil k přečištění extraktu kolonové chromatografie na iontoměničích. Pozdější modifikace metody, která byla testována na krmných směsích, byla popsána Severjinensem⁵. Ze zkušebního vzorku krmiva se amprolium extrahuje směsí methanol/voda (2/1) a po úpravě pH hydroxidem sodným na hodnotu pH 8 je reextrahováno do dichlormethanu a následně je tento extrakt přečištěn na kyselém oxidu hlinitém. Amprolium se po reakci v alkalickém prostředí hydroxidu sodného s 2,7-dihydroxytafalenem za přítomnosti kyanidu draselného a hexakyanoželezitanu draselného stanoví spektrofotometricky při 530 nm. Směrodatná odchylka stanovení byla vypočtena na 4 % relat. a nebyly zjištěny žádné interference matrice. Výše popsána metoda byla zpracována rovněž do metodik (AOAC) (cit.⁶). Nevýhodou metody je vysoká hodnota slepého pokusu a nízký rozsah linearity⁵. Výtěžnost metody je silně závislá na kyselosti použitého oxidu hlinitého⁷. Fluorometrická metoda stanovení

amprolia založená na vzniku amprochromu reakcí s hexakyanoželezitanem draselným v přítomnosti hydroxidu sodného je rovněž oficiální metodu AOAC. Vzniklý fluoreskující derivát se extrahuje do butan-1-olu a měří se při 455 nm s excitační vlnovou délkou 400 nm (cit.⁸). Jsou-li přítomna antibiotika, dochází ke zkreslení výsledků. Polarografické stanovení amprolia v premixech popsali Stolejda a Růžička⁹. Amprolium je extrahováno ethanolem a po převedení do elektrolytu 0,1 M-HCl + 0,1 M-LiCl poskytuje katodickou vlnu v potenciálovém rozmezí od -0,8 V do -1,4 V (proti SKE). K vyhodnocení obsahu amprolia byla použita vzhledem k matrici vzorku metoda standardního přídavku.

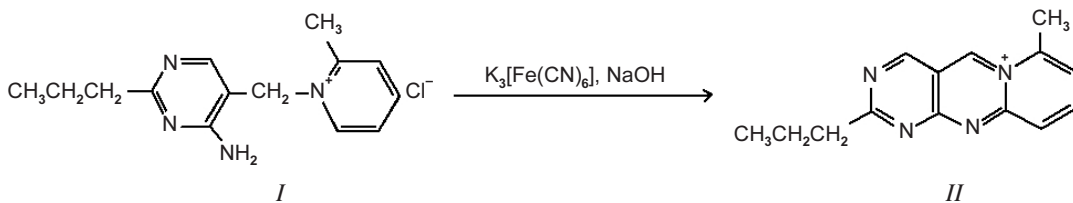
Ke stanovení amprolia v krmivech byly popsány metody HPLC, kdy k separaci amprolia byla použita iontová chromatografie¹⁰ nebo separace na normální fázi silikagelu¹¹. V roce 1988 byla publikována metoda, při níž bylo k separaci amprolia poprvé využito iontových páru (dioktyl-sulfosukcinát) na reverzní fázi C18 s UV detekcí při 270 nm (cit.¹²). Amprolium se extrahuje směsím rozpouštědlem methanol-voda (2/1) obsahujícím dioktyl-sulfosukcinát (5 mM) a chlorid vápenatý (10 mM). K přečištění extraktu se využívá tuhá fáze – kyselý oxid hlinitý. Výtěžnost metody byla vypočtena na 100,1 % a mezilaboratorní směrodatná odchylka stanovení vypočtená z mezilaboratorního porovnávacího testu je 3,2 %. Využití separace iontových páru s dioktyl-sulfosukcinátem bylo použito i v dalších metodách HPLC (cit.^{13,14}). Ke stanovení nízkých obsahů amprolia a jeho reziduí byla využita reakce amprolia s hexakyanoželezitanem draselným v přítomnosti hydroxidu sodného za vzniku fluoreskujícího derivátu – amprochromu (obr. 1, II). Reakce probíhá za kolonou, detekční limit je 3 µg.kg⁻¹ a metoda byla aplikována na stanovení amprolia ve vaječném žloutku¹⁵.

Na základě požadavků §7 zákona o krmivech¹⁶ Ministerstvo zemědělství České republiky ukládá i u výrobků uváděných do oběhu monitorování výskytu nežádoucích doplňkových látek, mezi něž patří amprolium. V souladu s koncepcí pro monitorování nežádoucích doplňkových látek bylo proto nutno vyvinout rychlou a spolehlivou analytickou metodu, která by byla dostatečně selektivní pro koncentrační hladiny amprolia v µg.kg⁻¹.

Experimentální část

Přístroje a zařízení

Extrakce vzorků byla provedena na laboratorní třepačce LT 2 (Laboratorní přístroje, Česká republika). Přečištění extraktu bylo provedeno na separační jednotce BAKER SPE 12G (J. T. Baker, USA) na kolonkách Sep-Pak Plus Cartridges Silica (Waters, Milford, USA). Zakonzentrování extraktu bylo



Obr. 1. Derivatizační reakce amprolia hexakyanoželezitanem draselným v prostředí hydroxidu sodného

Tabulka I
Podmínky HPLC

Parametr	Hodnota
Kolona	SymmetryShield RP ₈ , 4 µm, 3,9×150 mm
Průtok mobilní fáze	0,8 ml·min ⁻¹
Mobilní fáze	složení je uvedeno v textu
Průtok derivatizačního činidla	0,6 ml·min ⁻¹
Objem derivatizační smyčky	1000 µl
Teplota derivatizační smyčky	45±1 °C
Teplota kolony	laboratorní
Objem nástržku	10 µl
Detektor	fluorescenční excitační vlnová délka 365 nm, emisní vlnová délka 470 nm

Tabulka II
Výtěžnost metody – výsledky měření a vypočtené statistické parametry pro vzorky krmných směsí

Parametr	Hodnota
Očekávaná hodnota [mg·kg ⁻¹]	0,545
Nalezená hodnota [mg·kg ⁻¹]	2,145 5,095
Výtěžek metody [%]	0,570 2,163 5,132
Interval spolehlivosti	104,6 100,8 100,7
Relativní směrodatná odchylka [%]	2,110 3,700 1,850
	0,30 0,46 0,44

provedeno na koncentrátoru vzorků Termovap (ECOM, Česká republika). Odstředění extraktu bylo provedeno na laboratorní odstředivce Hermle Z 230 MR (Hermle, Gosheim, SRN). Všechna měření byla provedena na kapalinovém chromatografu, který se skládá z vysokotlaké pumpy W515, autosampleru W717 Plus Autosampler a fluorimetrického detektoru W470 (vše Waters, Milford, USA) a datastanice PC Compaq. Derivatizační smyčka RXN 1000 Coil Kit (Waters, Milford, USA) byla umístěna do termostatu Column Temperature Control Systém (Waters, Milford, USA) a byla zařazena mezi chromatografickou kolonu a detektor pomocí směšovací komůrky Mixer Cartridge 50 µl (Supelco, USA). K derivatizaci byla použita vysokotlaká pumpa W515 (Waters, Milford, USA). K separaci byla použita chromatografická kolona SymmetryShield RP₈, 4 µm, 3,9×150 mm (Waters, Milford, USA). pH roztoku bylo měřeno pH-metrem pH 526 (WTW, SRN) s kombinovanou skleněnou elektrodou a přístroj byl kalibrován na ftalátový pufr pH 4,01.

Chemikálie

Acetonitril a kyselina octová byly čistoty HPLC grade (J. T. Baker, USA), sodná sůl kyseliny hexan-1-sulfonové čistoty 98 % (Sigma-Aldrich, USA), triethylamin p.a. (FLUKA, Švýcarsko), dichlormethan, methanol, hydroxid sodný a hexakyanoželezitan draselný p.a. (Lachema Neratovice, Česká republika), kyselina fosforečná čistoty UltraPure (MERCK, SRN), demineralizovaná voda (Milli-Q systém, Millipore, Bedford, USA), základní roztok amprolia (Riedel-de-Haen, SRN).

Extrakční směs pro extrakci amprolia byla připravena smísením 100 ml methanolu a 900 ml dichlormethanu.

Mobilní fáze byla připravena smísením 80 ml acetonitrilu, 910 ml demineralizované vody, 5 ml kyseliny fosforečné a 5 ml triethylaminu. V mobilní fázi bylo rozpuštěno 1,42 g sodné soli kyseliny hexan-1-sulfonové (0,0075 mol·l⁻¹) a její pH bylo upraveno roztokem triethylaminu na hodnotu 3,0.

Derivatizační roztok k postkolonové derivatizaci byl připraven rozpuštěním 37,5 g hydroxidu sodného ve 200 ml vody, po přídavku 15 ml 1% roztoku hexakyanoželezitanu draselného ve vodě a vytemperování roztoku na laboratorní teplotu buď objem roztoku doplněn vodou na 250 ml.

Kalibrační roztoky o koncentraci 0,4; 0,8; 2,0 a 4,0 mg·l⁻¹ byly připraveny postupným řeďením základního roztoku amprolia v methanolu o koncentraci 200 mg·l⁻¹ mobilní fázi.

Princip metody

Amprolium se extrahuje ze vzorku extrakčním činidlem methanol–dichlormethan (100/900) a takto získaný extrakt se přečistí extrakcí na pevné fázi silikagelu. Amprolium se stanoví metodou vysokoúčinné kapalinové chromatografie na reverzní fázi C8 s iontovými páry s postkolonovou derivatizací hexakyanoželezitanem draselným v alkalickém prostředí hydroxidu sodného s fluorescenční detekcí. Metoda je použitelná pro obsahy amprolia od 0,1 mg·kg⁻¹.

Standardní operační postup

Vzorek se upraví homogenizací a mletím na částice o velikosti 0,5 mm tak, aby se zabránilo přehřátí vzorku. 45 g zkušebního vzorku se extrahuje 150 ml extrakční směsi 30 minut v kónické baňce objemu 500 ml na laboratorní třepačce a pak 2 minuty na ultrazvukové lázně; takto získaný extrakt se přečistí na pevné fázi silikagelu.

Přečištění extrakcí na pevné fázi

Na kolonku Sep-Pak Plus Silica kondicionovanou 5 ml extrakčního činidla se odměří 10,0 ml přefiltrovaného extraktu. Extrakt se nechá vsáknout tak, aby nedošlo k vyschnutí kolonky, poté se promyje 10 ml promývacího činidla. Kolonka se nechá 25 minut prosávat vzduchem do odstranění zbytků extrakčního roztoku. Amprolium se eluuje do odměrné baňky

objemu 2 ml mobilní fáze po značku. Takož připravený extrakt se odstředí 5 minut při $10\ 000\ \text{ot}.\min^{-1}$ a dávkuje se na chromatografickou kolonu. Podmínky pro HPLC jsou uvedeny v tabulce I.

Výsledky a diskuse

Správnost a přesnost

Vzhledem k tomu, že certifikované referenční materiály nejsou dostupné, byla správnost metody (těsnost shody získané hodnoty s hodnotou skutečnou) ověřena analýzou modelových vzorků. Byly připraveny modelové vzorky krmitva (45 % pšenice, 25 % ječmen, 12 % sojový extrahovaný šrot, 8 % maso-kostní moučka, 5 % úsušky pícnin a 5 % vápenec) s přídavkem amprolia o koncentrační hladině 0,5; 2,0 a $5,0\ \text{mg}.\text{kg}^{-1}$. Pro každou koncentrační hladinu byl vzorek analyzován 5x. Výsledky a vypočtené statistické parametry (hladina významnosti $P = 0,95$) jsou uvedeny v tabulce II. Celková výtěžnost metody pro koncentrační hladiny 0,5 až $5,0\ \text{mg}.\text{kg}^{-1}$ je $(102,0 \pm 5,5)\%$. Nalezené hodnoty modelového vzorku byly srovnány s očekávanými hodnotami pomocí lineární regrese. Očekávané hodnoty byly považovány za nezávisle proměnné, nalezené hodnoty za závisle proměnné. Konstanta a regresního vztahu (konstantní soustavná odchylka) má hodnotu $0,0186 \pm 0,0088$ a statisticky se neliší od nuly. Konstanta b regresního vztahu (proporcionální soustavná odchylka) má hodnotu $1,0031 \pm 0,0028$ a neliší se statisticky od jedničky. Metoda poskytuje správné výsledky.

Přesnost metody (míra těsnosti shody mezi vzájemně nezávislými výsledky zkoušek za předem specifikovaných podmínek) byla pouze omezena na výpočet opakovatelnosti, která byla vypočtena ze směrodatné odchylky rozpětí obou paralelních stanovení reálných vzorků, jejichž celkový počet byl 15. Po vyloučení odlehlych výsledků (Cochranův test) má pro obsahy amprolia od 0,1 do $5,0\ \text{mg}.\text{kg}^{-1}$ opakovatelnost hodnotu $0,10\ \text{mg}.\text{kg}^{-1}$.

Reprodukčnost metody nebylo možné stanovit bez provedení mezilaboratorních porovnávacích testů.

Při prekoncentraci amprolia na silikagelu byla sledována vhodnost použitého promývacího činidla (eluce interferentů), spotřeba desorpčního činidla a výtěžek extrakce na pevné fázi. K eluci interferentů bylo zvoleno extrakční činidlo. Polarita extrakčního činidla je dostatečná k odstranění interferentů a ani při objemu 15 ml činidla nedochází k desorci amprolia. Spotřeba desorpčního činidla (mobilní fáze) je patrná z elučního profilu amprolia z pevné fáze (obr. 2). Měřením bylo zjištěno, že k desorci amprolia postačuje 2 ml desorpčního činidla. Vliv matrice a obsahu tuku na desorci amprolia nebyl dále studován.

Optimalizace mobilní fáze

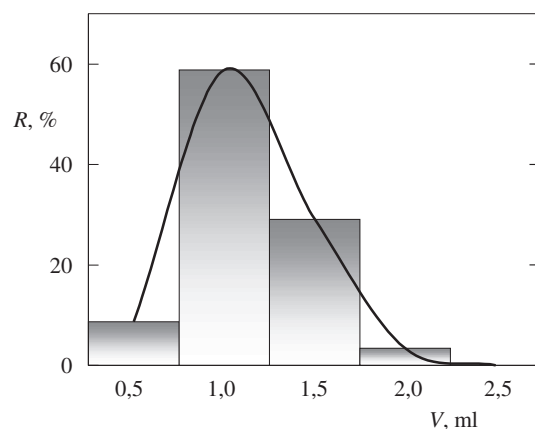
Mobilní fáze byla optimalizována tak, aby retenční faktor byl $k \geq 2,5$, počet teoretických pater $N \geq 5\ 000$ a asymetrický faktor $t_a \leq 1,3$ (obr. 3). Mrtvý retenční objem byl určen jako retenční objem acetonu po odečtení mimokolonových objemových příspěvků. Ve zkoumaných mobilních fázích byl sledován vliv koncentrace acetonitrilu, koncentrace iontového páru (protiontu) a pH mobilní fáze na retenční faktor.

Vliv koncentrace organického rozpouštědla φ (vyjádřený jako molární zlomek) v mobilní fázi na retenční faktor chromatografované látky k byl popsán rovnici¹⁷:

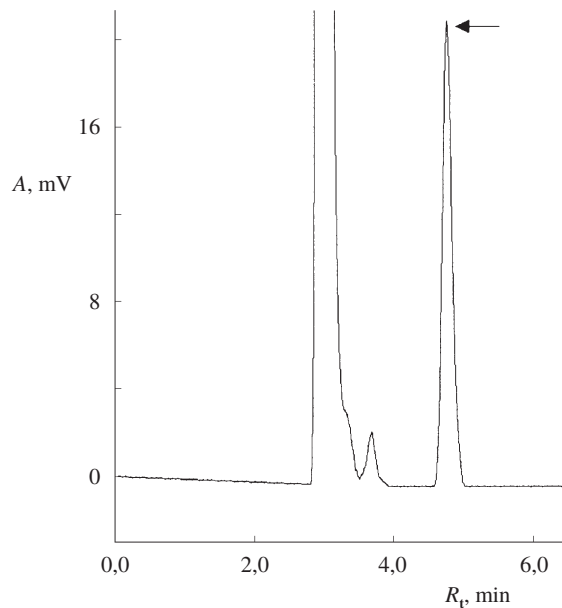
$$k = k_a 10^{-m\varphi}$$

kde k_a je retenční faktor v čisté vodě jako eluentu získaný extrapolací experimentálních údajů a m je parametr přímo závislý na sile organického rozpouštědla a povaze rozpouštěné látky. V logaritmické formě přejde rovnice na tvar

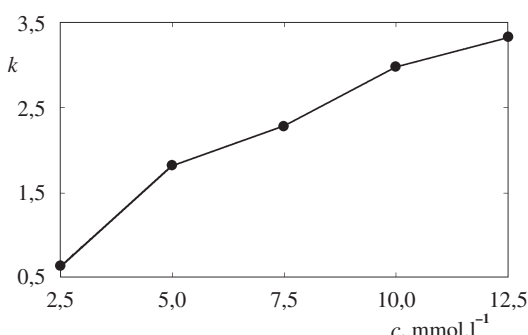
$$\log k = \log k_a - m\varphi$$



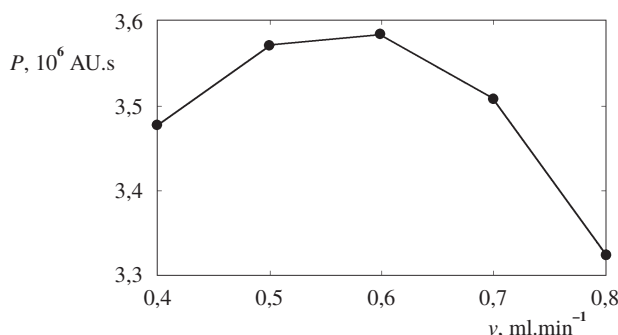
Obr. 2. Eluční profil amprolia na pevné fázi Sep-Pak Silica (výtěžnost R , objem desorpčního činidla V)



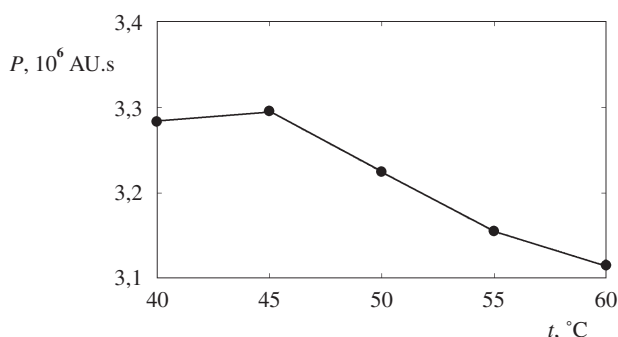
Obr. 3. Separace amprolia na chromatografické koloně SymmetryShield RP₈ (4 μm, 3,9×150 mm) s postkolonovou derivativací hexakyanězelezanem draselným v prostředí hydroxidu sodného. Podmínky HPLC jsou uvedeny v tabulce I. Vypočtené eluční charakteristiky: retenční faktor $k = 2,58$, asymetrický faktor $t_a = 1,22$, počet teoretických pater $N = 6\ 900$



Obr. 4. Vliv koncentrace (c) protiontu sodné soli hexan-1-sulfonové kyseliny v mobilní fázi na retenční faktor (k) amprolia



Obr. 5. Vliv průtoku (v) derivatizačního činidla na odezvu detektoru vyjádřenou jako plocha (P) píku amprolia



Obr. 6. Vliv teploty (t) derivatizační smyčky na odezvu detektoru vyjádřenou jako plocha (P) píku amprolia

a logaritmy retenčních faktorů se zvyšují s klesající koncentrací organického rozpouštědla v mobilní fázi. Experimentálně byla zjištěna lineární závislost mezi koncentrací acetonitrilu (v koncentračním rozmezí $\varphi = 0,06$ až $0,1$) a logaritmem retenčního faktoru, a rovnice pro mobilní fázi má potom tvar

$$\log k = 0,7736 - 7,1710 \varphi$$

Korelační koeficient $r = -0,9955$.

Vliv koncentrace protiontu na retenční faktor byl sledován pro koncentrace 2,5; 5,0; 7,5; 10 a 12,5 mmol.l⁻¹ sod-

né soli kyseliny hexan-1-sulfonové v mobilní fázi. Podle předpokladu retence amprolia roste s koncentrací protiontu (obr. 4). Jako optimální byla zvolena koncentrace protiontu 7,5 mmol.l⁻¹.

Při sledování vlivu pH mobilní fáze na retenční faktor amprolia bylo pH mobilní fáze upraveno vždy triethylaminem nebo kyselinou fosforečnou na požadovanou hodnotu. pH mobilní fáze v oblasti 2,5–3,5 nemá vliv na retenci amprolia, pouze dochází ke změně asymetrického faktoru, až ke štěpení píku amprolia.

Teplota separace nebyla optimalizována.

Linearita

Neznámé koncentrace byly vyhodnocovány z kalibrační přímky. Při výpočtu hodnot regresních koeficientů a, b se vycházel z platnosti modelu regresní závislosti, který předpokládá konstantní rozptyl pro všechny hodnoty závislé proměnné, použitím metody nejmenších čtverců. Rovnice kalibrační přímky má tvar:

$$A = (20\ 017 \pm 22\ 093) + (2\ 124\ 383 \pm 10\ 257) c$$

kde A je plocha píku, c je koncentrace (mg.l⁻¹), korelační koeficient $r = 0,99999$. Kalibrační přímka je lineární v rozsahu 4,0–40,0 µg.

Mez detekce a mez stanovitelnosti

Mez detekce a mez stanovitelnosti byly vypočteny z kalibračního modelu. Mez detekce odpovídá hodnotě koncentrace, pro kterou je dolní mez $(1-\alpha)$ -procentního intervalu spolehlivosti predikce signálu z kalibračního modelu rovna kritické úrovni a mez stanovitelnosti je nejmenší hodnota signálu, pro kterou je relativní směrodatná odchylnka predikce z kalibračního modelu dostatečně malá a obvykle se pokládá rovná hodnotě 0,1 (cit.¹⁸). Byly vypočteny následující hodnoty: mez detekce 0,045 mg.l⁻¹, tj. pro daný standardní operační postup 0,030 mg.kg⁻¹, a mez stanovitelnosti 0,086 mg.l⁻¹, tj. pro daný standardní operační postup 0,060 mg.kg⁻¹.

Optimalizace derivatizační reakce

Byl sledován vliv průtoku derivatizačního činidla a teploty na odezvu detektoru. Při průtoku mobilní fáze 0,8 ml.min⁻¹ je optimální průtok derivatizačního činidla 0,6 ml.min⁻¹ (obr. 5). Optimální teplota derivatizační smyčky je 45 °C, se zvyšující se teplotou odezva detektoru klesá (obr. 6). Vliv koncentrace hexakyanoželezitanu draselného a hydroxidu sodného nebyl studován.

Závěr

Metoda HPLC stanovení amprolia v krmivech poskytuje správné a přesné výsledky. Byla stanovena hodnota opakovatelnosti a výtěžnost metody pro koncentrační hladinu amprolia 0,1 až 5 mg.kg⁻¹. Metoda je rychlá a celková doba analýzy je asi 90 minut. Pro aplikaci metody v oblasti krmiv byla provedena optimalizace prekoncentrace a preseparace na pevné fázi Silica, a to z důvodu odstranění příslušných interferentů mat-

rice. Vzhledem k použití postkolonové derivatizace a fluorescenční detekce je metoda velmi selektivní.

LITERATURA

- Vyhláška č. 194/1996 Sb. Ministerstva zemědělství, kterou se provádí zákon o krmivech, ve znění pozdějších předpisů.
- Szalkowski C. R.: J. Assoc. Off. Anal. Chem. 48, 285 (1965).
- Szalkowski C. R., Schultze E. P.: J. Assoc. Off. Anal. Chem. 44, 5 (1961).
- Brügemann J., Schole J.: Landwirtsch. Forsch. 23, 67 (1970).
- Severinen M., Buyzen-Satijn A. M.: Analyst 100, 328 (1975).
- Official Methods of Analysis of the Association of Official Analytical Chemists* (Cunniff P., ed.), 16. vyd., kap. 5, str. 3. AOAC, Arlington 1995.
- Davis E. J.: J. Assoc. Off. Anal. Chem. 51, 129 (1968).
- Official Methods of Analysis of the Association of Official Analytical Chemists* (Cunniff P., ed.), 16. vyd., kap. 5, str. 4. AOAC, Arlington 1995.
- Stolejda J., Růžička B.: Biologiz. Chemiz. Vyz. Zvir. 4, 353 (1968).
- Cox G. B., Lascombe C. R., Slucutt M. J., Sugden K., Upfield J. A.: J. Chromatogr. 117, 269 (1976).
- Cox G. B., Sugden K.: Analyst 101, 738 (1976).
- Kentzer E. J., Cottingham L. S., Smallidge R. L.: J. Assoc. Off. Anal. Chem. 71, 215 (1988).
- Nagata T., Saeki M.: J. Assoc. Off. Anal. Chem. 69, 941 (1986).
- Wehling R. L., Wetzel D. L.: J. Agric. Food Chem. 32, 1326 (1984).
- Leeuwen W., Gend van H. W.: Z. Lebensm.–Unters. Forsch. 186, 500 (1988).
- Zákon č. 91/1996 Sb., o krmivech, ve znění pozdějších předpisů.
- Berendsen G. E., Galan L.: J. Chromatogr. 196, 21 (1980).
- Meloun M., Militký J.: *Statistické zpracování experimentálních dat na osobním počítači*. FINISH, Pardubice 1992.

L. Dudíková^a, D. Nenáhlová^a, A. Breburdová^a, and M. Douša^b (*Central Institute for Supervising and Testing in Agriculture, ^aPrague and ^bPlzeň*): **Optimization of the HPLC Method with Postcolumn Derivatization for Determination of Amprolium in Fodders at Contents Lower than 5 mg.kg⁻¹**

An HPLC method was developed and validated for rapid determination of amprolium as an undesirable additive to final fodders. Amprolium is extracted from a sample with a mixture of methanol and dichloromethane and, after purification of the extract on a silica gel column, determined by ion-pair reverse-phase chromatography on C8 with fluorescent detection after postcolumn derivatization with potassium hexacyanoferrate (III) in alkaline medium. The separation of amprolium on the C8 reverse phase and its postcolumn derivatization were optimized. The limit of determination was 86 µg.kg⁻¹, the repeatability 0.1 mg.kg⁻¹ and the yield of the method was 102±5.5 % at amprolium concentrations 0.5–5 mg.kg⁻¹. The repeatability was determined on real samples of final fodders.

*Zavedená farmaceutická firma
(www.interpharma-praha.com)*

zabývající se výrobou API a vývojem vlastních produktů hledá do oddělení jištění jakosti (QA)

absolventy VŠ (SŠ)

na pozice inspektora QA a registračního pracovníka. Zkušenosti s kontrolou výrobní dokumentace, znalost tvorby DMF předností. Angličtina nezbytná, praxe v oboru vítána. Nástup možný ihned.

*Žádostí s profesním životopisem zašlete na adresu:
Interpharma Praha, a.s., Komorní 955, 143 10 Praha 12,
fax 02/41 77 32 35, e-mail: interpharma@interpharma-praha.cz*

VOLTAMETRICKÉ STANOVENÍ Cu, Pb, Cd, Zn a Tl POMOCÍ STŘÍBRNÉ PEVNÉ AMALGAMOVÉ ELEKTRODY*

BOGDAN YOSYPCHUK a LADISLAV NOVOTNÝ

*Ústav fyzikální chemie Jaroslava Heyrovského, Akademie věd České republiky, Dolejškova 3, 182 23 Praha 8
e-mail: josypcuk@jh-inst.cas.cz*

Došlo dne 10.I.2002

Klíčová slova: stříbrná pevná amalgamová elektroda, voltametri, těžké kovy, Cu, Pb, Cd, Zn, Tl

Úvod

Stanovení kovových iontů je nezbytnou součástí monitorování životního prostředí^{1–4}, sledování výskytu škodlivých látek a biogenních prvků v tělních tekutinách⁵, kontroly technologických procesů (například složení lázní pro elektrochemické pokovování) atd. Ve voltametrii se pro tyto účely nejčastěji používají stacionární rtuťová kapková elektroda (HMDE) (cit.^{6,7}), elektrody z ušlechtilých kovů^{8,8,9}, podle potřeby modifikované rtuťovým filmem^{10–12}, rtuťovým meniskem¹¹, biologicky aktivními látkami¹³, a dále kompozitní elektrody^{14,15} a elektrody z různých druhů uhlíku^{16,17} včetně uhlíkových pastových elektrod¹⁸. Využití různých elektrod je popsáno v přehledném článku¹⁹. Výsledkem odborně nezdůvodněné kampaně o vysoké toxicitě kovové rtuti je zmenšení rozsahu využívání HMDE v analytických laboratořích, ačkoliv se ne-rtuťové elektrody (vykazující podstatně menší přepětí vodíku a vyžadující mechanickou regeneraci svého povrchu) uplatňují pro stanovení kovových iontů daleko obtížněji, zvláště pokud jde o kovy vysoce elektronegativní. Jako alternativa HMDE, zejména při měření v terénu a v podmírkách, kde je použití kovové rtuti nemožné či nezádoucí, byly navrženy elektrody tužkového typu na základě netoxickejich pevných amalgámů různých kovů (MeSAE – metal solid amalgam electrode) (cit.^{20–23}).

V přehledném článku²⁴ jsou stručně popsány vyzkoušené možnosti použití MeSAE pro studium a sledování různých anorganických a organických látek. Nejvýznamnějšími přednostmi MeSAE (AgSAE, AuSAE, CuSAE aj.), zvlášť pokud jsou modifikované rtuťovým meniskem nebo rtuťovým filmem, jsou jak široký rozsah pracovních potenciálů²⁴ často srovnatelný s HMDE, tak výhradně elektrochemickou cestou prováděná regenerace povrchu, která je součástí měřicího programu, zajišťujícího tuto regeneraci automaticky. Pro analytické stanovení kovových iontů se dosud nejlépe osvědčila stříbrná pevná amalgamová elektroda modifikovaná rtuťovým meniskem (m-AgSAE). Tato elektroda se svým chováním (nedochází-li ke specifické interakci mezi stříbrem z elektrody a složkami roztoku) podobá HMDE; potenciály písků a proudy pozadí jsou na obou elektrodách téměř totožné. Tato skuteč-

nost dovoluje aplikovat analytické metodiky a postupy vypracované pro HMDE rovněž v případě m-AgSAE.

Elektrody z pevných amalgámů stříbra (stejně jako AuSAE, CuSAE aj.) považujeme za zcela netoxickej, ve skutečnosti představují čistší obdobu zubních amalgámů. Při modifikaci jejich povrchu rtuti je přitomné množství kovové rtuti velmi malé; náhodně je odstranit je obtížné, a navíc se rtuť vlivem podložky s časem mění v netoxickej pevný amalgám.

Cílem tohoto sdělení je informace o využití m-AgSAE v analýze vybraných kovových kationtů.

Experimentální část

R e a g e n c i e

Pro přípravu roztoků byla použita voda redestilovaná v křemenné aparatuře. Všechny použité chemikálie byly čistoty p.a. (Lachema, Brno).

A p a r a t u r a

Voltametrická měření byla prováděna s využitím počítacového Eco-Tribo Polarografu PC-ETP (Polaro-Sensors, Praha) v režimu diferenční pulzní voltametrii (DPV) při výšce pulzu 50 mV, šířce pulzu 100 ms a rychlosti scanu 20 mV.s⁻¹. Vlastní pracovní elektrodou byla rtuťovým meniskem modifikovaná stříbrná pevná amalgamová elektroda o průměru disku 0,54 mm, popř. obnovovaná stacionární rtuťová minielektroda tužkového typu UM μ E (cit.²⁵), obě dodávané firmou Polarosensors. Jako referenční sloužila nasycená kalomelová elektroda (SKE), vůči níž jsou uváděny všechny hodnoty potenciálů. Pomocnou elektrodu tvoril platinový drátek o průměru 1,0 mm a délce 7 mm. Vzdušný kyslík byl z roztoků odstraňován probubláním dusíkem. Měření byla prováděna při laboratorní teplotě.

P o p i s a p l i k a c e m e n i s k o v é p e v n é a m a l g a m o v é e l e k t r o d y

Pro úspěšnou aplikaci m-MeSAE jsou nutné tři základní operace: amalgamace, aktivace a regenerace.

Amalgamace MeSAE se provádí jednou týdně, nebo je-li třeba, kdykoliv dříve (například při zhoršení citlivosti či reprodukovatelnosti měření, při nepřítomnosti menisku kapalného amalgámu na povrchu elektrody apod.).

Do lahvičky (objemu 10–20 ml) se dá 1–2 ml kovové rtuti a 5–10 ml redestilované vody. Dolní část MeSAE se ponoří do rtuti a intenzivně se lahvičkou se rtutí přibližně 15 s míchá. Poté se lahvička vzduchotěsně uzavře a uloží na bezpečné místo před dalším použitím (uvezené množství rtuti stačí pro mnohaletou opakovou amalgamaci elektrody). MeSAE se opláchné redestilovanou vodou, zkонтroluje se (nejlépe pomocí lupy) přítomnost menisku rtuti na dolní části elektrody. Není-li přítomen, popsaná operace se opakuje.

Aktivace MeSAE (trvající asi 5 minut), se provádí vždy na začátku pracovního dne, po přestávce v měření delší než 1 hodina a po amalgamaci.

Během aktivace ($E_{aktivace} = -2200$ mV, $t_{aktivace} = 300$ s,

* Věnováno památce profesora Jaroslava Heyrovského u příležitosti 80. výročí objevu polarografické metody.

vzdušný kyslík se nevybublává) se z menisku (filmu) MeSAE odstraňují oxidy a adsorbované látky, čímž se zlepšuje citlivost a reprodukovatelnost následných měření. Nejdřív je třeba (nejlépe pomocí lupy) ověřit přítomnost menisku rtuti; není-li přítomen, provede se amalgamace. Do nádobky analyzátoru se dá 10 ml 0,2 M-KCl, v programu analyzátoru se otevře vzorek, kde jsou uloženy výše uvedené parametry aktivace (obvykle <Aktivace_AE.1>) a provede se jedno měření.

Regenerace MeSAE, trvající asi 30 s, se provádí v analyzovaném roztoku před každým měřením automaticky, a to vždy po spuštění měřicího programu; tím se dociluje dobré opakovatelnosti výsledků při obvyklé odchylce menší než 2–3 %. Parametry regenerace MeSAE jsou předdefinované v programu analyzátoru PC-ETP a jejich nastavení nebo změna se provádí v příslušném okně programu. Pro obnovení povrchu MeSAE postačí většinou vložit na elektrodu po dobu 20–30 s potenciál o 50–100 mV pozitivnější než potenciál vylučování vodíku nebo rozkladu základního elektrolytu. Při tomto potenciálu dochází k redukcii oxidů kovů tvořících pevný amalgám (v případě AgSAE jsou to Hg a Ag), jakož i k odstranění adsorbovaných látek. Současně s tím však probíhá akumulace většiny kovů přítomných v analyzovaném roztoku. Aby se zabránilo nekontrolovatelnému procesu této akumulace, zahrnuje měřicí program skokové změny potenciálu z negativních hodnot na pozitivnější, při nichž dochází k rozpouštění naakumulovaných kovů. Hodnota pozitivnějšího potenciálu regenerace by však neměla být taková, aby docházelo k rozpouštění materiálu elektrody nebo k rozkladu základního elektrolytu. Tak např. proces regenerace m-AgSAE v 0,4 M octanovém pufru o hodnotě pH 4,6–5,0 spočívá v aplikaci 50 polarizačních cyklů, při nichž se vždy po dobu 0,3 s vkládá na pracovní elektrodu střídavě 0 a –1300 mV.

Mineralizace vzorků

Organické látky obsažené v přírodních a odpadních vodách, ve výluzích z půd, v tělních tekutinách apod. mohou podstatně ovlivnit průběh voltametrického měření a výsledky analýzy. Mineralizace takových vzorků se provádí různými způsoby a s použitím různých oxidačních činidel. Pitná voda by neměla obsahovat tak velké množství organických sloučenin, aby byly výsledky analýzy podstatně ovlivněny; ve většině takových případů proto není nutno vodu mineralizovat. Pevné vzorky (potraviny, rostliny, suroviny, rudy aj.) je třeba rozkládat (mineralizovat) podle metodik vypracovaných pro konkrétní typ vzorku.

Pro mineralizaci vzorků různých druhů vod a výluh z půd lze doporučit následující postup:

Do příslušné baňky nebo nádobky se dá 5–100 ml kapalného vzorku, přidá se 1 ml koncentrované kyseliny dusičné a 1 ml 30% roztoku peroxidu vodíku. Směs se odpaří do sucha, odperek se ochladí na teplotu okolí, znova se přidá 1 ml koncentrované kyseliny dusičné a 1 ml 30% roztoku peroxidu vodíku a roztok se znova odpaří do sucha. Je-li suchý odperek bílý nebo žlutavý (sloučeniny železa), je mineralizace ukončena. Je-li odperek hnědý, přidávání a odpařování oxidantů se opakuje. V tomto mineralizovaném suchém stavu je možné vzorky pohodlně uchovávat a transportovat, pakliže nelze provést analýzu ihned na místě.

K suchému odparku se přidá 10–25 ml 0,1 M-HCl. Roztok

se zahřívá a míchá, dokud se neobjeví pára; poté se ochladí, a pokud je to nutné, přefiltruje se. Tako připravený mineralizát vzorku se používá pro voltametrická měření.

Jestliže se nepředpokládá analýza mineralizátu během téhož dne, kdy byl připraven, přidá se k suchému odparku asi 10 ml 0,1 M-HCl. Směs se zahřívá a míchá, až se objeví pára, poté se ochladí a kvantitativně se přenese do odměrné baňky objemu 25 ml. Po doplnění 0,1 M-HCl na objem 25 ml se roztok protřepe.

Uvedený způsob mineralizace nelze doporučit pro analýzu moči, protože i při mnohonásobně opakovaném přidávání a odpařování oxidantů nelze dosáhnout úplného rozkladu přítomných organických látek. Postačujícího stupně mineralizace moči je možné dosáhnout využitím pozměněné metodiky²⁶: Do vhodné kádinky (Kjeldahlovy baňky) se přenese 1,0 ml analyzované moči, přidají se 2 ml 2 M-KNO₃ a při malém výkonu vařiče se odpaří do sucha. Poté se zvýší výkon vařiče, přičemž se mineralizovaná směs zahřívá do roztavení KNO₃ a následujícího odbarvení taveniny. Kádinka se ochladí na teplotu okolí a ke vzniklé tavenině se přidá 10–25 ml 0,1 M-HCl. Roztok se pak za míchání zahřívá, dokud se neobjeví pára a tavenina se nerozpustí; pak se ochladí, a pokud je to nutné, přefiltruje se. Tako připravený mineralizát vzorku je připraven pro voltametrickou analýzu.

Roztavený dusičnan draselný je velmi účinným oxidačním činidlem a může se úspěšně používat i pro mineralizaci jiných složitých vzorků, jako je krev, některé druhy odpadních vod apod.

Souběžně s mineralizací analyzovaných vzorků se jako slepý pokus provádí „mineralizace“ stejněho objemu redestilované vody při aplikaci zcela totožných operací.

Při použití mineralizace na suché cestě se k suchému zbytku přidává 10–25 ml 0,1 M-HCl, načež se postupuje výše popsaným způsobem.

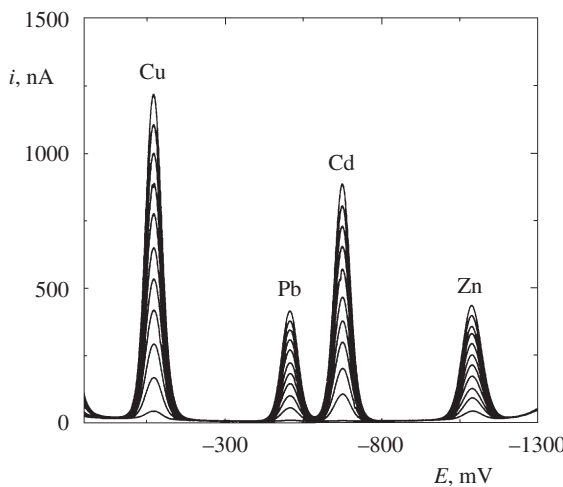
Příprava roztoků pro voltametrická měření

Stanovení Cu²⁺, Pb²⁺, Cd²⁺ a Zn²⁺. V závislosti na předpokládané koncentraci iontu daného kovu ve vzorku se do polarografické nádobky přidá 1–6 ml mineralizátu vzorku (doplňí se redestilovanou vodou na objem 6 ml) a 4 ml 1 M octanového pufru o hodnotě pH 4,8–5,0.

Stanovení Ti⁴⁺. V závislosti na předpokládané koncentraci thalních iontů ve vzorku se do polarografické nádobky přidá 1–5 ml mineralizátu vzorku (doplňí se redestilovanou vodou na objem 5 ml), 4 ml 1 M octanového pufru o hodnotě pH 4,8–5,0 a 1,0 ml 0,1 M-Na₂EDTA.

Výsledky a diskuse

Stříbrná pevná amalgamová elektroda dovoluje stejně jako HMDE stanovit měď, olovo, kadmium a zinek během jednoho potenciálového scangu. Na obrázku 1a jsou uvedeny voltametrické záznamy těchto prvků při různých koncentracích. Lineární závislost proudu (i_p) na koncentraci sledovaných iontů (obr. 1b) a výsledky statistického zpracování opakovaných měření (tabulka I) svědčí o dobré aplikovatelnosti m-AgSAE pro analytické účely. Je známo, že použití analogového zapisovače pro voltametrický záznam současného stanovení několika látek je možné za předpokladu, že jejich koncentrace



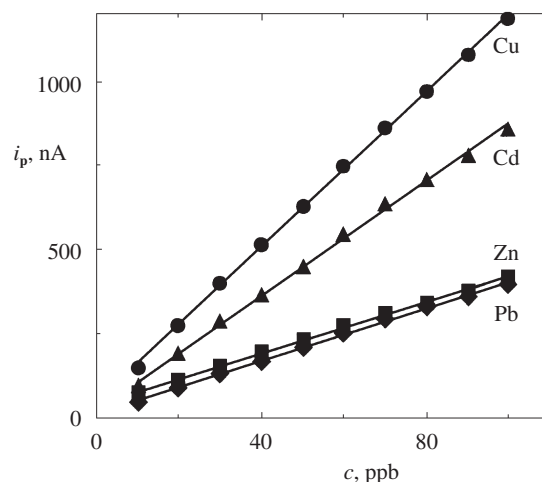
Obr. 1a. Kalibrační záznamy získané při stanovení Cu^{2+} , Pb^{2+} , Cd^{2+} a Zn^{2+} na rtuťovém meniskem modifikované stříbrné pevné amalgamové elektrodě m-AgSAE; experimentální podmínky: základní elektrolyt 0,4 M octanový pufr, pH 4,8; potenciál akumulace -1300 mV; doba akumulace 180 s v míchaném roztoku; regenerace m-AgSAE po dobu 30 s automaticky před každým měřením, koncentrace iontů kovů: 0, 10, 20, 30, 40, 50, 60, 70, 80, 90 a 100 ppb

Tabulka I

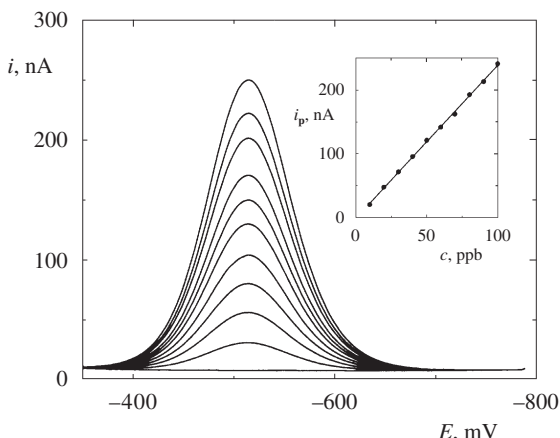
Statistické zpracování opakovaných měření; experimentální podmínky pro současné stanovení Cu^{2+} , Pb^{2+} , Cd^{2+} a Zn^{2+} : základní elektrolyt 0,4 M octanový pufr, 0,06 M-NaCl, pH 4,6; $E_{\text{ac}} = -1300$ mV; $E_{\text{fin}} = +50$ mV; $t_{\text{ac}} = 300$ s v míchaném roztoku; regenerace m-AgSAE po dobu 30 s automaticky před každým měřením; koncentrace jednotlivých kovových iontů 20 ppb; počet měření 11. Experimentální podmínky pro Ti^+ : základní elektrolyt 0,4 M octanový pufr, 0,05 M-NaCl, 0,01 M- Na_2EDTA , pH 4,6; $E_{\text{ac}} = -800$ mV; $E_{\text{fin}} = -250$ mV; $t_{\text{ac}} = 180$ s v míchaném roztoku; regenerace m-AgSAE po dobu 30 s automaticky před každým měřením; koncentrace Ti^+ 20 ppb; počet měření 11

Parametr	Cu^{2+}	Pb^{2+}	Cd^{2+}	Zn^{2+}	Ti^+
Průměrná výška píku [nA]	216,5	77,3	157,2	127,5	50,8
Interval spolehlivosti [nA]	0,8	0,6	1,8	1,3	0,2
Směrodatná odchylka [nA]	1,1	0,9	2,8	1,9	0,3
Relativní směrodatná odchylka [%]	0,5	1,2	1,8	1,5	0,7
Mez detekce ($3 \times \text{SD}$) [ppb]	0,3	0,7	1,1	0,9	0,4

se vzájemně neliší o více než jeden řád (při měření s počítacem řízeným analyzátorem jsou tyto možnosti podstatně širší – viz dále). Mnohdy není tato podmínka splněna, a proto bývá nutné provádět analýzu jednotlivých látek postupně; současně to vyžaduje správně nastavit optimální potenciál akumulace (E_{ac}) a potenciál, při kterém se scan ukončí (E_{fin}). Tyto potenciály činí pro Cu^{2+} -400 a $+50$ mV; Pb^{2+} -800 a -200 mV; Cd^{2+} -1000 a -500 mV a pro Zn^{2+} -1300 a -700 mV. Pokud je koncentrace daného iontu v roztoku $c \geq 0,5$ ppm, lze voltam-



Obr. 1b. Kalibrační křivky Cu^{2+} , Pb^{2+} , Cd^{2+} a Zn^{2+} odpovídající záznamům na obr. 1a; $i_{\text{p,Cu}} = 11,47c + 49,55$, $R^2 = 0,9995$; $i_{\text{p,Pb}} = 3,83c + 15,78$, $R^2 = 0,9981$; $i_{\text{p,Cd}} = 8,44c + 25,24$, $R^2 = 0,9985$; $i_{\text{p,Zn}} = 3,76c + 42,16$, $R^2 = 0,9984$



Obr. 2. Kalibrační záznamy a jím odpovídající kalibrační křivka získané při stanovení Ti^+ na m-AgSAE; experimentální podmínky: základní elektrolyt 0,4 M octanový pufr, 0,05 M-NaCl, 0,01 M- Na_2EDTA , pH 4,6; potenciál akumulace -800 mV; doba akumulace 180 s v míchaném roztoku; regenerace m-AgSAE po dobu 30 s automaticky před každým měřením, koncentrace iontů thalia: 0, 10, 20, 30, 40, 50, 60, 70, 80, 90 a 100 ppb; $i_{\text{p,Ti}} = 2,40c - 1,59$, $R^2 = 0,999$

rický scan registrovat od počátečního potenciálu E_{in} (rovnejícího se hodnotě E_{ac}) bez uplatněné akumulace ($t_{\text{ac}} = 0$ s).

V použitém základním elektrolytu se píky olova a thalia překrývají. Přídavek silně komplexotvorné látky Na_2EDTA posouvá potenciál akumulace a potenciál píku olova k negativnějším hodnotám, a dovoluje tak stanovit thalium i ve 100-násobném nadbytku iontů Pb^{2+} a Cd^{2+} . Obrázek 2 a tabulka I demonstrují vysokou citlivost a přesnost stanovení Ti^+ .

Aplikovatelnost m-AgSAE pro analýzu uvedených iontů kovů byla testována na modelovém roztoku simulujícím vzorek povrchových vod po mineralizaci při obsahu sledovaných látek na úrovni povolených mezi daných příslušnou normou¹.

Tabulka II

Statistické zpracování analýz modelového roztoku; experimentální podmínky pro současné stanovení Cu^{2+} , Pb^{2+} , Cd^{2+} a Zn^{2+} : základní elektrolyt 0,4 M octanový pufr, 0,06 M-NaCl, pH 4,6; $E_{\text{ac}} = -1300 \text{ mV}$; $E_{\text{fin}} = +50 \text{ mV}$; $t_{\text{ac}} = 180 \text{ s}$ v míchaném roztoku; regenerace m-AgSAE po dobu 30 s automaticky před každým měřením; počet měření 11. Experimentální podmínky pro Tl^+ : základní elektrolyt 0,4 M octanový pufr, 0,05 M-NaCl, 0,01 M-Na₂EDTA, pH 4,6; $E_{\text{ac}} = -800 \text{ mV}$; $E_{\text{fin}} = -250 \text{ mV}$; $t_{\text{ac}} = 300 \text{ s}$ v míchaném roztoku; regenerace m-AgSAE po dobu 30 s automaticky před každým měřením; počet analýz 11

Kov	Cu^{2+}		Pb^{2+}		Cd^{2+}		Zn^{2+}		Tl^+	
	0,1	0,1	0,1	0,1	0,005	0,005	0,2	0,2	0,005	0,005
Koncentrace iontů [mg.l ⁻¹]	ručně ^a	auto ^b								
Měření výšky píků										
Průměrná koncentrace iontů [mg.l ⁻¹]	0,1046	0,1066	0,1047	0,1048	0,00528	0,00526	0,209	0,211	0,00490	0,00496
Interval spolehlivosti [mg.l ⁻¹]	0,0053	0,0069	0,0064	0,0066	0,00037	0,00036	0,012	0,012	0,00024	0,00024
Směrodatná odchylka [mg.l ⁻¹]	0,0079	0,0104	0,0096	0,0099	0,00055	0,00055	0,019	0,019	0,00036	0,00036
Relativní směrodatná odchylka [%]	7,6	9,8	9,2	9,5	10,5	10,4	8,9	8,8	7,3	7,2

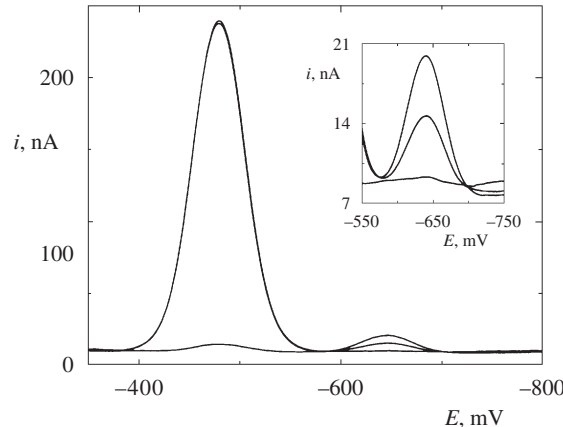
^a Postupné vyhodnocování jednotlivých křivek; ^b automatické zpracování naměřených křivek pomocí funkce <AutoPeak> programu analyzátoru

0,1 M roztok HCl s 0,1 ppm Cu^{2+} , 0,1 ppm Pb^{2+} , 0,005 ppm Cd^{2+} , 0,2 ppm Zn^{2+} , 0,005 ppm Tl^+ . Limit obsahu thalia není sice zakotven v normách na čistotu vod, avšak s ohledem na údaje o jeho toxicitě byla modelová koncentrace Tl^+ zvolena stejná jako u kadmu. Příprava roztoků pro voltametrická stanovení se prováděla podle postupu popsaného v experimentální části. Všechny kovy, kromě thalia, byly analyzovány v rámci jednoho scanu. Jejich kvantitativní obsahy byly pak určeny metodou standardního přídavku, která je pro vzorky obsahující složitou a špatně definovanou matrici a pro pevné elektrody podstatně spolehlivější a přesnější, než metoda kalibrační křivky. Výsledky měření 11 modelových vzorků jsou shrnutý v tabulce II a nasvědčují tomu, že použité uspořádání a analytické postupy lze dobře aplikovat pro analýzy zmíněných iontů.

Při hodnocení výsledků měření je v programu analyzátoru dáná možnost automatického zpracování křivek (funkce <AutoPeak>). Jak je zřejmé z tabulky II, je shodnost výsledků automatického hodnocení (při velké úspěšnosti pracovního času s tím spojené) velmi dobré srovnatelná s postupným ručním vyhodnocováním jednotlivých křivek; k automatickému vyhodnocování přitom postačí, aby uživatel zadal potenciál vrcholů píků měřeného kovu a dal k hodnocení pokyn kliknutím na příslušnou ikonu.

To, že program analyzátoru²⁷ povoluje označit a zvětšit určenou část voltamogramů, umožňuje i velmi účinnou analýzu minoritních složek při velkém přebytku jiných látek v daném roztoku. Příkladem je stanovení 1 ppb kadmu v přítomnosti 100 ppb olova ilustrované na obrázku 3. Nebyt této možnosti, bylo by vyhodnocování malých píků kadmu vedle velkých píků olova provedeno s velkou chybou. Vysoká hustota vzorkování a možnost zvětšení výšeku oblasti voltametrických píků kadmu poskytuje optimální podmínky pro přesnost určení výšky a polohy píků.

Zvýšení citlivosti analýz lze dosáhnout též prodlužováním doby akumulace t_{ac} . V případě DPV 10 ppb Pb^{2+} v 0,2 M octanovém pufu o pH 4,8 byla výška píku ve stanoveném rozsahu od 0,5 do 60 minut přímo úměrná t_{ac} s vysokou hodnotou korelačního koeficientu ($R^2 = 0,9996$). HMDE za stejných podmínek poskytovala lineární závislost $i_p - t_{\text{ac}}$ v roz-



Obr. 3. DP voltamogramy olova a kadmu v poměru 100:1, získané na m-AgSAE; experimentální podmínky: základní elektrolyt 0,4 M octanový pufr, 0,06 M-NaCl, pH 4,6; potenciál akumulace -1000 mV ; doba akumulace 180 s v míchaném roztoku; regenerace m-AgSAE po dobu 30 s automaticky před každým měřením, koncentrace olovnatých iontů 0, 100, 200 ppb; koncentrace kadmatnatých iontů 0, 1, 2 ppb. V menším rámečku je zobrazen zvětšený pik kadmu

mezí 0,5–10 minut. Kratší lineární úsek na HMDE je způsoben difuzí olova do kapiláry elektrody. Prodlužování t_{ac} může tak být podle potřeby využito pro další zvýšení citlivosti analýzy.

Pro rozklad půd, rud, některých druhů slitin apod., se mimo jiných činidel často používají kyseliny fluorovodíkové. Při práci se skleněnými kapilárami HMDE musí být však roztok neutralizován, jelikož by i ve slabě kyselém prostředí došlo brzy ke zničení kapiláry. Naopak, pomocí m-AgSAE lze ve zředěné HF pracovat dlouhodobě, bez nežádoucích účinků na elektrodu.

Závěr

Stříbrná pevná amalgamová elektroda modifikovaná rtuťovým meniskem se svými vlastnostmi podobá HMDE. Při

stanovení v článku zmíněných kovů jsou hodnoty potenciálů píků a proudů pozadí na m-AgSAE a HMDE velmi blízké. Výše popsané kovy (měď, olovo, kadmium, zinek a thalium) lze s pomocí m-AgSAE analyzovat s dostatečnou citlivostí a přesností. Program analyzátoru dovoluje provádět analýzu i velmi malých množství jedné látky v přebytku ostatních, např. kadmu v přítomnosti 100 násobného přebytku olova. Použití automatického hodnocení naměřených křivek podstatně zkracuje dobu analýzy bez zhoršení její kvality. Ve srovnání s HMDE představuje tak m-AgSAE účinnou alternativu pro většinu analytických aplikací v řadě směrů, jako jsou měření v terénu či v průtokových systémech; práce s m-AgSAE je přitom i pohodlnější.

Autoři děkují za finanční podporu grantu č. 101/02/U111/CZ.

LITERATURA

- Nařízení Vlády ČR č. 82/1999 Sb. ze dne 22. března 1999, kterým se stanoví ukazatele a hodnoty přípustného stupně znečištění vod. Sbírka zákonů 1999, částka 30, str. 2313.
- Vyhľáška Ministerstva zdravotníctví ČR č. 376/2000 Sb. ze dne 9. září 2000, kterou se stanoví požadavky na pitnou vodu a rozsah a četnost její kontroly. Sbírka zákonů 2000, částka 103, str. 4879.
- Vyhľáška Ministerstva životního prostředí ČR č. 13/1994 Sb., kterou se upravují některé podrobnosti ochrany zemědělského půdního fondu. Sbírka zákonů 1994, částka 4, str. 82.
- Vyhľáška Ministerstva zemědělství ČR č. 474/2000 Sb. ze dne 13. prosince 2000 o stanovení požadavek na hnojiva. Sbírka zákonů 2000, částka 137, str. 7494.
- Metodický návod č. HEM-340.2-27.4.90 Ministerstva zdravotníctví ČR k provádění a hodnocení expozičních testů. Věstník MZd ČR, 5, 1992.
- Vydra F., Štulík K., Juláková E.: *Rozpouštěcí polarografie a voltametrie*. SNTL, Praha 1977.
- Wang J.: *Analytical Electrochemistry*, 2. vyd. Wiley-VCH, New York 2000.
- Yosypchuk B., Povkhan M. F., Karnaukhov O. I.: Ukr. Khim. Zh. 52, 733 (1986).
- Kirowa-Eisner E., Brand M., Tzur D.: Anal. Chim. Acta 385, 325 (1999).
- Yosypchuk B., Povkhan M. F., Karnaukhov O. I.: Ukr. Khim. Zh. 57, 166 (1991).
- Kounaves S. P., Wen Deng, Hallock P. R.: Anal. Chem. 66, 418 (1994).
- Cizskowska M., Donten M., Stojek Z.: Anal. Chem. 66, 4112 (1994).
- Gooding J. J., Hibbert D. B., Yang W.: Sensors 1, 75 (2001).
- Navrátil T., Kopanica M.: Crit. Rev. Anal. Chem., v tisku.
- Navrátil T., Kopanica M.: Chem. Listy 96, 111 (2002).
- Brainina K., Hence G., Stojko N., Malakhova N., Faller C.: Fresenius' J. Anal. Chem. 364, 285 (1999).
- Konvalina J., Vytrás K.: Chem. Listy 95, 344 (2001).
- Konvalina J., Khaled E., Vytrás K.: Collect. Czech. Chem. Commun. 65, 1047 (2000).
- Brainina K. Z., Malakhova N. A., Stojko N.: Fresenius' J. Anal. Chem. 368, 307 (2000).
- Novotný L., Yosypchuk B.: Chem. Listy 94, 1118 (2000).
- Yosypchuk B., Novotný L.: *US – CZ Workshop on Electrochemical Sensors, Prague*. Book of Abstracts, str. 26. Czech Chemical Society, Prague 2001.
- Yosypchuk B., Novotný L.: Talanta 56, 971 (2002).
- Yosypchuk B., Novotný L.: *Electroanalysis*, v tisku.
- Yosypchuk B., Novotný L.: Crit. Rev. Anal. Chem., v tisku.
- Novotný L.: Chem. Listy 95, 147 (2001).
- Bardoděj Z., David A., Šedivec V., Škramovský S., Teisinger J.: *Expoziční testy v průmyslové toxikologii*, str. 137. Avicenum, Praha 1980.
- Dřevínek M., Trojánek F.: Chem. Listy 95, 231 (2001).

B. Yosypchuk and L. Novotný (*J. Heyrovský Institute of Physical Chemistry, Academy of Sciences of the Czech Republic, Prague*): **Voltammetric Determination of Cu, Pb, Cd, Zn and Tl using the Silver Solid Amalgam Electrode**

Use of the nontoxic pen-type mercury-meniscus-modified silver solid amalgam electrode (m-AgSAE) for voltammetric determination of Cu, Pb, Cd, Zn and Tl was described. The obtained repeatability and detection limit amounted to $\pm 2\%$ and 1 ppb, respectively. m-AgSAEs could be completely renewed by applying an appropriate electrochemical pretreatment. Use of the PC-controlled measuring system enabled getting rapidly the data and corresponding concentration dependences in automatic mode, even under conditions, when the ratio between concentrations of the analyte and the other depolarizers was 1:100. m-AgSAEs proved to be suitable for numerous types of rapid voltammetric measurements not only in laboratories, but also in the field, flow-through systems, etc.

VÝUKA CHEMIE

VYUŽITÍ MIKROVLNNÉHO OHŘEVU V LABORATORNÍCH CVIČENÍCH STUDENTŮ A PRO DEMONSTRAČNÍ POKUSY

JANA ŠAULIOVÁ

Katedra chemie, Pedagogická fakulta, Univerzita J. E. Purkyně, České mládeže 8, 400 96 Ústí nad Labem
e-mail: sauliova @pf.ujep.cz

Došlo dne 8. XI. 2001

Klíčová slova: mikrovlnné záření, laboratorní cvičení z organické chemie

Úvod

V letech 1980–90 byl zjištěn významný vliv mikrovlnného pole na rychlosť a selektivitu reakcií organických sloučenin. První práce, které popisují cílené využití mikrovlnného záření v organické syntéze, publikované v roce 1986 téměř současně dvěma nezávislými kolektivy (Gedye a spol.¹, Giguere a spol.²) uváděly urychlení reakcí o 2–3 řády. Pokusy byly nejprve prováděny v běžných mikrovlnných troubách používaných v domácnosti; dnes už se v laboratořích většinou používají mikrovlnná zařízení od různých zahraničních firem, jako jsou Milestone (Itálie), CemCorp (USA), Prolabo (Francie) a Plasmatronika (Polsko). Výhodou těchto zařízení je především možnost plynulé regulace výkonu, vyšší homogenita pole, průběžná kontrola teploty, možnost míchání i připojení chladiče.

Od 80. let počet publikací týkajících se reakcí v mikrovlnném prostředí značně vzrostl. Bylo zjištěno, že k významnému zkrácení reakčních dob dochází např. u esterifikačních reakcí, Dielsovy-Aldrových cykloadicí, alkylačních, acylačních a aldolizačních reakcí. Přehled reakcí, u kterých se příznivě uplatnil vliv mikrovlnného prostředí, můžeme nalézt v referátu Tomy³, nebo v monografii *Microwave-Enhanced Chemistry*⁴, případně ve sborníku mezinárodní konference o mikrovlnné chemii, která se konala v roce 1998 v Praze⁵.

Mikrovlny mají i významné použití v praxi; kromě původního uplatnění v radarové technice a dnes běžného využití v domácnostech se používají k předehřevu plastů a pryže před zpracováním, k sušení různých materiálů, např. papíru, některých keramických a farmaceutických produktů, lze je použít i ke sterilizaci půdy nebo osiv. V laboratořích jsou využívány k rozkladům vzorků pro analýzu těžkých kovů atomovou absorpcní spektroskopii^{6–8} a známé je i použití k rozkladu polychlorovaných bifenylů. Výhodné jsou také extrakce provedené v mikrovlnném prostředí, např. při přípravě vzorků k chromatografické nebo spektrální analýze^{9–11}, které přinášejí značnou úsporu času ve srovnání s časově náročnou Soxhle-

tovou extrakcí. Zajímavé praktické využití nabízí i mikrovlnná sklařská pec, která je vynálezem pracovníků mikrovlnné laboratoře Ústavu chemických procesů AV ČR v Praze. Uplatnění v praxi nachází mikrovlnná chemie i v organické syntéze, např. při výrobě léčiv¹². Na některých vybraných zahraničních univerzitách se dokonce začala mikrovlnná chemie vyučovat jako samostatný předmět.

Vliv mikrovlnného záření na chemické reakce

Zdrojem mikrovlnného záření v mikrovlnných reaktorech je generátor pracující obvykle při frekvenci 2450 MHz, kterou používají i mikrovlnné trouby v domácnostech. Podstatou účinku mikrovlnného záření spočívá v jeho interakci s polárními molekulami. Ty se snaží orientovat ve směru oscilujícího elektrického pole, a proto dochází k jejich rotaci ve směru pole. Osciluje-li pole rychle (při frekvenci 2450 MHz mění za sekundu svůj směr $2,45 \cdot 10^9$ krát), nestačí molekuly tuto změnu směru elektrického pole sledovat, a důsledkem je i absorpcie energie záření. Výsledkem samotné rotace a absorpcie energie je zvýšení teploty³. Při rychlém ohřátí kapaliny je konvekce k povrchu kapaliny, kde dochází k odpařování, nedostatečná a nadbytek energie se projeví jako přehřátí⁴. Tento tzv. „superheating effect“ bývá u polárních rozpouštědel 10–20 °C nad teplotu varu, což je příčinou urychlení reakce. Vysoké urychlení (u některých reakcí až o několik rádů) však nelze vysvětlit pouze rychlejším ohřevem a přehřátím reakčního prostředí. Ukazuje se, že pokud je mikrovlnné záření absorbováno pouze rozpouštědem, je urychlení malé. K výraznému urychlení dochází, je-li záření absorbováno i substrátem nebo katalyzátorem¹³. Zvýšení teploty v reakční směsi není zřejmě rovnoměrné, výrazně k němu dochází v určitých centrech, tzv. horká místa (hot spots)¹⁴.

Podstatné vlastnosti, které ovlivňují interakci látky s mikrovlnným zářením, jsou diplový moment, tepelná kapacita, tepelná vodivost, fyzikální stav látky ovlivňující možnost rotace molekul a u kapalných látek i jejich výparné teplo. I když mechanismus urychlení reakcí nemí ještě zcela objasněn, lze podle dosavadních výsledků očekávat urychlení tehdy, když reagují polární látky a reakce se zúčastní vazby s vysokým diplovým momentem³. Vyšší urychlení se projevuje častěji u níževroucích rozpouštědel a v některých případech také záleží na objemu reakční směsi (urychlení bývá vyšší u menších objemů)⁴.

Výhody a nevýhody využití mikrovlnného ohřevu při výuce

Mikrovlnný ohřev se může velmi dobře uplatnit u vhodně zvolených reakcí v laboratorních cvičeních z organické chemie a biochemie. Některé reakce by mohly být využity i pro demonstrační pokusy v hodinách chemie na středních nebo základních školách, zvláště tam, kde není do učebny zaveden plyn. Při použití ve školách ocení učitelé a studenti především tyto výhody mikrovlnného ohřevu:

- významné zkrácení ohřívací periody,
- vyšší reakční rychlosť, vyšší výtěžky, vyšší selektivitu (stačí provádět pokusy v menším měřítku, což umožňuje úsporu chemikálií a současně zjednoduší řešení otázky likvidace odpadních látek),
- ohřev je rovnoměrný v celém objemu reakční směsi, a pokud se reakce provádějí ve vhodném vysokovroucím polárním rozpouštědle pod jeho teplotou varu, nevyžadují míchání,
- u rychlých reakcí prováděných v malém měřítku (reakční doby kolem 1 minuty) není nutné stavět aparaturu, stačí kádinka příkrytá Petriho miskou (ušetří se čas i nádobí),
- lze provádět několik důkazových reakcí najednou,
- z hlediska bezpečnosti práce jsou rizika menší než při použití otevřeného plamene.

Výrazným zkrácením reakční doby časově náročnějších reakcí odpadá pro studenty málo zajímavá, neaktivní doba kontroly probíhající reakce a není také problém méně úspěšnou preparaci zopakovat. Ušetřený čas lze věnovat dalším experimentům, stanovení vlastností produktů, zpracování výsledků, nebo se student může tvořivě zúčastnit menšího výzkumu pod dohledem pedagoga (např. lze sledovat vliv změny podmínek nebo množství reaktantů na průběh reakce, příkladem může být dehydratace cyklohexanolu uvedená v experimentální části). Takové vedení laboratorních cvičení na vysoké škole by bylo velmi užitečné a na střední škole by taková práce mohla být náplní chemického kroužku nebo tématem pro Soutěž středoškolské odborné činnosti.

Hlavní překážkou využití mikrovlnného ohřevu ve školách budou zřejmě pořizovací náklady na mikrovlnný reaktor. Pro řadu pokusů lze použít kuchyňskou mikrovlnou troubu o výkonu alespoň 800 W (bez speciálních úprav, vhodnější jsou dva výstupy magnetronu). Kuchyňské mikrovlnné trouby se dokonce i v současné době využívají při výzkumné práci v chemických laboratořích (příkladem mohou být publikace z r. 1999 (cit.^{15,16})), protože jejich cena je jen zlomkem ceny laboratorních mikrovlnných reaktorů. Významnou nevýhodou je omezená možnost regulace výkonu mikrovlnné trouby (běžná regulace u kuchyňské mikrovlnné trouby spočívá pouze ve vypínání a zapínání magnetronu). Do určité míry lze regulovat množství mikrovlnného záření vstupujícího do reakční směsi tím, že do mikrovlnné trouby umístíme spolu s reakční nádobou i kádinku s vhodně zvoleným množstvím vody (voda v kádince odvede část energie mikrovlnného záření).

Pro pokusy, které vyžadují míchání a připojení chladiče, je možné nechat mikrovlnnou troubu profesionálně upravit, náklady na úpravu jsou přibližně stejně jako její nákupní cena (cca 6000 Kč). Při krátkodobém ohřevu k varu je možné se obejít bez teploměru, jinak je třeba zakoupit speciální, např. infračervený teploměr.

Základní zásady bezpečné práce s mikrovlnnou troubou nebo reaktorem jsou uvedeny v každém návodu na jejich použití. Je nutné zdůraznit, že nelze používat žádné kovové nádoby (vhodné jsou skleněné, keramické nebo teflonové) ani jiné předměty, jejichž součástí je kov, např. rtuťový teploměr. Reakční nádoby nesmějí být zcela uzavřené a při použití běžné mikrovlnné trouby nelze pracovat s těkavými a současně agresivními nebo extrémně hořlavými látkami. Kádinky a baňky je třeba zakrýt Petriho miskou nebo hodinovým sklem. Mikrovlnná trouba po uplynutí nastaveného času sama vypne,

takže by nemělo dojít k přehřátí reakční směsi. Pro těkavější látky je vhodné použít větší baňky nebo kádinky a krátce zahřát k varu nebo použít výševroucí rozpouštědla a zahřívat pod teplotou varu. Studenti nesmějí zapomenout, že reakční nádoba je po ukončení reakce horká. Zařízení musí být profesionálně odzkoušené, aby nedocházelo k úniku mikrovlnného záření.

U navržených pokusů, které běžně trvají cca 1 minutu nebo maximálně několik minut, by prakticky nemělo dojít k rizikovému přehřátí a také jsme se s ním nesetkali. Došlo k němu pouze u pokusů trvajících déle než 1 hodinu (při výkonu magnetronu 800 W), když jsme substrát zahřívali pod zpětným chladičem s roztoky hydroxidu sodného. Hydroxid se při míchání za varu vyloučil v malém množství na stěnách baňky. Vzhledem k tomu, že silně absorbuje mikrovlnné záření, došlo k lokálnímu přehřátí a baňka praskla. Podobný efekt by mohla mít každá silně absorbující nečistota na stěnách baňky. Při případném vylití reakční směsi uvnitř mikrovlnné trouby by nemělo dojít k jejímu poškození (vnitřní prostor je v takovém případě třeba vytřít a důkladně opláchnout vodou). Důležité je, aby při práci nedošlo k poškození dvířek mikrovlnné trouby. Jinak pro práci platí základní zásada běžná pro všechna laboratorní cvičení – student provádí jen pokusy, které provádět má, a bez vědomí pedagoga nemění předepsaný postup.

Experimentální část

V této části jsou uvedeny příklady pokusů, které by mohly mít využití ve školách. Pro většinu jsme použili mírně modifikované postupy popsané v příručce pro americké studenty středních škol¹⁷. Pro pokusy (s výjimkou dehydratace cyklohexanolu) lze použít kuchyňskou mikrovlnnou troubu. V našem případě to byla mikrovlnná trouba Whirlpool AVM 404 s nastavením výkonu na maximum, tj. 900 W (dále je nazývána mikrovlnná pec).

Na konci je uveden příklad z diplomové práce studenta 4. ročníku učitelství pro ZŠ Hynka Ondřeje¹⁸, který sledoval průběh dehydratace cyklohexanolu kyselinou fosforečnou v mikrovlnném prostředí při použití různého množství kyseliny a výkonu reaktoru. Tato dehydratační reakce provedená klasickým ohřevem je běžnou součástí posluchačských laboratoří z organické chemie. Student při práci používal mikrovlnný reaktor MREOS polské firmy Plasmatronika a pokusy provedl v mikrovlnné laboratoři Ústavu chemických procesů v Praze (v současné době již máme na katedře chemie PF UJEP vlastní reaktor MREOS).

Orientační stanovení obsahu redukujícího sacharidu

Vzorek (1 g) glukosy, sacharosy, sladidla Fan Sweet (obsahuje aspartam a malé množství laktosy) nebo jiného sacharidu vložíme do 100 ml kádinky a rozpustíme ve 25 ml vody (lze použít i stejně množství ovocného džusu nebo různě koncentrované roztoky glukosy). Ke každému roztoku přidáme 5 ml Benedictova roztoku (príprava roztoku: 173 g citronanu sodného a 100 g Na₂CO₃ rozpustíme za mírného zahřátí v 700 ml vody, roztok zfiltrujeme, k filtrátu za stálého míchání přidáme 17,3 g CaSO₄ rozpouštěného ve 100 ml vody a roztok doplníme na objem 1000 ml. Roztok je nutné chránit před

světlem, případně je vhodné provést jeho funkční zkoušku¹⁹. V klinické biochemii se roztok používá k semikvantitativnímu stanovení redukujících cukrů v moči). Kádinky přikryjeme Petriho miskou a zahříváme v mikrovlnné peci 30 sekund (můžeme použít najednou až 5 kádinek). Pozorujeme barevné změny, které indikují přítomnost různých množství redukujících cukrů. Od původního modrého zbarvení (značí nepřítomnost redukujícího cukru) se barva roztoku mění přes zelenou, žlutou, oranžovou až po červenou (pro vyšší koncentrace redukujícího cukru).

Obdobně lze také provést semikvantitativní stanovení glukosy popsáne v Čs. lékopise¹⁹, pouze místo klasického ohřevu zkumavek na plameni použít mikrovlnný ohřev (1 minutu). Při ověřování uvedeného stanovení jsme použili vždy 20 ml roztoku glukosy ($c = 0,0005; 0,001; 0,002; 0,008$ a $0,01 \text{ mol} \cdot \text{dm}^{-3}$) ve 100 ml kádinkách přikrytých Petriho miskou a pozorovali jsme barevné změny. Barva se měnila postupně od modré přes olivově zelenou ($c = 0,0005 \text{ mol} \cdot \text{dm}^{-3}$), zeleno-oranžovou ($c = 0,001 \text{ mol} \cdot \text{dm}^{-3}$), hnědooranžovou ($c = 0,002 \text{ mol} \cdot \text{dm}^{-3}$) a červenooranžovou až červenou (pro ostatní vyšší koncentrace glukosy). Nalezené odstíny barev neodpovídaly zcela přesně odstínu popsánum v lékopise, ale vzhledem k tomu, že hodnocení podle zbarvení je značně subjektivní (tentozpůsob stanovení se dnes již nepoužívá) a cílem nebylo přesné stanovení koncentrace cukru, lze považovat pro didaktické účely změny barev za dostatečně ilustrující přítomnost různých množství redukujících cukrů.

Rychlá extrakce kofeinu z kávy nebo čaje

Do 400 ml kádinky dáme 100 ml vody a v ní rozpustíme 2 g hydrogenuhličitanu sodného, přidáme 4 zvážené sáčky porcovaného čaje (nebo můžeme použít stejně množství kávy), přikryjeme Petriho miskou a zahříváme 90 sekund v mikrovlnné peci; během zahřívání se voda uvede do varu. Po ochlazení na laboratorní teplotu (lze urychlit přidáním kostky ledu) vyjmeme čajové sáčky a roztok extrahuje 25 ml chloroformu ve 250 ml dělicí nálevce (stačí pouze promíchat, při intenzivním třepání dochází ke vzniku emulze). Extrakt vysušíme bezvodym síranem sodným a rozpouštědlo odparíme na odparce nebo oddestilujeme. Zvážíme získaný surový kofein (kolem 0,1 g podle druhu čaje), který můžeme přečistit sublimací. Případně můžeme provést srovnání množství surového kofeinu získaného z různých druhů čajů nebo kávy. Čistotu a množství kofeinu můžeme také stanovit pomocí

kapalinové chromatografie (vhodným rozpouštědlem je acetonitril) (cit.²⁰).

Poznámky: V původním návodu¹⁷ byl pro extrakci čaje uveden delší ohřev (2–3 minuty). Doba ohřevu k varu závisí na výkonu použité mikrovlnné pece a z bezpečnostních důvodů není vhodné nechat směs vřít prudce, stačí pouze zahřát k varu. Autoři¹⁷ použili k následné extrakci kofeinu místo chloroformu těkavější dichlormethan a rozpouštědlo nechali v digestoru volně odpařit. Podle naší zkušenosti je při použití dichlormethanu tendence k tvorbě emulze větší než při použití chloroformu.

Příprava kyseliny acetylsalicylové (viz schéma 1)

Do 250 ml baňky s plochým dnem nebo do kádinky navázíme 5 g kyseliny salicylové a pak přidáme 5 ml acetanhydridu tak, aby pokryl všechny krystaly. Přikryjeme Petriho miskou a zahříváme v mikrovlnné peci 60 sekund. Opatrně vyjmeme a obsah promícháme (případně změříme teplotu běžným teploměrem mimo reaktor, teplota by měla být mezi 120 až 130 °C) a zahřejeme v mikrovlnné peci dalších 30 sekund. Po mírném ochlazení přidáme 20 ml studené vody a ponecháme stát 10 minut. Produkt odsajeme a po vysušení zvážíme, vypočítáme výtěžek a stanovíme teplotu tání. Produkt můžeme překrystalizovat z propan-2-olu (ke krystalizaci z cca 10 ml propan-2-olu můžeme opět využít mikrovlnnou pec, k rozpuštění produktu stačí zahřát v přiklopené kádince 10 sekund).

Poznámky: Výtěžek produktu po rekrytalizaci byl 80 % teoretického výtěžku. Při provedení preparace v laboratorních cvičeních klasickým způsobem se používá navíc kyselina fosforečná jako katalyzátor, reakční směs se zahřívá na vodní lázně 90 minut a dosažené výtěžky se pohybují v rozmezí 70–80 %.

Reakce maleinanhidridu s antracenem (Dielsova-Alderova cykloadice) (viz schéma 2)

1,8 g antracenu a 0,98 g maleinanhidridu jemně roztereme v třetí misce, dáme do kádinky (250 ml), přidáme 5 ml dimethylformamidu a mírně promícháme. Směs zahříváme v mikrovlnné peci 90 sekund. Po ochlazení produkt odsajeme, promyjeme $2 \times 5 \text{ ml}$ methanolu, po vysušení na vzduchu zvážíme a stanovíme teplotu tání (265–266 °C). Výtěžek je prakticky 100 %. Struktura adaktu je pro studenty ZŠ a SŠ sice

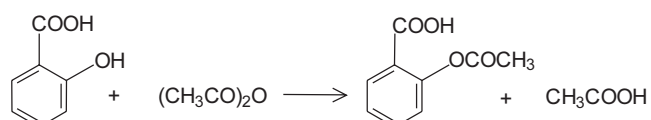


Schéma 1

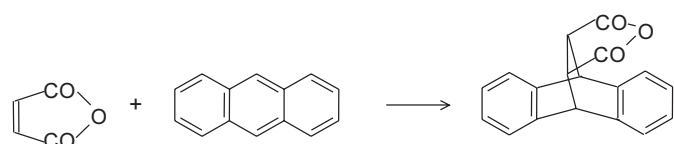


Schéma 2

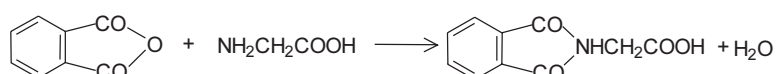


Schéma 3

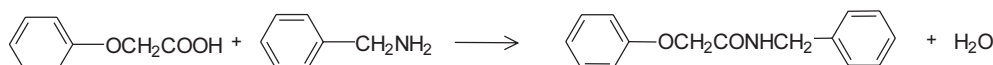


Schéma 4

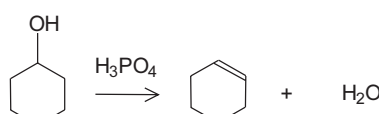


Schéma 5

složitější, ale snad aspoň některým se může zdát velmi zajímavá.

Poznámky: Původní předpis¹⁷ používá místo dimethylformamidu jako rozpouštědlo diethylenglycoldimethylether (diglym), který jsme neměli k dispozici. Krom dimethylformamidu jsme vyzkoušeli ještě xylen, používaný při klasické syntéze. V tomto případě jsme museli prodloužit dobu ohřevu v mikrovlnné peci z 1,5 minut na 5 minut, zahřívali jsme za míchání pod zpětným chladičem a výtěžek produktu byl o 15 % nižší než při použití polárnějšího dimethylformamidu, který je pro reakci v mikrovlnném prostředí výrazně vhodnější. Reakce provedená klasickým ohřevem vyžaduje zahřívání pod zpětným chladičem 90 minut²¹.

Příprava ftaloylglycinu (viz schéma 3)

1,48 g ftalanhydridu a 0,75 g glycinu jemně rozetřeme v třecí misce, dáme do kádinky objemu 250 ml, přidáme 5 ml dimethylformamidu, kádinku přikryjeme Petriho miskou a 60 sekund zahříváme v mikrovlnné peci. Směs ochladíme, přidáme 10 ml vody a odpaříme na vakuové rotační odparce. Surový produkt překrystalizujeme z 10 ml ethanolu. Stanovíme teplotu tání a vypočteme výtěžek.

Poznámky: V původním předpisu¹⁷ je uveden navíc katalyzátor (0,25 ml N-methylmorpholinu) a produkt by se měl po přidání vody vyloučit. V našem případě se krystalický produkt nevyloučil. Rozpouštědlo bylo proto odpařeno na vakuové odparce a produkt byl překrystalizován z ethanolu. Výtěžek ftaloylglycinu po rekrytalizaci byl cca 50 % teoretického výtěžku. Reakce provedená klasickým ohřevem (v toluenu) vyžaduje 2 hodiny zahřívání při teplotě varu²².

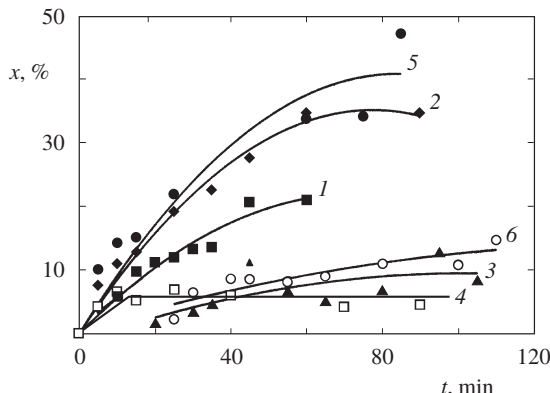
Příprava N-benzylamidu kyseliny fenoxyoctové (viz schéma 4)

Do 100 ml baňky dáme 1,52 g kyseliny fenoxyoctové, 1,1 ml benzylaminu, vložíme magnetické míchadélko a za stálého míchání pod zpětným chladičem zahříváme v mikrovlnné peci 5 minut, dokud veškerá kyselina fenoxyoctová nepřejde do kapalné fáze. Reakční směs ponecháme v digestoři 2 minuty částečně ochladit a pak ji rozpuštíme ve 30 ml acetonu. K roztoku přidáme 30 ml hexanu (pokud nedojde k rozpuštění, tak obsah mírně zahřejeme) a ponecháme chlad-

Tabulka I

Množství 85% kyseliny fosforečné a způsob ohřevu u pokusu 1–6

Číslo pokusu	H_3PO_4 [g]	Způsob ohřevu
1	41	mikrovlnný (7 W)
2	41	mikrovlnný (700 W)
3	41	klasický
4	51	mikrovlnný (7 W)
5	51	mikrovlnný (700 W)
6	51	klasický



Obr. 1. Závislost konverze cyklohexanolu x (%) na čase t (min) pro pokusy 1 – 6; jednotlivé křivky odpovídají pokusům uvedeným pod stejnými čísly I: 1 – 41 g H_3PO_4 , MW ohřev 7 W; 2 – 41 g H_3PO_4 , MW ohřev 700 W; 3 – 41 g H_3PO_4 , klasický ohřev; 4 – 51 g H_3PO_4 , MW ohřev 7 W; 5 – 51 g H_3PO_4 , MW ohřev 700 W; 6 – 51 g H_3PO_4 , klasický ohřev

nout v digestoři až do vyloučení krystalů. Teplota tání produktu byla v rozmezí 152–160 °C.

Poznámky: Podle původního předpisu¹⁷ byla doba zahřívání v mikrovlnné peci pouze 90 sekund a směs byla zahřívána bez míchání ve 250 ml kádince přikryté Petriho miskou. I v tomto případě však zůstala část kyseliny nezreagovaná. Pokud není k dispozici mikrovlnná pec upravená pro magnetické míchání, je lepší po 90 sekundách ohřevu směs mimo pec promíchat a opět zahřát v mikrovlnné peci k varu, případně postup zopakovat, dokud kyselina fenoxyoctová nepřejde do roztoku. Místo acetonu lze k rozpuštění surového produktu použít i ethylacetátu.

Dehydratace cyklohexanolu na cyklohexen (viz schéma 5)

Do 250 ml dvouhrlé reakční baňky s 60 ml cyklohexanolu přidáme příslušné množství 85 % kyseliny fosforečné (příklady viz tabulka I) a reakční směs vyhřejeme na 125 °C buď na olejové lázni nebo v mikrovlnném reaktoru MREOS (viz tabulka I). Při této teplotě zahříváme za míchání pod zpětným chladičem (60–100 minut, viz obr. 1). V pravidelných časových intervalech odebíráme vzorky (1 ml), zředíme 2 ml vody a extrahujeme do toluenu. Toluenový extrakt protřepeme 2 ml roztoku uhličitanu sodného a analyzujeme pomocí plynové chromatografie (množství cyklohexanolu a cyklohexenu stanovíme pomocí kalibrační křivky). Podrobnější výsledky pokusů, výpočty konverzí pro jednotlivé pokusy v závislosti na čase jsou uvedeny v diplomové práci H. Ondřeje¹⁸; zde je uveden pro ilustraci pouze výsledný graf závislosti konverze cyklohexanolu na cyklohexen pro jednotlivé pokusy. Graf názorně ukazuje vyšší reakční rychlosť u reakcí provedených v mikrovlnném prostředí (výjimkou je pokus č. 4, u kterého výkon reaktoru 7 W již nestačil na vyhřátí směsi k varu).

Experimentální práce byla vykonána díky podpoře Fondu rozvoje vysokých škol. Za odborné vedení studenta Hynka Ondřeje při pokusech o dehydrataci cyklohexanolu v mikrovlnném prostředí děkuji Ing. M. Hájkovi a jeho spolupracovníkům z mikrovlnné laboratoře Ústavu chemických procesů AV ČR v Praze-Suchdole. Za spolupráci při ověřování ostatních uvedených pokusů na katedře chemie PF UJEP děkuji studentce Janě Ryndové.

LITERATURA

1. Gedye R. N., Smith F., Westaway K., Ali H., Baldisera L., Laberge L., Rouselt J.: *Tetrahedron Lett.* 27, 279 (1986).
2. Giguere R. J., Bray T. L., Duncan S. M.: *Tetrahedron Lett.* 27, 4945 (1986).
3. Toma Š.: *Chem. Listy* 87, 627 (1993).
4. Kingston H. M., Haswell S. J.: *Microwave-Enhanced Chemistry*. American Chemical Society, Washington, D.C. 1997.
5. *International Conference on Microwave Chemistry, September 6–11, Prague* (Hájek M., ed.), Book of Abstracts. Int. Chem. Proc. Fundamentals, Praha 1998.
6. Zischka M., Kettisch P., Kainrath P.: *At. Spectrosc.* 19, 223 (1998).
7. Perez-Cid B., Lavilla I., Bendicho C.: *Anal. Chim. Acta* 378, 201 (1999).
8. Sahuqillo A., Rauert G.: *Analyst* 124, 1 (1999).
9. Sarawatti R., Vetter T. W., Watters R. L.: *Analyst* 120, 95 (1995).
10. Llompart M. P., Lorenzo R. A., Cela R. F., Li K., Belanger J. M. R., Pare J. M. J.: *J. Chromatogr., A* 774, 243 (1997).
11. Tomaniová M., Hajšlová J., Pavelka J., Kocourek V., Holadová K., Klímová I.: *J. Chromatogr., A* 827, 21 (1998).
12. Hájek M.: *Bull. CSCH* 1992/1993, 1–3.
13. Abramovitsch A., Abramowitsch D. A., Tamaresely K.: *Tetrahedron Lett.* 32, 5251 (1991).
14. Gedye R. D.: *International Conference on Microwave Chemistry, September 6–11, Prague* (Hájek M., ed.), Book of Abstracts, PL3. Int. Chem. Proc. Fundamentals, Praha 1998.
15. Banik B. K., Barakat K. J., Wagle D. R., Manhas M. S., Bose A. K.: *J. Org. Chem.* 64, 5746 (1999).
16. Ng L. T., Chia L. H. L.: *Polym. Int.* 48, 952 (1999).
17. Bose A. K.: *Microwave Instant LabTM the Bunsen Burner of 21st CenturyTM*. Kemtec Education Corporation, USA 1997.
18. Ondřej H.: *Diplomová práce*. PF UJEP, Ústí nad Labem 2001.
19. Československý lékopis, 4. vyd., sv. 1. Avicenum, Praha 1987.
20. Šafránková P.: *Diplomová práce*. PF UJEP, Ústí nad Labem 2000.
21. Dermer O. C., King J.: *J. Am. Chem. Soc.* 63, 3232 (1941).
22. Bose A. K., Greer F., Price C. C.: *J. Org. Chem.* 23, 1335 (1958).

J. Šauliová (*Faculty of Education, Department of Chemistry, J. E. Purkyně University, Ústí nad Labem*): **Utilization of Microwave Heating in Laboratory Training of Students and Demonstration Experiments**

The article sums up main advantages of microwave heating, which can be used in laboratory training of students in all types of schools. It also gives several examples of checked chemical experiments which could find use in laboratory training of students in organic chemistry or biochemistry or possibly as demonstration experiments in teaching chemistry. Detailed procedures and other checked experiments will be given in the appendix to instructions for laboratory training, which is currently in preparation.

CHÉMIA KAŽDODENNÉHO ŽIVOTA

MÁRIA GANAJOVÁ a IVANA DUNČKOVÁ

*Oddelenie didaktiky, Prírodovedecká fakulta, Univerzita P. J. Šafárika, Moyzesova 11, 041 54 Košice, Slovenská republika
e-mail: ganajova@kosice.upjs.sk*

Došlo dňa 2.XI.2001

Kľúčové slová: chémia každodenného života, učebný text, chemický experiment

Náš každodenný život ovplyvňuje možno viac ako iné vedné odbory práve chémia. Zasahuje prakticky do všetkých sfér nášho života, častokrát bez toho, aby sme si to uvedomovali. To pochopiteľne zvyšuje nároky na chémiu ako na vyučovací predmet. Avšak medzi výučbou chémie a každodenným životom sa vytvára len veľmi málo styčných bodov.

V súčasnosti sa mnohí odborníci, ako didaktici chémie, pedagógovia, psychológovia a chemici snažia skvalitniť výučbu chémie. Na základe toho dochádza k výrazným zmenám v obsahu učiva chémie, ktoré sa čoraz viac prikláňa k praxi a každodennému životu. Rozpracováva sa okruh tém „každodenný život a chémia“, ktorý zahŕňa vzťah chémie ku každodennému životu a dbá aj na ochranu životného prostredia. Cieľom tohto článku je poukázať na to, čo to chémia každodenného života je a ako sa prejavuje vo výučbe na slovenských a zahraničných školách.

Čo je to chémia každodenného života?

Pod pojmom chémia každodenného života vo všeobecnosti rozumieme zaobieranie sa látkami a dejmi, ktoré slúžia na uspokojovanie potrieb človeka. A. Maslow rozdelil potreby človeka do štyroch hierarchicky usporiadaných rovín^{1,2}:

1. základné podmienky pre prežitie (potrava, zdravie, oblečenie, bývanie a hygiena)
2. ochrana proti nebezpečenstvám (potraviny, voda, vzduch)
3. sociálna príslušnosť (komunikácia, kultúra, doprava)
4. uznanie a sebarealizácia (práca, voľný čas, spolurozhođovanie, zodpovednosť).

Každý stupeň tejto hierarchie potrieb súvisí s celým radom chemických dejov a procesov, z ktorých mnohé sú včlenené do vyučovania chémie, niektoré sú dokonca nosnými témami vyučovania chémie.

Pojem chémia každodenného života možno chápať v užšom i širšom slova zmysle:

- v užšom slova zmysle – ako oblasť, ktorá sa zameriava na tri aspekty:

vyučovanie chémie – chémia každodenného života – spoločnosť

Témy sa majú voliť tak, aby obsahovali všetky tri aspekty „chémie každodenného života“. Napríklad pri preberaní témy

Znečisťovanie ovzdušia sa žiaci oboznámia so škodlivými látkami, ktoré znečisťujú vzduch, a so vznikom týchto látok. Chýbajú tu však informácie o možnostiach nápravy, odstránenia alebo zníženia obsahu týchto škodlivín, ako aj ekonomická stránka tejto problematiky, t.j. náklady potrebné na realizáciu týchto náprav. Učiteľ by nemal zabudnúť informovať žiakov aj o týchto veciach.

- v širšom slova zmysle – ako oblasť, ktorá sa zameriava na aspekty:

vyučovanie chémie – chémia každodenného života

Témy sa preberajú podľa rámcových možností príslušného typu školy. Výber situácií a javov musí byť prístupný, pochopiteľný, aby sa mohlo nadvážovať na už získané vedomosti, schopnosti a zručnosti žiakov, napríklad Prací prások, jeho zloženie a pôsobenie jednotlivých komponentov moderného pracieho práska, Znečisťujúce látky v ovzduší, ich vznik a odstránenie.

chémia každodenného života – spoločnosť

Témy, ktoré sa týkajú chémie každodenného života a spoločnosti, sú väčšinou mimo vyučovania chémie. V rámci školy sa týchto témy možno dotknúť počas rôznych školských i miemoškolských akcií. Tiež pri vzdelávaní dospelých na univerzitách a akadémiah je potrebné a motivujúce hovoriť a vyjadrovať sa k otázkam chémie každodenného života (problematicke odpadu, energie, recyklácie a pod.).

spoločnosť – vyučovanie chémie

Týka sa to vo veľkej miere mnohých problémov v rôznych odboroch chémie (napr. miesto spaľovne, preprava zvláštneho odpadu a pod.).

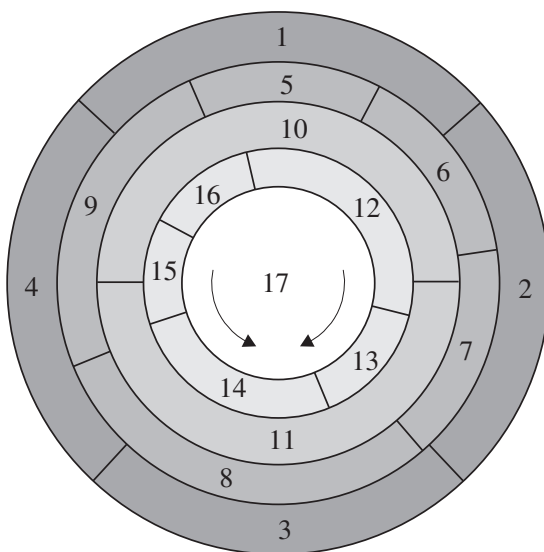
Rozlišovanie chémie každodenného života v užšom a širšom slova zmysle speje v konečnom dôsledku k otázke, ako možno tieto témy vo vyučovaní chémie čo najpriateľnejšie sprístupniť, resp. ktoré by sa mali rozšíriť alebo zredukovať. Tu sa rešpektuje požiadavka, že o redukcii týchto témy by mal rozhodnúť žiak, jeho záujmy, predstavy a schopnosti. To sú podstatné faktory, ktoré ovplyvňujú výber a prípravu témy chémie každodenného života, ale tiež ich aj ohriňujú.

Chémia každodenného života nie je úzky pojem, ktorý sa môže jednoducho prevziať do vyučovania chémie, ale na základe požiadaviek každodenného života je tu daný variabilný rámec pojmu, ktorý závisí od odborných, didaktických a spoločenských možností učiteľa. Je teda v rukách učiteľa, aby tento potenciál zužitkoval pri vyučovaní chémie. Oblasti, v ktorých sa využívajú každodenné skúsenosti s chémiou, ukazuje nasledujúca schéma (obr. 1) (cit.³).

Mnohé chemické produkty a deje každodenného života sú včlenené do vyučovania prírodovedných predmetov, niektoré sú dokonca aj nosnými témami prírodovedného vyučovania. Táto téma teda nie je nová, len v poslednom čase čoraz aktuálnejšia⁴.

Chémia každodenného života v zahraničí

Chémia zaznamenala prudký rozvoj v priebehu 19. a 20. storočia. Neustále sa získavalо množstvo nových chemických vedeckých poznatkov, ktoré sa postupne zaraďovali do vy-



Obr. 1. Didaktický potenciál chémie každodenného života; 1 – vzduch, 2 – voda, 3 – pôda, 4 – príroda, 5 – výroba, 6 – doprava, 7 – služby, 8 – stavebné zásahy/opatrenia, 9 – zabezpečenie energie, 10 – vzdelenanie – pracoviská – zamestnanie, 11 – volný čas – zotavenie – kultúra, 12 – telesná hygiena, 13 – obliekanie, 14 – domácnosť, 15 – výživa, 16 – zdravie, 17 – hygiena

učovania. Chémia sa tak stala predimenzovanou teoretickými a faktografickými poznatkami, čo znamenalo odklon od praxe a každodenného života.

Na medzinárodných konferenciach pre vyučovanie chémie, ktoré sa konali v posledných rokoch, na to poukazovali viaceré popredné osobnosti. Zhadli sa na potrebe zostavenia takých učebných plánov a osnov, ktoré by zohľadňovali prepojenie s každodenným životom a hospodárstvom, sprístupňovaním takých chemických poznatkov, ktoré pomôžu žiakom porozumieť svojmu okoliu, životnému prostrediu, telu a pod.

Systém vyučovania chémie v krajinách Európskej únie bol podrobnený dôkladnej analýze a vyústil do Dohody o jednotnom postupe kultúrneho a prírodovedného vzdelenia krajín Európskej únie⁵. V tomto dokumente sa uvádzá, že obsah vyučovania chémie musí byť spájaný s každodenným životom, s bezprostredným okolím žiaka a s hospodárstvom. V obsahu chemického vzdelenia musia byť dominantné tie úlohy, ktoré sa viažu k rôznym formám životného prostredia. Eko-logicími problémami sa chemické vzdelenie nesmie zoberať povrchne, ale musia byť vytvorené predpoklady pre vecný a motivačný výklad učiva. Z tohto pohľadu je potrebné spracovať témy ako sú Voda, Pôda, Vzduch, zdôrazniť problémové priemyselné chemické procesy, odpady a recyklizáciu. Vo vzťahu k forme výučby musí mať chemické vyučovanie charakter experimentálneho vyučovania. V priebehu experimentu by sa mali žiaci oboznamovať s kladmi aj záporami používania chemikálií, ako aj pochopiť nebezpečné vlastnosti jednotlivých látok, ako zneškodniť vedľajšie produkty reakcií a dbať na bezpečnosť práce. Žiacke experimenty by sa mali rozvíjať z hľadiska istoty a vecnosti a motivovať žiakov k samostatnej práci mimo školy. Túto didakticky a metodicky

tažkú úlohu je možné budovať iba cez ucelené sprístupnenie procesov prebiehajúcich v prírode a vo výrobe.

Chémia každodenného života v nemeckých školách

V Nemecku sa podporuje a propaguje životu blízke, na prax orientované vyučovanie chémie. Základnou požiadavkou, ktorá sa tu rešpektuje, je sprostredkovať základné chemické poznatky a intenzívnejšie sa venovať komplexným súvislostiam, pričom sa kladie dôraz na to, aby sa vychádzalo z priamej skúsenosti žiakov⁶. Do popredia vystupuje tiež požiadavka zdôrazňovať prítomnosť chemických látok v každodennom živote, poznáť vo svojom okolí potraviny, nápoje, nábytok, odevy, pracie a čistiacie prostriedky. Učebnice chémie obsahujú rozpracované témy týkajúce sa ochrany životného prostredia s jednoduchými pokusmi, ktoré monitorujú stav čistoty ovzdušia, vody a pôdy, ako aj čistenia odpadových vôd, využitia odpadu a recyklizácie.

Obsah učiva chémie vo vzťahu ku každodennému životu je na druhom stupni základnej školy (Hauptschule) spájaný s uvedomovaním si prítomnosti chémie v týchto oblastiach života človeka:

- bývanie (náterové farby, izolačné materiály, syntetické vlákna – záclony, koberce),
- obliekanie (syntetické vlákna),
- výživa (potraviny – vzťah produkcie potravín a použitia hnojív v poľnohospodárstve, chemická ochrana rastlín),
- rastúca mobilita (výroba áut, pneumatiky, benzín, protimrznúce zmesi). Vo vzťahu k životnému prostrediu sa upozorňuje na rizikové faktory životného prostredia, zdôrazňuje sa, že prílišné hnojenie má za následok presolenie pôdy a pokles jej úžitkovosti, že hlavným zdrojom znečistenia vzduchu sú spaľovacie motory, tepelné elektrárne a náhle zásahy človeka do prírody (vypaľovanie pralesov), že rôzne chemické látky zvyšujú počet alergií obyvateľstva a zapríčinujú nové civilizačné choroby.

Na strednej škole (Realschule) sú to nasledovné témy:

- horenie (zaobchádzanie s horľavinami, hasenie požiarov, nové zdroje energie),
- vzduch a kyslík (rozbor vzduchu, kyslík a jeho význam v prírode i v technike, znečisťovanie ovzdušia, ozónová diera, skleníkový efekt),
- iónová väzba (posypová soľ v doprave, soľ a ľudský organizmus),
- kyseliny a zásady (kyslé dažde, vymieranie lesov),
- sacharidy (výživa),
- umelé hmoty (problémy s odstraňovaním odpadu – recyklizácia)⁷.

V súvislosti s výučbou chémie ako prírodovedného predmetu vo vzťahu ku každodennému životu nedá sa nespomenúť projekt PING, ktorý predstavuje koncepciu prírodovedného vzdelenia na druhom stupni základných škôl. Názov tejto koncepcie je akronymom pozostávajúci zo 4 začiatočných písom slov „Praxis Integrierter Naturwissenschaftlicher Grundbildung“, čo v preklade znamená „Integrované prírodovedné vzdelenie v praxi“⁸.

Táto didaktická koncepcia obsahuje vyjadrenia k vzdelávacím princípom, obsahu, cieľom, organizačným formám

a učebným témam prírodovedného vzdelávania a taktiež k samotnému stvárneniu vyučovacieho procesu. Obsah vzdelávania je v koncepcii PING rozšírený o vzťah človeka k prírode a obsahuje zážitky, vedomosti a skúsenosti o prírode a jej rozličných podobách. Nutne tak v sebe zahŕňa aj vedu a techniku, ich metódy, spoločné princípy a spoločný program s ich pojmovou diferenciáciou pre rôzne bežné a odborné problémy a cez nich vytvárané predstavy o svete. Obsah vzdelávania možno vo vzťahu k vekovej úrovni žiakov zahrnúť do troch stupňov podľa úrovne osvojenia si poznatkov:

1. stupeň: vek 10–12 rokov (5. a 6. ročník základnej školy):
Žijem s prírodou, získavam z nej skúsenosti a učím sa ju opísat
2. stupeň: vek 13–14 rokov (7. a 8. ročník základnej školy):
Stretávame sa s prírodou, sami ju pretvárame a učíme sa to interpretovať
3. stupeň: vek 15 – 16 rokov (9. a 10. ročník základnej školy):
Príroda sa vyvíja a človek objasňuje jej zákony a podieľa sa na jej vytváraní

Túto následnosť je potrebné dodržiavať pri rozvoji poznatkov detí a mládeže, príčom v nižších ročníkoch sa pripravuje základ pre ďalšie získavanie vedomostí a naopak, vo vyšších ročníkoch sa vychádza z už získaných vedomostí. Základnou požiadavkou je nájsť nosnú tému a na jej základe vytvoriť súbor tém pre jednotlivé vyučovacie celky a pre jednotlivé vyučovacie jednotky. Nosnou tému koncepcie PING je téma: „Ako môžeme my, ľudia, spolu budovať náš vzťah k prírode v súlade s ľudskými právami a v súlade s prírodnými zákonmi“.

Chémia každodenného života v rakúskych školách

Na rakúskych školách je k dispozícii okrem základných chemických učební množstvo ďalších alternatívnych učebných textov. Medzi učiteľmi a študentmi je najobľúbenejšia alternatívna učebnica chémie „Chemie heute“⁹, ktorá odráža vzťah chémie a každodenného života v témach, ako sú Voda, Vzduch, Pôda, Svet látok, Kyseliny a zásady v každodennom živote, Od surovín k produktom, Odpadové látky.

Veľká pozornosť sa venuje rozvíjaniu experimentov chémie každodenného života, ktoré rešpektujú požiadavku ochrany životného prostredia. Jednoduché pokusy rozpracované hlavne Mgr. Viktorom Obendraufom z Pedagogickej Akademie v Grazi sú uskutočňované prostredníctvom špeciálnych laboratórnych pomôcok založených na báze injekčných striekačiek a svojou nápaditosťou, ekonomickou prístupnosťou, hygienickou a bezpečnostnou primeranosťou sú vhodné pre žiakov základných a stredných škôl. Učitelia chémie slovenských základných a stredných škôl mali možnosť vidieť a odskúšať si tieto pokusy v rámci programu Letnej školy chémie, ako aj v rámci workshopov projektu Tempus. Na týchto pokusoch uskutočňovaných v jednoduchom vyvíjači plynov oceňovali predovšetkým to, ako dokonale riešia dnešné problémy slovenských škôl:

- pokusy vyžadujú minimálne množstvo chemikálii (finančné hľadisko),
- vytvorením uzavretých systémov v striekačkách nevyžadujú použitie digestorov (hygienické, finančné a bezpečnostné hľadisko),

- sú časovo nenáročné, čo umožňuje ich využitie v ktorejkoľvek fáze vyučovacej hodiny.

Chémia každodenného života v britských školách

Britský vzdelávací systém na základných školách vychádza z prvkov každodenného života. V úvodných hodinách riešia žiaci problémové úlohy začlenenia človeka do spoločnosti, ktoré súvisia s jeho životným okolím (dom, ulica, záhrada, ihrisko, rieka)¹⁰, napr. sledujú rieku a jej okolie, skladky odpadu apod., analyzujú spoločné a rozdielne vlastnosti rôznych foriem materiálov (vzduch, voda, kamene, kuchynské nádoby). Získané poznatky a údaje systematicky triedia do tabuľiek, grafov a diagramov, ktoré potom prezentujú ostatným spolužiakom formou triednej diskusie. Táto forma práce je charakteristická pre britský školský systém, ktorý vychádza z predpokladu, že žiaci sú prirodzení vedeči, rodení výskumníci s prirodzenou kreativitou¹¹. Ďalšou charakteristickou črtou pre výučbu chémie v britských školách sú praktické cvičenia v prírode, ktoré sa uskutočňujú skupinovou alebo individuálne formou. Skupiny navzájom konzultujú problémy a spolupracujú. Rozhodujúcim kladným prvkom práce v skupinách je podpora nezávislého myšlenia a konzultovanie myšlienok v téme. Úlohou učiteľa je nechať žiakov formulovať a vyjadriť názor, dohodnúť sa so žiakmi na termínoch konzultácií na preriešenie problému, na forme a obsahu výsledného protokolu¹².

Čo sa týka obsahu tému vychádzajúcich z každodenného života, dôraz sa kladie na vzťah pojmov život–chemikálie–chémia. Témy obsahujú nasledovné okruhy: zloženie potravín (dusičnan, soľ, farbívá), diéta (stravovacie návyky, hygiena), vplyv kyselín a zásad na rast rastlín, použitie pesticídov, fluorizácia vody, recyklizácia prvkov a odpadových látok, vzduch, kyslík a dýchanie, CO₂ a fotosyntéza, fajčenie a jeho vplyv na zdravie, antibiotiká a liečivá, farbívá a látky získané z rastlín, biotechnológie a bioplyn – zdroje energie, biotechnológie, inžinierstvo a DNA.

Chémia každodenného života v slovenských školách

Napriek tomu, že chémia zohráva a bude nadalej zohrávať v každodennom živote človeka čoraz väčšiu úlohu, pre väčšinu žiakov základných a stredných škôl na Slovensku patrí medzi neobľúbené vyučovacie predmety. Potvrdzujú to viaceré výskumy realizované u nás v poslednom období: na Katedre didaktiky prírodných vied, psychológie a pedagogiky na Prírodovedeckej fakulte Univerzity Komenského v Bratislave¹³, v Metodickom centre v Prešove¹⁴, ako aj na Katedre chémie v Banskej Bystrici¹⁵.

Obsah a rozsah učiva chémie pre určitý typ školy a každý ročník určujú v Slovenskej republike učebné osnovy schválené Ministerstvom školstva Slovenskej republiky, v ktorých učivo je prezentované predovšetkým vymenovaním poznatkov, ktoré treba sprístupniť žiakom. Pri výbere obsahu a jeho štruktúrovaní bolo uplatnené hľadisko logickej výstavby diagnostického systému chémie s funkčným zaradením informácií a cinností zameraných na uplatnenie chémie v každodennom živote¹⁶. Ciele spomínaných učebných osnov pomáhajú reali-

zovať aj učebné osnovy environmentálnej výchovy pre základné a stredné školy (tzv. Environmentálne minimum) schválené Ministerstvom školstva Slovenskej republiky, na základe ktorých cieľom environmentálnej výchovy žiakov základných a stredných škôl je formovať a rozvíjať také kvality, ktoré ich uschopnia chrániť a zlepšovať životné prostredie¹⁷.

S uvedenými učebnými osnovami ale nekorešpondujú v plnej miere platné učebnice chémie pre základné a stredné školy, nakoľko nedostatočne zohľadňujú aspekty chémie každodenného života v porovnaní s teoretickými poznatkami. Jedinou tohto druhu je alternatívna učebnica Chémia pre základné školy, ktorá je nemeckým prekladom. Učivo chémie v tejto učebnici je spájané s vecami a predmetmi každodenného života a tiež splňa kritéria environmentálneho vzdelávania. Obsahuje mnoho obrázkov, prehľadných tabuliek, grafov a úloh, ktoré napomáhajú žiakom lepšie pochopiť veci a javy okolo nás, a to na základe ich chemickej podstaty. V súčasnosti je situácia na Slovensku taká, že učiteľom základných a stredných škôl chýbajú ucelené materiály, ktoré by sa zaoberali problematikou chémie každodenného života. Materiály k tejto problematike získavajú iba parciálne, preto treba pristúpiť k vypracovaniu ucelených materiálov, ktoré by obsahovali rozširujúce a prehľbujúce učivo vo forme textu, otázok a úloh a návrhu chemických experimentov z chémie každodenného života a ktoré by učitelia chémie mohli využívať pri riadení poznávacích činností žiakov, pri opakovaní a prehľbení učiva a pri hodnotení úrovne myšlenia žiakov¹⁸.

Je naozaj potrebné, aby žiaci prekonali predstavu, že chémia je zodpovedná za znečisťovanie životného prostredia, za alergie a civilizačné choroby. Musia si uvedomiť, že chemické reakcie a ich produkty nás sprevádzajú denne našim životom, že chémia je vlastne dýchanie, trávenie, ale aj umývanie rúk a varenie. Preto je nutné oboznámiť žiakov s kladmi a prípadnými negatívmi chemických dejov, s ich princípm, ale aj s mierou nebezpečnosti produktov. V tomto svetle je možné predkladať chemické poznatky ako zaujímavé problémy a fakty, ktoré sú neoddeliteľne späté so životom každého človeka a mnohokrát sú pre neho nevyhnutne potrebné. Vyučovanie chémie má pripomínať, že chémia je všade okolo nás, je zaujímavá, môžeme ju spoznať a vysvetliť nám tak veľa z diania našeho života.

LITERATÚRA

- Maslow A. H.: *Motivation and Personality*. Harper & Row, New York 1954.
- Zelina M.: *Stratégie a metódy rozvoja osobnosti dieťaťa*. IRIS, Bratislava 1996.
- Pfeifer P., Häusler K., Lutz B.: *Konkrete Fachdidaktik Chemie*. Oldenburg Verlag, München 1992.
- Lindemann H., Brinkmann U.: *Naturwissenschaften im Unterricht* – C 24, 29 (1994).
- Naji M.: *Chem. Schule* 2, 25 (1993).
- Lutz B., Pfeifer P.: *MNU* 42, 281 (1989).
- Ennwurf Lehrplan Chemie an der Realschule in Nordhein*. AOK-Verlag, Westfalen 1992.
- Kirsch N.: *Was ist PING?* IPN, Kiel 1996.
- Becker R.: *Chemie heute*. Salzburger Jugend-Verlag, Salzburg 1993.
- Lines C. J., Bolwell L. H.: *Teaching Environmental Studies in the Primary and Middle School*. Ginn and Co., London 1987.
- Tschirgi J. E.: *Sensible Reasoning: A Hypothesis about Hypotheses*. Child Development, London 1980.
- Elstgeest J.: *Environmental Science in the Primary School*. Chapman Publ., London 1990.
- Silný P.: *Biol. Ekol. Chem.* 1, 2 (1996).
- Lavický T.: *Didaktické testy zo všeobecnej chémie pre stredné školy*. Metodické centrum, Prešov 1997.
- Melicherčík M., Ružička I., Tomeček O., Daxnerová O., Gajdošová M., Lichvárová M.: *Zborník príspevkov z riešenia integrovanéj grantovej úlohy: Súčasné problémy vyučovania chémie na ZŠ*, str. 34. Trian, Banská Bystrica 1997.
- Turek I.: *Zvyšovanie efektívnosti vyučovania*. Metodické centrum, Bratislava 1997.
- Učebné osnovy environmentálnej výchovy pre základné a stredné školy*. Ministerstvo školstva Slovenskej republiky, Bratislava 1996.
- Ganajová M., Gibalová I., Müllerová V.: *Chemia* 14, 24 (2000).

M. Ganajová and I. Dunčková (*Department of Methodology of Chemistry Teaching, Faculty of Science, P. J. Šafárik University, Košice, Slovak Republic*): **Chemistry of Everyday Life**

In many countries, main stress in teaching chemistry is put at present on the relation between chemistry and everyday life. From that point of view, the chemistry syllabus has to be closely related to everyday life and environment. Slovak chemistry teachers at elementary and secondary schools have access only to few comprehensive materials on these topics in comparison with some foreign countries. We assume that educational texts, experiments and electronic media dealing with chemistry of everyday life can contribute to higher effectiveness of chemistry education, better motivation of chemistry learning, a change in the relation teacher – student, and change in methods and forms of chemistry education.